

**สำนักหอสมุดกลาง พระจอมเกล้าลาดกระบัง**

**การศึกษาการเตรียมฟิล์มบาง CdS: F โดยวิธีออบสารละลายเคมีบน  
ชั้นตัวนำโปร่งแสง SnO<sub>2</sub>: F ที่เคลือบบนกระจกสไลด์**



นาย กิตติศักดิ์ ทวีกิจโกศล  
นาย ขวฉัตร น้อยสมมิตร  
นาย ศิทธิศักดิ์ ชัยโสทธิ

รฟ.  
๗๖๗๗  
๒๕๔๙

เลขหมู่.....  
เลขทะเบียน..... 76634  
วัน,เดือน,ปี..... -3 S.A. 2550

b. 118 50 ๕๘๑  
i.....

**โครงการพิเศษนี้เป็นส่วนหนึ่งของการศึกษาตามหลักสูตรวิทยาศาสตรบัณฑิต  
ภาควิชาฟิสิกส์ประยุกต์  
คณะวิทยาศาสตร์  
สถาบันเทคโนโลยีพระจอมเกล้าเจ้าคุณทหารลาดกระบัง  
ปีการศึกษา 2549**

เอกสารนี้เป็นเอกสารที่สงวนไว้สำหรับการใช้งานเพื่อการศึกษาเท่านั้น ไม่อนุญาตให้นำไปใช้ประโยชน์ด้านการค้า  
ไม่ว่ากรณีใดๆ ทั้งสิ้น อีกทั้งห้ามมิให้ดัดแปลงเนื้อหา และต้องอ้างอิงถึงเจ้าของเอกสารทุกครั้งที่มีการนำไปใช้

**Chemical Bath Deposition of CdS: F Thin Films on the  
Transparent Conducting SnO<sub>2</sub>: F Coated Slide Glass**



**A Special Project Submitted in Partial Fulfillment of the Requirement for the Degree of**

**Bachelor of Science**

**Department of Applied Physics**

**Faculty of Science**

**King Mongkut's Institute of Technology Ladkrabang**

**Academic Year 2006**

เอกสารนี้เป็นเอกสารที่สงวนไว้สำหรับการใช้งานเพื่อการศึกษาเท่านั้น ไม่อนุญาตให้นำไปใช้ประโยชน์ด้านการค้า  
ไม่ว่ากรณีใดๆ ทั้งสิ้น อีกทั้งห้ามมิให้ดัดแปลงเนื้อหา และต้องอ้างอิงถึงเจ้าของเอกสารทุกครั้งที่มีการนำไปใช้

โครงการพิเศษเรื่อง

การศึกษาการเตรียมฟิล์มบาง CdS : F โดยวิธีออบสารละลายเคมีบน  
ชั้นตัวนำโปร่งแสง SnO<sub>2</sub> : F ที่เคลือบบนกระจกสไลด์

นักศึกษา

นายกิตติศักดิ์ ทวีกิจโกโคย  
นายชวลิต น้อยสมมิตร  
นายสิทธิศักดิ์ ชัยโสคติ

ภาควิชา

ฟิสิกส์ประยุกต์

สาขาวิชา

ฟิสิกส์ประยุกต์

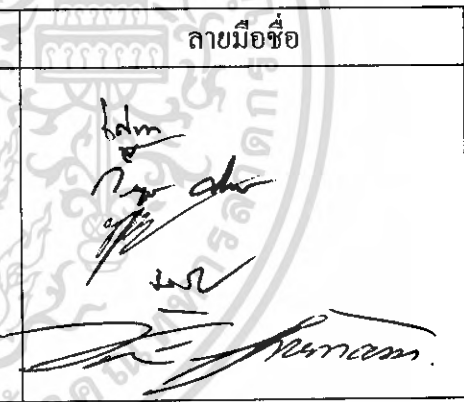
อาจารย์ที่ปรึกษา


รศ.งามนิตย์ วงษ์เจริญ

อาจารย์ที่ปรึกษาร่วม

ผศ.ดร.ชัยสิงห์ ภูริกษ์เกียรติ

ภาควิชาฟิสิกส์ประยุกต์ คณะวิทยาศาสตร์ สถาบันเทคโนโลยีพระจอมเกล้าเจ้าคุณทหารลาดกระบัง  
อนุมัติให้โครงการพิเศษฉบับนี้เป็นส่วนหนึ่งของการศึกษาตามหลักสูตรวิทยาศาสตรบัณฑิต

คณะกรรมการตรวจสอบ		ลายมือชื่อ
ประธานกรรมการ	รศ.ดร. จูตินัย แก้วแดง	
กรรมการ	อ. กิรชุตน์ ศรีนวลจันทร์	
กรรมการ	อ. ณัฐพร พรหมรส	
กรรมการที่ปรึกษา	รศ. งามนิตย์ วงษ์เจริญ	
กรรมการที่ปรึกษาร่วม	ผศ.ดร. ชัยสิงห์ ภูริกษ์เกียรติ	

  
.....  
(รองศาสตราจารย์ วิชาญ เตชิตธีระ)  
หัวหน้าภาควิชาฟิสิกส์ประยุกต์

ลิขสิทธิ์ของภาควิชาฟิสิกส์ประยุกต์ คณะวิทยาศาสตร์  
สถาบันเทคโนโลยีพระจอมเกล้าเจ้าคุณทหารลาดกระบัง

เอกสารนี้เป็นเอกสารที่สงวนไว้สำหรับการใช้งานเพื่อการศึกษาเท่านั้น ไม่อนุญาตให้นำไปใช้ประโยชน์ด้านการค้า  
ไม่ว่ากรณีใดๆ ทั้งสิ้น อีกทั้งห้ามมิให้ตัดแปลงเนื้อหา และต้องอ้างอิงถึงเจ้าของเอกสารทุกครั้งที่มีการนำไปใช้

โครงการพิเศษเรื่อง	การเตรียมฟิล์มบาง CdS : F โดยวิธีอบสารละลายเคมีบนชั้นตัวนำโปร่งแสง SnO <sub>2</sub> : F ที่เคลือบบนกระจกสไลด์
นักศึกษา	นายกิตติศักดิ์ ทวีกิจโกไทย นายชวลิต น้อยสมมิตร นายสิทธิศักดิ์ ชัยโสคติ
ภาควิชา	ฟิสิกส์ประยุกต์ คณะวิทยาศาสตร์
สาขาวิชา	ฟิสิกส์ประยุกต์
ปีการศึกษา	2549
อาจารย์ที่ปรึกษา	รศ.งามนิตย์ วงษ์เจริญ
อาจารย์ที่ปรึกษาร่วม	ผศ.ดร.ชัยสิทธิ์ ภูริรักษ์เกียรติ

#### บทคัดย่อ

โครงการพิเศษนี้เป็นการเตรียมและศึกษาคุณสมบัติของฟิล์มบาง CdS ที่เจือด้วยธาตุฟลูออรีนด้วยวิธีการอบสารละลายเคมี โดยเคลือบบนชั้นตัวนำโปร่งแสง SnO<sub>2</sub> : F ที่เคลือบบนกระจกสไลด์ ซึ่งสารตั้งต้นที่ใช้คือ CdSO<sub>4</sub>, SC(NH<sub>2</sub>)<sub>2</sub>, NH<sub>4</sub>F และ NH<sub>3</sub> โดยเตรียมที่อุณหภูมิ 80 °C ใช้เวลาประมาณ 60 นาทีจากนั้นนำไปแอนนัลที่อุณหภูมิ 100-500 °C ภายใต้บรรยากาศของก๊าซไนโตรเจนบริสุทธิ์ที่ความดันประมาณ 1 บรรยากาศ เป็นเวลา 20 นาที ทำการตรวจสอบโครงสร้างผลึกของฟิล์มบาง CdS และผิวหน้าของฟิล์มบาง โดยวิธีเลี้ยวเบนรังสีเอ็กซ์และกล้องจุลทรรศน์แบบส่องกราด ค่าช่องว่างแถบพลังงานของฟิล์มบาง CdS หาได้จากสเปกตรัมการส่งผ่านแสง ส่วนขนาดของเกรนจะโตขึ้นและมีการจัดเรียงตัวอย่างเป็นระเบียบมากขึ้นเมื่ออุณหภูมิแอนนัลเพิ่มมากขึ้น ขนาดของช่องว่างแถบพลังงานและความต้านทานของฟิล์มบาง CdS : F จะมีค่าเปลี่ยนแปลงตามอุณหภูมิแอนนัล

**Special Project Title** Chemical Bath Deposition of CdS : F Thin Films on the  
Transparent Conducting SnO<sub>2</sub> : F Coated Slide Glass

**Name** Kitisak Tawcekijpokai  
Chawalit Noysommit  
Sittisak Chaisothee

**Department** Applied Physics Faculty of Science

**Program** Applied Physics

**Academic Year** 2006

**Special Project Advisor** Assoc.Prof. Ngamnit Wongcharoen

**Special Project Co-Advisor** Assist.Prof. Dr. Chaisingh Poo-Rakkiat

#### Abstract

In this special project, CdS:F thin films were deposited on the transparent conducting SnO<sub>2</sub>:F coated slide glass substrate by the chemical bath deposition technique at 80<sup>0</sup>C for 60 min. The solution in reaction bath consisted of CdSO<sub>4</sub>, SC(NH<sub>2</sub>)<sub>2</sub>, NH<sub>4</sub>F and NH<sub>3</sub> in deionized water was employed. The as-deposited films were annealed in N<sub>2</sub> atmosphere at the temperature ranging from 100-500<sup>0</sup>C for 20 min. Crystal structure and crystal morphology of the films were checked by XRD and SEM techniques. Energy gap values of the films were determined from the optical transmission spectra. The SEM micrographs show that the grain size increases when the annealing temperature increases. The variation of energy gap and sheet resistance of pure and doped thin films as a function of annealing temperature were also investigated.

## กิตติกรรมประกาศ

วิทยานิพนธ์นี้สามารถสำเร็จไปได้ด้วยความกรุณาของ รองศาสตราจารย์ งามนิษฐ์ วงษ์เจริญ รองศาสตราจารย์ ดร.ฐิตินัย แก้วแดง รองศาสตราจารย์ ดร.ทิพรรัตน์ วงษ์เจริญ ผู้ช่วยศาสตราจารย์ ดร.ชัยสิงห์ ภูร์กษ์เกียรติ และ อาจารย์ ฉัฐพร พรหมรส ที่อำนวยความสะดวกในการใช้เครื่องมือและ อุปกรณ์ในการทดลองตลอดจนอุปการะทุนสนับสนุนและการให้คำปรึกษาทางวิชาการที่ดีตลอดมารวม ไปถึงการปลูกฝังสิ่งที่ดีงามให้กับลูกศิษย์ทุกคน

ขอขอบคุณ ศูนย์บริการเครื่องมือวิทยาศาสตร์ และเจ้าหน้าที่ศูนย์เครื่องมือวิทยาศาสตร์ คณะวิทยาศาสตร์ ที่กรุณาให้ความอนุเคราะห์และการแนะนำในการใช้เครื่อง ยูวี-วิสทิเบิล แบบดับเบิลบีม สเปกโตรโฟโตมิเตอร์ ยี่ห้อ Thermo electron corporation รุ่น HeLios  $\alpha$  ที่ใช้ในการศึกษาคุณสมบัติเชิงแสงโดยการวัดการส่งผ่านแสงของฟิล์มบางในช่วงความยาวคลื่นอัลตราไวโอเลตไปจนถึงย่านอินฟราเรด (ความยาวคลื่น 190 – 1100 nm)

ขอขอบคุณ รองศาสตราจารย์ อนุพงศ์ สรงประภา ภาควิชาฟิสิกส์ประยุกต์ คณะวิทยาศาสตร์ สถาบันเทคโนโลยีพระจอมเกล้าเจ้าคุณทหารลาดกระบัง ที่ให้ความอนุเคราะห์ให้ใช้เครื่องยูวี-วิสทิเบิล แบบดับเบิลบีม ยี่ห้อ จัสโก้ 7600 สเปกโตรมิเตอร์ ที่มีค่าความยาวคลื่นย่านอัลตราไวโอเลตและย่านตามองเห็นในการวัดการส่งผ่านแสงของฟิล์มบาง

ขอขอบคุณ รศ.ดร.วิสุทธิ ฐิติรุ่งเรือง หัวหน้าศูนย์วิจัยอิเล็กทรอนิกส์ คณะวิศวกรรมศาสตร์ และ คุณเจริญชัย เหลืองอ่อน ผู้ช่วยวิจัยสังกัดศูนย์เทคโนโลยีโลหะและวัสดุแห่งชาติ คณะวิทยาศาสตร์ สถาบันเทคโนโลยีพระจอมเกล้าเจ้าคุณทหารลาดกระบัง ที่ให้ความอนุเคราะห์นำปอลิเมอร์มาใช้ในการทดลองของโครงงานพิเศษ

ขอขอบคุณ ศูนย์เครื่องมือวิทยาศาสตร์และเจ้าหน้าที่ศูนย์เครื่องมือวิทยาศาสตร์ คณะวิทยาศาสตร์ สถาบันเทคโนโลยีพระจอมเกล้าเจ้าคุณทหารลาดกระบัง ที่ให้ความอนุเคราะห์คำแนะนำในการใช้เครื่องเอ็กซ์เรย์ดิฟแฟรคโตมิเตอร์ ยี่ห้อ Bruker รุ่น D8 Advance ซึ่งรังสีเอกซ์มีความยาวคลื่น 1.5406 Å ในการศึกษาลักษณะ โครงสร้างผลึกเชิงจุลภาคและใช้กล้องจุลทรรศน์อิเล็กตรอนแบบส่องกราด ยี่ห้อ JEOL รุ่น JSM - 6400 ในการศึกษาโครงสร้างผลึกเชิงมหภาคของฟิล์มบาง

ขอขอบคุณ รองศาสตราจารย์ วิชาญ เดชิตธีระ หัวหน้าภาควิชาฟิสิกส์ประยุกต์ คณะวิทยาศาสตร์ สถาบันเทคโนโลยีพระจอมเกล้าเจ้าคุณทหารลาดกระบัง ที่ให้ความอนุเคราะห์จัดสรรงบประมาณของภาควิชา เพื่อใช้ในการงานวิจัย

เอกสารนี้เป็นเอกสารที่สงวนไว้สำหรับการใช้งานเพื่อการศึกษาเท่านั้น ไม่อนุญาตให้นำไปใช้ประโยชน์ด้านการค้า ไม่ว่าจะกรณีใดๆ ทั้งสิ้น อีกทั้งห้ามมิให้ตัดแปลงเนื้อหา และต้องอ้างอิงถึงเจ้าของเอกสารทุกครั้งที่มีการนำไปใช้

ขอขอบคุณ คุณ ปกรณ์ สิทธิเชครกรณ์ คุณ ฐิติกร จรรยาธรรม คุณ อดุลย์ หาญวังม่วง คุณ ประธาน ประจวบโชค และ นาย พิระพร สิริพุทธ ไรวรรณ นักศึกษาปริญญาโท ภาควิชาฟิสิกส์ประยุกต์ คณะวิทยาศาสตร์ สถาบันเทคโนโลยีพระจอมเกล้าเจ้าคุณทหารลาดกระบังที่ให้ความช่วยเหลือในการทำโครงการและซ่อมอุปกรณ์การอบสารละลายเคมี, แนะนำการใช้อุปกรณ์ต่างๆและคำแนะนำในการใช้โปรแกรมเพื่อวิเคราะห์ข้อมูลผลการทดลอง

สุดท้ายนี้ขอกราบขอบพระคุณอาจารย์ทุกท่านที่เมตตาประสาทวิชาตั้งแต่การศึกษาภาคบังคับถึงปัจจุบัน ตลอดจนขอกราบขอบพระคุณ คุณพ่อ คุณแม่ ที่ให้ความอุปการะทุนในการศึกษาเล่าเรียนและเป็นกำลังใจด้วยดีตลอดมา



นายกิตติศักดิ์ ทวีกิจ โภไทย  
นายชวลิต น้อยสมมิตร  
นายสิทธิศักดิ์ ชัยโสคติ

เอกสารนี้เป็นเอกสารที่สงวนไว้สำหรับการใช้งานเพื่อการศึกษาเท่านั้น ไม่อนุญาตให้นำไปใช้ประโยชน์ด้านการค้า  
ไม่ว่ากรณีใดๆ ทั้งสิ้น อีกทั้งห้ามมิให้ดัดแปลงเนื้อหา และต้องอ้างอิงถึงเจ้าของเอกสารทุกครั้งที่มีการนำไปใช้

## สารบัญ

	หน้า
บทคัดย่อภาษาไทย	ก
บทคัดย่อภาษาอังกฤษ	ข
กิตติกรรมประกาศ	ค
สารบัญ	จ
สารบัญตาราง	ฉ
สารบัญรูป	ญ
บทที่ 1 บทนำ	1
1.1 ความเป็นมาของ โครงการพิเศษ	1
1.2 วัตถุประสงค์	2
1.3 ขอบเขตของการวิจัย	3
1.4 ขั้นตอนของการดำเนินงาน	3
1.5 ประโยชน์ที่คาดว่าจะได้รับ	3
บทที่ 2 ทฤษฎีและหลักการที่เกี่ยวข้อง	5
2.1 ทฤษฎีและการวิเคราะห์โครงสร้างของผลึก	5
2.1.1 ชนิดการจัดเรียงตัวของอะตอมที่อยู่ภายใน โครงผลึกแบบ 3 มิติ	5
2.1.1.1 โครงสร้างผลึกแบบซิงค์เบลนด์	5
2.1.1.2 โครงสร้างผลึกแบบเวิร์ทไซด์	6
2.1.2 หลักเกณฑ์ในการระบุถึงพารามิเตอร์ต่างๆที่เกี่ยวข้องกับลักษณะของ โครงสร้างผลึก	7
2.1.2.1 การระบุตำแหน่ง	7
2.1.2.2 การระบุทิศทาง	7
2.1.2.3 การระบุระนาบ	8
2.1.3 ความไม่สมบูรณ์ของผลึก	9
2.1.3.1 ขอบกพร่องผลึกแบบจุด	9
2.1.3.2 ขอบกพร่องผลึกเชิงเส้น	10
2.1.3.3 ขอบกพร่องผลึกเชิงระนาบ	11

## สารบัญ(ต่อ)

	หน้า
2.1.4 การศึกษาโครงสร้างผลึกเชิงจุลภาคด้วยการเลี้ยวเบนรังสีเอ็กซ์	11
2.1.5 การวิเคราะห์โครงสร้างผลึก	12
2.1.5.1 โครงสร้างผลึกแบบซิงค์เบลนด์	12
2.1.5.2 โครงสร้างผลึกแบบเวิร์ทไซด์	13
2.2 สมบัติการดูดกลืนแสงของสารกึ่งตัวนำ	13
2.2.1 ทฤษฎีโครงสร้างแถบพลังงาน	13
2.2.1.1 โครงสร้างแถบพลังงานของ โลหะสารกึ่งตัวนำและฉนวน	14
2.2.1.2 ลักษณะ โครงสร้างแถบพลังงานของสารกึ่งตัวนำ	15
2.2.2 โครงสร้างแถบพลังงานของแคดเมียมซัลไฟด์	16
2.3 การส่งผ่านแสง	18
2.3.1 การหาค่าช่องว่างแถบพลังงานจากสเปกตรัมการส่งผ่านของแสง	19
2.4 สมบัติทางไฟฟ้า	21
2.4.1 สภาพนำไฟฟ้า	21
2.4.2 การวัดสภาพต้านทานไฟฟ้า	23
2.4.2.1 การวัดสภาพต้านทาน ไฟฟ้าจำเพาะ โดยวิธีสองขั้วเชิงเส้น	23
2.5 การเตรียมและศึกษาคุณสมบัติของฟิล์มบาง Cds ด้วยวิธีการอบสารละลายเคมี	26
2.5.1 กระบวนการเกิดปฏิกิริยา	26
2.5.2 การเกิดฟิล์มบาง Cds บนฐานรองรับ	28
2.6 การเตรียมฟิล์มบางคีนอกออกไซด์ด้วยวิธีการพ่นละอองสารเคมีที่ เกิดจากการสั่นด้วยคลื่นอัลตราโซนิค	29
2.6.1 กระบวนการการเกิดปฏิกิริยาเคมีภายในสารละลาย	29
2.6.2 กระบวนการการเกิดฟิล์มบาง	30
<b>บทที่ 3 วิธีดำเนินงานวิจัย</b>	<b>33</b>
3.1 วิธีการทดลองและเครื่องมือการวิจัย	33
3.1.1 อุปกรณ์ที่ใช้ในการเตรียมฟิล์มบาง	33
3.1.2 อุปกรณ์ที่ใช้ในการเตรียมฟิล์มบาง Cds : F โดยวิธีการอบสารละลายเคมี	33

เอกสารนี้เป็นเอกสารที่สงวนไว้สำหรับการใช้งานเพื่อการศึกษาเท่านั้น ไม่อนุญาตให้นำไปใช้ประโยชน์ด้านการค้า  
ไม่ว่ากรณีใดๆ ทั้งสิ้น อีกทั้งห้ามมิให้ดัดแปลงเนื้อหา และต้องอ้างอิงถึงเจ้าของเอกสารทุกครั้งที่มีการนำไปใช้

## สารบัญ(ต่อ)

	หน้า
3.1.3 อุปกรณ์ที่ใช้ในการศึกษาสมบัติทางด้านฟิสิกส์ ของฟิล์มบาง ที่เตรียมได้	34
3.1.3.1 อุปกรณ์ที่ใช้ในการตรวจสอบโครงสร้างของฟิล์มบาง โดยการเลี้ยวเบนของรังสีเอ็กซ์	34
3.1.3.2 อุปกรณ์ที่ใช้ในการวัดการส่งผ่านทางแสง โดยใช้ เครื่องสเปกโตรโฟโตมิเตอร์	35
3.1.3.3 อุปกรณ์ที่ใช้ในการตรวจสอบโครงสร้างผลึกเชิงมหภาค ของฟิล์มบาง โดยกล้องจุลทรรศน์อิเล็กตรอนแบบส่องกราด	35
3.1.3.4 อุปกรณ์ที่ใช้ในการวัดค่าความต้านทานแผ่น	36
3.2 ขั้นตอนการเตรียมฟิล์มบาง CdS ที่เจือด้วยอะตอมของธาตุ F	37
3.2.1 การเตรียมฐานรองรับ	37
3.2.2 การเตรียมฟิล์มบางคิบุคอกไซด์ที่เจือด้วยฟลูออรีน โดย การพ่นละอองสารเคมีที่เกิดจากการสั่นด้วยคลื่นอัลตราโซนิค	38
3.2.3 การเตรียมฟิล์มบาง CdS โดยวิธีการอาบสารละลายเคมี	38
3.2.4 วิธีการแอนนีส	40
บทที่ 4 ผลการทดลองและวิเคราะห์ผล	42
4.1 ฟิล์มบาง SnO <sub>2</sub> : F ที่เตรียมได้โดยวิธีการพ่นละอองสารเคมี ที่เกิดจากการสั่นด้วยคลื่นอัลตราโซนิค	42
4.2 ลักษณะของฟิล์มบาง CdS: F ที่เตรียมได้โดยวิธีการอาบสารละลายเคมี	43
4.2.1 ฟิล์มบาง CdS ที่มีการเจือด้วยอะตอมของธาตุฟลูออรีนที่เตรียมได้ ด้วยวิธีการอาบสารละลายเคมี	43
4.2.2 ฟิล์มบาง CdS:F เมื่อแอนนีสที่อุณหภูมิต่างๆ	44
4.3 ผลการศึกษาโครงสร้างผลึกเชิงจุลภาคของฟิล์มบาง	44
4.4 ผลการศึกษาลักษณะผิวหน้าของฟิล์มบาง และขนาดของเกรนด้วยกล้อง จุลทรรศน์อิเล็กตรอนแบบส่องกราด	47
4.5 ผลการศึกษาสมบัติทางแสงของฟิล์มบาง	48

เอกสารนี้เป็นเอกสารที่สงวนไว้สำหรับการใช้งานเพื่อการศึกษาเท่านั้น ไม่อนุญาตให้นำไปใช้ประโยชน์ด้านการค้า  
ไม่ว่ากรณีใดๆ ทั้งสิ้น อีกทั้งห้ามมิให้ดัดแปลงเนื้อหา และต้องอ้างอิงถึงเจ้าของเอกสารทุกครั้งที่มีการนำไปใช้

## สารบัญ(ต่อ)

	หน้า
4.6 ผลการศึกษาค่าความต้านทานไฟฟ้าของฟิล์มบาง	54
บทที่ 5 สรุปผลการทดลองและข้อเสนอแนะ	58
5.1 สรุปผลการทดลอง	58
5.2 ปัญหาและข้อเสนอแนะ	60
เอกสารอ้างอิง	61
ภาคผนวก	64
ภาคผนวก ก	65
ภาคผนวก ข	71
ประวัติผู้เขียน	75



## สารบัญตาราง

	หน้า
ตารางที่ 4.1 แสดงค่าช่องว่างแถบพลังงาน ( $E_g$ ) ของฟิล์มบาง CdS:F ที่เตรียมโดยวิธีการอาบสารละลายเคมีเมื่อไม่มีการแอนนีกัลและเมื่อมีการแอนนีกัลที่อุณหภูมิ 100-500°C ภายใต้บรรยากาศของก๊าซไนโตรเจนบริสุทธิ์ เป็นเวลา 20 นาที	53
ตารางที่ 4.2 แสดงค่าความต้านทานแผ่นในกรณีที่ไม่มีกระแสแสงและมีการฉายแสงฟิล์มบาง CdS:F บนกระจกสไลด์ที่เตรียมได้โดยวิธีการอาบสารละลายเคมี เมื่อไม่มีการแอนนีกัลและมีการแอนนีกัลที่อุณหภูมิ 100-500°C ภายใต้บรรยากาศของก๊าซไนโตรเจนบริสุทธิ์ เป็นเวลา 20 นาที	56



## สารบัญรูป

รูปที่	หน้า
2.1 แสดงการจัดเรียงตัวของอะตอมของ Cds	6
2.2 โครงสร้างผลึกแบบเวิร์ตไฮท์ของ Cds	6
2.3 แสดงการเปรียบเทียบ โครงสร้างผลึกแบบเวิร์ตไฮท์กับแบบซิงค์เบลนด์	7
2.4 การบอกระนาบต่าง ๆ ของผลึก	8
2.5 แสดงข้อบกพร่องผลึกแบบจุด	10
2.6 แสดงข้อบกพร่องผลึกแบบคิสโตโลเคชันแบบขอบ	10
2.7 แสดงข้อบกพร่องผลึกแบบคิสโตโลเคชันแบบสกรู	10
2.8 แสดงเกรนและขอบเขตของเกรน	11
2.9 แสดงการเลี้ยวเบนของรังสีเอ็กซ์บนระนาบของผลึกที่เป็นไปตามกฎของแบรกก์	12
2.10 แสดงโครงสร้างแถบพลังงาน	14
ก. โลหะ	
ข. สารกึ่งตัวนำ	
ค. ฉนวน	
2.11 แสดงลักษณะ โครงสร้างแถบพลังงาน และการย้ายสถานะพลังงานของอิเล็กตรอนในสารกึ่งตัวนำที่อุณหภูมิศูนย์องศาสัมบูรณ์	15
ก. โครงสร้างแถบพลังงานแบบตรง	
ข. โครงสร้างแถบพลังงานแบบเฉียง	
2.12 กราฟความสัมพันธ์ระหว่างค่าสัมประสิทธิ์การดูดกลืนโฟตอนกับพลังงานโฟตอนของสารกึ่งตัวนำที่อุณหภูมิศูนย์องศาสัมบูรณ์	16
ก. โครงสร้างแถบพลังงานแบบตรง	
ข. โครงสร้างแถบพลังงานแบบเฉียงในกรณีกระบวนการสร้างโฟนอน	
2.13 แสดงโครงสร้างแถบพลังงานแบบตรงของ Cds ที่มีโครงสร้างผลึกแบบเวิร์ตไฮท์โดยไม่คิดการคัปปลิงระหว่างสปิน-ออร์บิต	17
2.14 แสดงโครงสร้างแถบพลังงานแบบตรงของ Cds ที่มีโครงสร้างผลึกแบบซิงค์เบลนด์โดยไม่คิดการคัปปลิงระหว่างสปิน-ออร์บิต	17

เอกสารนี้เป็นเอกสารที่สงวนไว้สำหรับการใช้งานเพื่อการศึกษาเท่านั้น ไม่อนุญาตให้นำไปใช้ประโยชน์ด้านการค้าไม่ว่ากรณีใดๆ ทั้งสิ้น อีกทั้งห้ามมิให้ตัดแปลงเนื้อหา และต้องอ้างอิงถึงเจ้าของเอกสารทุกครั้งที่มีการนำไปใช้

## สารบัญรูป(ต่อ)

รูปที่	หน้า
2.15 แสดงภาพจำลองเมื่อแสงตกกระทบบนแผ่นฟิล์มบาง	18
2.16 กราฟแสดงความสัมพันธ์ระหว่างเปอร์เซ็นต์การส่งผ่านแสงกับความยาวคลื่น โดยเส้นที่บจะแสดงขอบการดูดกลืนพื้นฐาน	20
2.17 แสดงการให้แรงดันกับสารตัวอย่าง	22
2.18 การวัดค่าสภาพต้านทาน ไฟฟ้าโดยวิธีสองขั้วเชิงเส้น	23
2.19 แสดงการวัดความต้านทานแผ่น โดยวิธีสองขั้วเชิงเส้น	25
ก. การวัดแบบสองขั้วโดยมีการเลื่อนระยะที่ขั้วหนึ่ง	
ข. กราฟความสัมพันธ์ระหว่างความต่างศักย์กับระยะทางที่ได้จากการวัดชนิดเลื่อนขั้วไฟฟ้า	
2.20 แผนภาพแสดงกลไกในการเกิดผลึกเป็นฟิล์มบางที่เตรียมโดยใช้เทคนิคการอบสารละลายเคมี	26
ก. กระบวนการเซทเทอโรจีเนียส	
ข. กระบวนการโฮโมจีเนียส	
ค. กระบวนการผสมระหว่างเซทเทอโรจีเนียสและโฮโมจีเนียส	
2.21 แสดงการเกิดฟิล์ม CdS บนฐานรองรับโดยกระบวนการโฮโมจีเนียส	28
2.22 แสดงการเกิดฟิล์ม CdS บนฐานรองรับโดยกระบวนการเซทเทอโรจีเนียส	28
2.23 แสดงลักษณะโมเลกุลที่เกิดขึ้นภายในสารละลาย	29
2.24 ลักษณะของโมเลกุลของ SnO <sub>2</sub> ที่เจือปนด้วย F	30
2.25 แสดงการลดลงของขนาดของหยดสารละลายตามระยะทางจากฐานรองรับ	30
2.26 แบบจำลองการเกิดฟิล์มบางบนผิวของฐานรองรับ	31
ก. การเกิดปฏิกิริยาที่เกิดการสูญเสียน้ำ	
ข. การเกิดฟิล์มบางบนฐานรองรับ	
2.27 แสดงการรวมตัวของฟิล์มบางที่เกิดจากวิธีการพ่นละอองสารเคมี	32
3.1 แสดงเครื่องเอ็กซ์เรย์คิฟแฟก โครมิเตอร์: D8 Advance	34

## สารบัญรูป(ต่อ)

รูปที่	หน้า
3.2 แสดงภาพถ่ายเครื่อง UV-VIS แบบดับเบิลบีม สเปกโตรโฟโตมิเตอร์ ยี่ห้อ Thermo electron corporation (Heλiosα)	35
3.3 แสดงภาพถ่ายเครื่อง SEM รุ่น LEO 1455 VP	35
3.4 แสดงเครื่องอิเล็กทรอนิกส์ ยี่ห้อ Keithley รุ่น 610 CR	36
3.5 แสดงรูปถ่ายการเตรียมฟิล์มบาง โดยวิธีอบสารละลายเคมี	39
3.6 แสดงระบบเตาแอนนูลที่ทนอุณหภูมิได้ถึง 1200 °C	41
4.1 ฟิล์มบางคิงออกไซด์ที่เจือด้วยฟลูออรีนที่เตรียมโดยวิธีการพ่นละอองสารเคมี ที่เกิดจากการสั่นด้วยคลื่นอัลตราโซนิกเมื่อให้ปริมาณการเจือฟลูออรีนแตกต่างกัน	42
4.2 แสดงฟิล์มบาง CdS ที่เตรียมจากสารตั้งต้นเป็นผลึกผงที่มีความบริสุทธิ์สูง (99.999%) โดยวิธีการอบสารละลายทางเคมีเมื่อไม่มีการแอนนูล	43
4.3 แสดงฟิล์มบาง CdS:F ที่เตรียมโดยวิธีการอบสารละลายทางเคมี เมื่อไม่มีการแอนนูลและเมื่อมีการแอนนูลที่อุณหภูมิ 100-500 °C ภายใต้บรรยากาศของก๊าซไนโตรเจนบริสุทธิ์ เป็นเวลา 20 นาที	44
4.4 แสดงสเปกตรัมของการเลี้ยวเบนรังสีเอ็กซ์ของฟิล์มบาง CdS ที่เจือด้วยอะตอมของธาตุ F ทั้งในกรณีเมื่อไม่มีการแอนนูลและมีการแอนนูลที่อุณหภูมิ 100- 500°C ภายใต้บรรยากาศของก๊าซไนโตรเจนบริสุทธิ์ เป็นเวลา 20 นาที	45
4.5 แสดงลักษณะผิวหน้าของฟิล์มบาง CdS:F ที่เตรียมได้โดยวิธีอบสารละลายเคมีทั้งในกรณีที่ไม่มีการแอนนูลและมีการแอนนูลที่อุณหภูมิ 100-500 °C ภายใต้บรรยากาศของก๊าซไนโตรเจนบริสุทธิ์เป็นเวลา 20 นาที	47
4.6 กราฟสเปกตรัมการส่งผ่านแสงของฟิล์มบาง CdS:F ที่เตรียมโดยวิธีการอบสารละลายเคมี เมื่อไม่มีการแอนนูลและเมื่อมีการแอนนูลที่อุณหภูมิ 100- 500 °C ภายใต้บรรยากาศของก๊าซไนโตรเจนบริสุทธิ์เป็นเวลา 20 นาที	48
4.7 แสดงการหาค่าช่องว่างแถบพลังงานจากความสัมพันธ์ระหว่างสัมประสิทธิ์การดูดกลืนแสง $(\alpha h\nu)^2$ กับพลังงานโฟตอน (hν) ของฟิล์มบาง CdS : F เมื่อไม่มีการแอนนูล	50

## สารบัญรูป(ต่อ)

รูปที่	หน้า
4.8 แสดงการหาค่าช่องว่างแถบพลังงานจากความสัมพันธ์ระหว่าง สัมประสิทธิ์การดูดกลืนแสง ( $\alpha h\nu$ ) <sup>2</sup> กับพลังงานโฟตอน( $h\nu$ ) ของฟิล์มบาง CdS : F เมื่อมีการแอนนัลที่อุณหภูมิ 100°C ภายใต้บรรยากาศของก๊าซไนโตรเจนบริสุทธิ์ เป็นเวลา 20 นาที	50
4.9 แสดงการหาค่าช่องว่างแถบพลังงานจากความสัมพันธ์ระหว่าง สัมประสิทธิ์การดูดกลืนแสง ( $\alpha h\nu$ ) <sup>2</sup> กับพลังงานโฟตอน( $h\nu$ ) ของฟิล์มบาง CdS : F เมื่อมีการแอนนัลที่อุณหภูมิ 200 °C ภายใต้บรรยากาศของก๊าซไนโตรเจนบริสุทธิ์ เป็นเวลา 20 นาที	51
4.10 แสดงการหาค่าช่องว่างแถบพลังงานจากความสัมพันธ์ระหว่าง สัมประสิทธิ์การดูดกลืนแสง ( $\alpha h\nu$ ) <sup>2</sup> กับพลังงานโฟตอน( $h\nu$ ) ของฟิล์มบาง CdS : F เมื่อมีการแอนนัลที่อุณหภูมิ 300°C ภายใต้บรรยากาศของก๊าซไนโตรเจนบริสุทธิ์ เป็นเวลา 20 นาที	51
4.11 แสดงการหาค่าช่องว่างแถบพลังงานจากความสัมพันธ์ระหว่าง สัมประสิทธิ์การดูดกลืนแสง ( $\alpha h\nu$ ) <sup>2</sup> กับพลังงานโฟตอน( $h\nu$ ) ของฟิล์มบาง CdS : F เมื่อมีการแอนนัลที่อุณหภูมิ 400 °C ภายใต้บรรยากาศของก๊าซไนโตรเจนบริสุทธิ์ เป็นเวลา 20 นาที	52
4.12 แสดงการหาค่าช่องว่างแถบพลังงานจากความสัมพันธ์ระหว่าง สัมประสิทธิ์การดูดกลืนแสง ( $\alpha h\nu$ ) <sup>2</sup> กับพลังงานโฟตอน( $h\nu$ ) ของฟิล์มบาง CdS : F เมื่อมีการแอนนัลที่อุณหภูมิ 500°C ภายใต้บรรยากาศของก๊าซไนโตรเจนบริสุทธิ์ เป็นเวลา 20 นาที	52
4.13 แสดงการหาค่าช่องว่างแถบพลังงาน ( $E_g$ ) ของฟิล์มบาง CdS:F ที่เตรียมโดยวิธีการอบสารละลายเคมีเมื่อไม่มีการแอนนัลและเมื่อมีการแอนนัลที่อุณหภูมิ 100- 500 °C ภายใต้บรรยากาศของก๊าซไนโตรเจนบริสุทธิ์ เป็นเวลา 20 นาที	53
4.14 กราฟแสดงฟิล์มบาง CdS:F บนกระจกสไลด์ที่เตรียมโดยวิธีการอบสารละลายเคมี เมื่อ ไม่มีการแอนนัลและมีการแอนนัลที่อุณหภูมิ 100-500°C ภายใต้บรรยากาศก๊าซไนโตรเจนบริสุทธิ์ เป็นเวลา 20 นาที	54

## สารบัญรูป(ต่อ)

รูปที่	หน้า
4.15	
กราฟแสดงฟิล์มบาง CdS:F บนชั้นของ SnO <sub>2</sub> ที่เตรียม โดยวิธีการอบ	
สารละลายทางเคมี เมื่อไม่มีการแอนนیلและมีการแอนนิลที่อุณหภูมิ	
100-500°C ภายใต้บรรยากาศก๊าซไนโตรเจนบริสุทธิ์ เป็นเวลา 20 นาที	55



# บทที่ 1

## บทนำ

1.1 ความเป็นมาโครงการพิเศษ [งานนิศย์ และคณะ, 2543; สิงหนตช, 2539; Kittel, 1971; Runya, 1975; ฐิตินัย และคณะ, 2546]

ปัจจุบันนี้มีความต้องการพลังงานทดแทนมากขึ้นเพราะพลังงานหลักคือน้ำมันเริ่มมีปริมาณน้อยลงอีกทางเลือกหนึ่งของพลังงานทดแทนที่น่าสนใจ คือ พลังงานแสงอาทิตย์ซึ่งพลังงานแสงอาทิตย์มีข้อดีหลายประการ คือ สะอาด ไม่สร้างมลภาวะที่เป็นพิษขณะใช้งาน ไม่ทำลายสิ่งแวดล้อม คิดตั้งง่าย สามารถใช้งานได้ทันที และสามารถผลิตกระแสไฟฟ้าได้ไม่มีที่สิ้นสุด ซึ่งแตกต่างจากพลังงานชนิดอื่นๆ เช่น พลังงานปรมาณูซึ่งอาจจะก่อให้เกิดอันตรายจากกัมมันตภาพรังสี ถ้าเกิดการรั่วไหล

เซลล์แสงอาทิตย์เป็นสิ่งประดิษฐ์สารกึ่งตัวนำที่สร้างขึ้นจากสารกึ่งตัวนำที่มีสมบัติเฉพาะที่สำคัญ คือ สามารถเปลี่ยนพลังงาน โฟตอน ไปเป็นพลังงาน ไฟฟ้า โดยที่เมื่อมีพลังงาน โฟตอนที่มีค่ามากกว่าหรือเท่ากับขนาดช่องว่างแถบพลังงานของสารกึ่งตัวนำมาตกกระทบทำให้เกิดแรงเคลื่อนไฟฟ้าขึ้นที่บริเวณรอยต่อของเซลล์แสงอาทิตย์ ซึ่งปรากฏการณ์นี้เรียกว่า ปรากฏการณ์โฟโตโวลตาอิก (photovoltaic effect)

ฟิล์มบาง  $\text{SnO}_2$  เป็นสารกึ่งตัวนำที่มีค่าช่องว่างแถบพลังงานค่อนข้างกว้างโดย  $\text{SnO}_2$  มีค่าช่องว่างแถบพลังงานประมาณ 3.54 eV มีโครงสร้างผลึกแบบเตตระโกนัลรูไทล์ ที่อุณหภูมิห้องมีคุณสมบัติเป็นฉนวน และมีสมบัติการส่องผ่านแสงในย่านที่ตามองเห็น และสะท้อนแสงในย่านอินฟราเรด จึงทำให้ฟิล์มบางมีศักยภาพในการประดิษฐ์เป็นกระจกสะท้อนความร้อนหรือขั้วไฟฟ้าโปร่งแสงของเซลล์แสงอาทิตย์

การเตรียมฟิล์มบาง  $\text{SnO}_2$  สามารถเตรียมได้หลายวิธีด้วยกัน เช่น สเป็คเตอริง การระเหยสารในระบบสุญญากาศ วิธีระเหยสารเคมี วิธีการอบสารละลายเคมี และการพ่นละอองสารเคมีที่เกิดจากการสั่นด้วยคลื่นอัลตราโซนิค เป็นต้น การเตรียมฟิล์มบางโดยวิธีพ่นละอองสารเคมีที่เกิดจากการสั่นด้วยคลื่นอัลตราโซนิค นี้มีข้อดี คือ สามารถเตรียมสารได้ขนาดใหญ่ตามความต้องการ ค่าใช้จ่ายในการเตรียมไม่สูงมากนัก จึงเหมาะสำหรับการนำไปประยุกต์ใช้งานในการประดิษฐ์เซลล์แสงอาทิตย์

ฟิล์มบาง CdS มีการนำไปใช้กันอย่างมากมายในโครงสร้างของอุปกรณ์ไฟฟ้าเชิงแสง ซึ่งมีค่าช่องว่างแถบพลังงานประมาณ 2.42 eV เนื่องจาก CdS เป็นสารกึ่งตัวนำที่มีช่องว่างแถบพลังงาน

กว้างสภาพการนำไฟฟ้าจึงมีค่าสูงเมื่อมีการรับแสง ในการผลิตฟิล์มบาง CdS มีหลายวิธีดังนี้ เช่น วิธีการพ่นละอองสารเคมีที่เกิดจากการสั่นด้วยคลื่นอัลตราโซนิค วิธีการระเหยด้วยระบบสูญญากาศ และวิธีการอบสารละลายเคมีแต่การประดิษฐ์เซลล์แสงอาทิตย์แบบฟิล์มบางที่ให้ประสิทธิภาพสูงฟิล์มบาง CdS ในโครงสร้างทำหน้าที่เป็นชั้นหน้าต่าง เป็นสารกึ่งตัวนำชนิดอื่น

การเตรียมฟิล์มบาง CdS โดยวิธีการอบสารละลายทางเคมีนี้เกิดจากการเกิดปฏิกิริยาเคมีในสารละลายเคมีประกอบด้วย  $Cd^{2+}$  กับ  $S^{2-}$  ทำปฏิกิริยากันเกิดเป็นฟิล์มบาง CdS เคลือบบนแผ่นรองรับ ในการเตรียมด้วยวิธีนี้ใช้อุณหภูมิประมาณ 80 องศาเซลเซียส อีกทั้งยังสามารถเตรียมฟิล์มให้พื้นที่ใหญ่ตามต้องการได้ และมีค่าใช้จ่ายในการเตรียมที่ต่ำจึงเหมาะสำหรับอุตสาหกรรมของเซลล์แสงอาทิตย์แบบฟิล์มบาง

## 1.2 วัตถุประสงค์

- 1.2.1 ศึกษาการเตรียมฟิล์มบาง  $SnO_2:F$  ด้วยวิธีการพ่นละอองสารเคมีที่เกิดจากการสั่นด้วยคลื่นอัลตราโซนิคและการเตรียมฟิล์มบาง  $CdS:F$  ด้วยวิธีอบสารละลายเคมี
- 1.2.2 ศึกษาการเตรียมฟิล์มบาง  $SnO_2:F$  ที่มีปริมาณความเข้มข้นของ  $[F]/[Sn](5wt\%)$  วิธีการพ่นละอองสารเคมีที่เกิดจากการสั่นด้วยคลื่นอัลตราโซนิคและเคลือบ  $CdS:F$  ด้วยวิธีอบสารละลายเคมีด้วยค่าความเข้มข้นของฟลูออรีนต่างๆกันลงบนกระจกสไลด์ที่เคลือบด้วยคิบุกออกไซด์
- 1.2.3 ศึกษาสมบัติทางค่านฟิสิกส์บางประการของฟิล์มบาง  $CdS:F$  บน  $SnO_2:F$  ที่เตรียมได้
  - 1.2.3.1 ศึกษาลักษณะโครงสร้างผลึกเชิงมหภาคของฟิล์มบาง  $CdS:F$  ด้วยกล้องจุลทรรศน์อิเล็กตรอนแบบส่องกราด
  - 1.2.3.2 ศึกษาและวิเคราะห์โครงสร้างผลึกเชิงจุลภาคของฟิล์มบางที่เตรียมได้ด้วยเครื่องเอ็กซ์เรย์ดิฟแฟรคโตมิเตอร์
  - 1.2.3.3 ศึกษาสมบัติเชิงแสงโดยวัดการส่งผ่านแสงโดยเครื่อง UV-VIS แบบดับเบิลบีมสเปกโตรโฟโตมิเตอร์ ยี่ห้อ Thermo Electron Corporation รุ่น He $\lambda$ ios $\alpha$
  - 1.2.3.4 ศึกษาสมบัติทางไฟฟ้าโดยการวัดค่าความต้านทานแผ่น

### 1.3 ขอบเขตของการวิจัย

ในงานวิจัยนี้ได้ทำการเตรียมฟิล์มบาง  $\text{SnO}_2:\text{F}$  ลงบนแผ่นรองรับที่เป็น โดยวิธีการพ่นละอองสารเคมีที่เกิดจากการสั่นด้วยคลื่นอัลตราโซนิก โดยใช้วิธีการทำให้สารละลายระเหยกลายเป็น ไอจากนั้นนำฟิล์มบาง  $\text{SnO}_2:\text{F}$  ที่ได้จากการเตรียมด้วยวิธีการพ่นละอองสารเคมีที่เกิดจากการสั่นด้วยคลื่นอัลตราโซนิกมาทำการเคลือบ  $\text{CdS}:\text{F}$  โดยวิธีอบสารละลายเคมี เพื่อที่จะทำการศึกษาสมบัติทางฟิสิกส์ต่างๆที่เปลี่ยนแปลงไปเมื่อเพิ่มความเข้มข้นของสารเจือและเพิ่มความหนาของฟิล์มบางเพื่อที่จะนำไปประยุกต์ใช้เป็นเซลล์แสงอาทิตย์ต่อไป

### 1.4 ขั้นตอนการวิจัยและวิธีการดำเนินงาน

- 1.4.1 ศึกษาค้นคว้าทฤษฎีและหลักการของการเตรียมฟิล์มบาง  $\text{SnO}_2:\text{F}$  ด้วยวิธีการพ่นละอองสารเคมีที่เกิดจากการสั่นด้วยคลื่นอัลตราโซนิกและการเตรียมฟิล์มบาง  $\text{CdS}:\text{F}$  ด้วยวิธีอบสารละลายเคมี
- 1.4.2 ทำการเคลือบฟิล์มบาง  $\text{SnO}_2:\text{F}$  ที่มีปริมาณความเข้มข้นของ  $[\text{F}]/[\text{Sn}](5\text{wt}\%)$  จากนั้นทำการเคลือบ  $\text{CdS}:\text{F}$  ที่ค่าความเข้มข้น 1, 5, 10, 15 และ 20wt%
- 1.4.3 ศึกษาสมบัติทางด้านฟิสิกส์บางประการของฟิล์มบาง  $\text{CdS}:\text{F}$  บน  $\text{SnO}_2:\text{F}$  ตามเงื่อนไขที่เตรียมได้ประกอบด้วย
  - 1.4.3.1 ศึกษาลักษณะ โครงสร้างผลึกเชิงมหภาคของฟิล์มบาง  $\text{CdS}:\text{F}$  บน  $\text{SnO}_2:\text{F}$  ด้วยกล้องจุลทรรศน์อิเล็กตรอนแบบส่องกราด
  - 1.4.3.2 ศึกษาและวิเคราะห์ โครงสร้างผลึกเชิงจุลภาคของฟิล์มบาง  $\text{CdS}:\text{F}$  บน  $\text{SnO}_2:\text{F}$  ด้วยการเลี้ยวเบนของรังสีเอ็กซ์
  - 1.4.3.3 ศึกษาสมบัติเชิงแสง โดยวัดการส่งผ่านแสง
  - 1.4.3.4 ศึกษาและวิเคราะห์สมบัติเชิงไฟฟ้าของฟิล์มบาง  $\text{CdS}:\text{F}$  บน  $\text{SnO}_2:\text{F}$  ด้วยวิธีสองขั้วเชิงเส้น

### 1.5 ประโยชน์ที่คาดว่าจะได้รับ

- 1.5.1 ทำให้ทราบถึงหลักการและวิธีการเตรียมฟิล์มบาง  $\text{CdS}:\text{F}$  ด้วยวิธีอบสารละลายเคมี
- 1.5.2 ทำให้ทราบถึงหลักการและวิธีการเตรียมฟิล์มบาง  $\text{SnO}_2:\text{F}$  ด้วยวิธีการพ่นละอองสารเคมีที่เกิดจากการสั่นด้วยคลื่นอัลตราโซนิก
- 1.5.3 ได้รับฟิล์มบาง  $\text{CdS}:\text{F}$  ที่เตรียมได้ด้วยวิธีอบสารละลายเคมีที่เคลือบลงบนฟิล์มบาง  $\text{SnO}_2:\text{F}$  ที่เตรียมได้ด้วยวิธีการพ่นละอองสารเคมีที่เกิดจากการสั่นด้วยคลื่นอัลตราโซนิก
- 1.5.4 ทำให้ทราบถึงอิทธิพลของสารเจือที่มีต่อสมบัติทางด้านฟิสิกส์ของฟิล์มบาง  $\text{CdS}:\text{F}$

เอกสารนี้เป็นเอกสารที่สงวนไว้สำหรับการใช้งานเพื่อการศึกษาเท่านั้น ไม่อนุญาตให้นำไปใช้ประโยชน์ด้านการค้าไม่ว่ากรณีใดๆ ทั้งสิ้น อีกทั้งห้ามมิให้ตัดแปลงเนื้อหา และต้องอ้างอิงถึงเจ้าของเอกสารทุกครั้งที่มีการนำไปใช้

1.5.5 ทำให้ได้ความรู้ในการศึกษาการเตรียมและเงื่อนไขที่เหมาะสมเพื่อเตรียมฟิล์มบางCdS:F  
ให้มีคุณภาพเหมาะที่จะนำไปประยุกต์เป็นเซลล์แสงอาทิตย์ต่อไป



เอกสารนี้เป็นเอกสารที่สงวนไว้สำหรับการใช้งานเพื่อการศึกษาเท่านั้น ไม่อนุญาตให้นำไปใช้ประโยชน์ด้านการค้า  
ไม่ว่ากรณีใดๆ ทั้งสิ้น อีกทั้งห้ามมิให้ดัดแปลงเนื้อหา และต้องอ้างอิงถึงเจ้าของเอกสารทุกครั้งที่มีการนำไปใช้

## บทที่ 2

### ทฤษฎีและหลักการ

ใน โครงงานพิเศษนี้เป็นการเตรียมฟิล์มบาง CdS:F ด้วยวิธีการอบสารละลายเคมีลงบนฟิล์มบาง SnO<sub>2</sub>:F ด้วยวิธีการพ่นละอองสารเคมีที่เกิดจากการสั่นด้วยคลื่นอัลตราโซนิก ซึ่งจะได้อธิบายทฤษฎีและหลักการในส่วนที่เกี่ยวข้องดังต่อไปนี้

#### 2.1 โครงสร้างของผลึก [จามนิตย์ และคณะ, 2543; ฐิตินัย และคณะ, 2546]

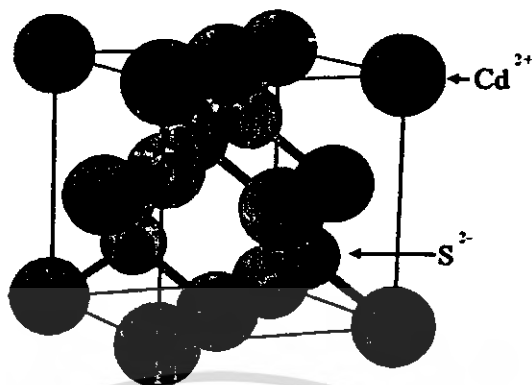
สารกึ่งตัวนำแต่ละชนิดจะมี โครงสร้างผลึกที่แตกต่างกันขึ้นอยู่กับ การจัดเรียงตัวของอะตอมที่อยู่ภายใน โครงผลึก การที่มีโครงสร้างผลึกที่แตกต่างกันนี้ทำให้สารกึ่งตัวนำมีคุณสมบัติที่แตกต่างกัน เช่น คุณสมบัติการนำไฟฟ้า, คุณสมบัติการดูดกลืนแสง ฯลฯ

##### 2.1.1 ชนิดการจัดเรียงตัวของอะตอมที่อยู่ภายในโครงสร้างผลึกแบบ 3 มิติ

โครงสร้างผลึก คือ ตำแหน่งที่เป็นที่อยู่ของเบสิส (basis) ในระบบ 3 มิติ ส่วนเบสิส คืออะตอมหรือกลุ่มของอะตอมที่อยู่ภายใน โครงผลึกซึ่งจากการศึกษาพบว่า โครงสร้างผลึกของแคดเมียมซัลไฟด์จะมีลักษณะ โครงสร้างอยู่ 2 แบบ คือ แบบซิงค์เบลนด์ (zincblende) และแบบเวิร์ทไซต์ (wurtzite)

##### 2.1.1.1 โครงสร้างผลึกแบบซิงค์เบลนด์ (zincblende structure)

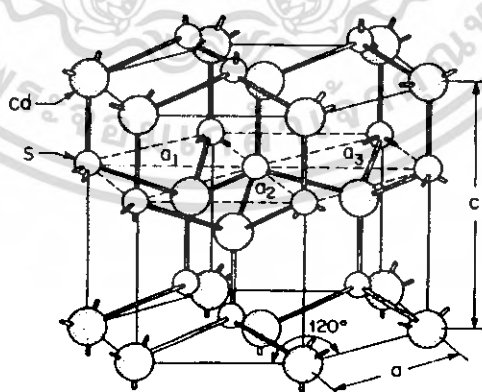
โครงสร้างผลึกแบบนี้มักพบในสารกึ่งตัวนำที่ประกอบด้วยอะตอมของธาตุสองชนิดหรือเรียกว่าเป็นสารประกอบกึ่งตัวนำเชิงคู่ (binary compound semiconductor) ได้แก่ สารประกอบสารกึ่งตัวนำในกลุ่ม III-V เช่น GaAs และ InSb และสารประกอบกึ่งตัวนำในกลุ่ม II-VI เช่น ZnSe, ZnS เป็นต้น โครงสร้างแบบนี้มีลักษณะคล้าย โครงสร้างผลึกแบบเพชร คือ อาจพิจารณาว่าเป็น โครงสร้างผลึกแบบเฟซเซนเตอร์คิวบิกสองโครงซ้อนกันอยู่แค่ โครงหนึ่งเป็นธาตุหมู่ II (หรือ III) ส่วนอีก โครงผลึกเป็นธาตุหมู่ VI (หรือ V) สำหรับสารกึ่งตัวนำเชิงคู่ II-VI (หรือ III-V) ในหนึ่งหน่วยเซลล์ประกอบด้วยอะตอมสองชนิดแต่ละชนิดมี 4 อะตอม เช่นใน CdS ไอออนของ Cd<sup>2+</sup> จะอยู่ที่ตำแหน่ง (0,0,0), (0,½,½), (½,0,½) และ (½,½,0) ส่วนตำแหน่งของ ไอออนของ S<sup>2-</sup> จะอยู่ที่ (¼,¼,¼), (¾,¾,¾), (¾,¼,¾) และ (¼,¾,¾) สารที่มีโครงสร้างผลึกแบบนี้ ได้แก่ ZnS, CuCl, AgI, CuF, SiC และ CdS เป็นต้น ซึ่งเป็นสารกึ่งตัวนำที่มีความสำคัญสำหรับนำมาประยุกต์เพื่อประดิษฐ์เป็นอุปกรณ์อิเล็กทรอนิกส์ และเป็นอุปกรณ์อิเล็กทรอนิกส์เชิงแสง



รูปที่ 2.1 แสดงการจัดเรียงตัวของอะตอมของ CdS

### 2.1.1.2 โครงสร้างผลึกแบบเวิร์ตไซต์ (wurtzite structure)

โครงสร้างผลึกแบบเวิร์ตไซต์จัดอยู่ในระบบโครงสร้างผลึกแบบเฮกซะโกนอลเกิดจากการนำโครงสร้างผลึกแบบเฮกซะโกนอลที่มีอะตอมของธาตุต่างๆอยู่สองชนิดวางซ้อนเหลื่อมกันเป็นระยะ  $5/8$  ตามแนวแกน  $c$  ( $c$ -axis) หนึ่งหน่วยเซลล์จะมี 8 อะตอม มีอะตอมเพื่อนบ้านอยู่ 4 อะตอม มีพันธะเคมีของโมเลกุลเป็นแบบพันธะโคเวเลนต์ และมีพันธะเคมีระหว่างอะตอมเป็นแบบโควาเลนต์ ดังนั้นจึงมีการจัดเรียงระนาบของอะตอมคล้ายกับโครงสร้างผลึกแบบซิงค์เบลนด์แต่จะมีความแตกต่างกัน คือ ในโครงสร้างผลึกแบบเวิร์ตไซต์จะมีการจัดเรียงระนาบของพันธะโคเวเลนต์เป็นแบบ ABAB... หรือ 0101... ส่วนในโครงสร้างผลึกแบบซิงค์เบลนด์จะมีการจัดเรียงระนาบของพันธะโคเวเลนต์เป็นแบบ ABCABC... หรือ 012012... สารที่มีโครงสร้างผลึกแบบนี้ ได้แก่ CdS, ZnS เป็นต้น



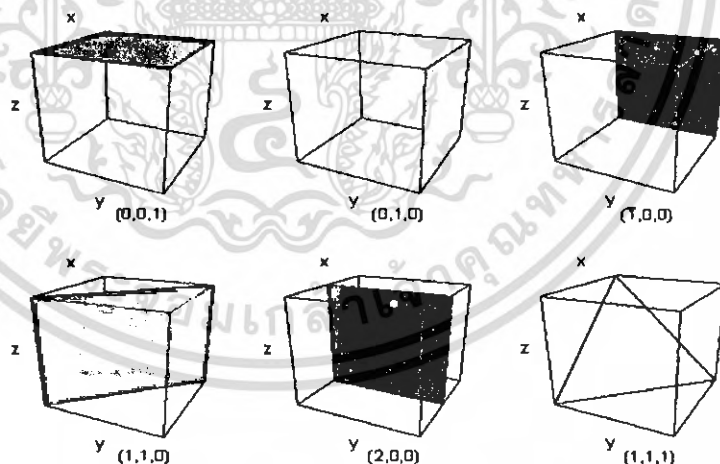
รูปที่ 2.2 โครงสร้างผลึกแบบเวิร์ตไซต์ของ CdS



**ตัวอย่าง** การระบุทิศทางที่ศึกษาจะใช้แนวที่ผ่านจุดเริ่มต้นของแกนผลึก คือ ที่จุด  $(0,0,0)$  ซึ่งสามารถใช้ค่าเดียวกันนี้ระบุทุกแนวทิศทางที่ขนานกันและจะใช้จุดที่เป็นค่าจำนวนเต็มที่น้อยที่สุดที่แนวนั้นตัดผ่านเป็นตัวระบุ เช่น ทิศทาง  $[111]$  มีจุดจำนวนนับไม่ถ้วนที่ทิศทางนี้ตัดผ่าน เช่น จุด  $(0,0,0)$  จุด  $(1,1,1)$  นอกจากนี้ยังผ่านจุด  $(2,2,2)$  และ  $(1/2,1/2,1/2)$  และจุดอื่นๆอีกนับไม่ถ้วนถ้าเป็นทิศทางที่เป็นลบก็จะใส่เครื่องหมาย “-” หรือ บาร์ (bar) ไว้บนตัวเลขนั้นๆ เช่นทิศทาง  $[1\bar{2}\bar{1}]$  แสดงว่าในแนวแกน  $z$  มีค่าเป็นลบ

### 2.1.2.3 การระบุระนาบ

จะใช้อักษร  $(h\ k\ l)$  สังกัดวงเล็บ และไม่มีเครื่องหมาย “-” กัน ค่า  $(h\ k\ l)$  เรียกว่า ดัชนีมิลเลอร์ (Miller indices) ระนาบของผลึกเป็นสิ่งสำคัญที่สุดอีกประการหนึ่งในการศึกษาผลึกเพราะในแต่ละระนาบจะประกอบไปด้วยอะตอม ไอออนหรือ โมเลกุลเรียงตัวกันอยู่บนระนาบนั้น อาจกล่าวได้ว่าระนาบแต่ละระนาบจะมีความแตกต่างกันเช่นเดียวกับทิศทางจุดที่ระนาบหนึ่งๆ ตัดแกนผลึกจะได้มาจากค่าส่วนกลับของดัชนีมิลเลอร์ เช่น ระนาบ  $(010)$  จะตัดแกน  $(x, y, z)$  ที่จุด  $(1/0, 1/1, 1/0)$  หรือ จุด  $(\infty, 1, \infty)$  นั่นเอง (ระยะอนันต์หมายถึงระนาบนั้นขนานกับแกนนั้นและไปตัดแกนนั้นที่ระยะอนันต์) ดังแสดงในรูปที่ 2.4 ซึ่งสรุปความสัมพันธ์ระหว่างระนาบต่างๆกับระยะตัดแกนอ้างอิง



รูปที่ 2.4 การบอกระนาบต่างๆ ของผลึก

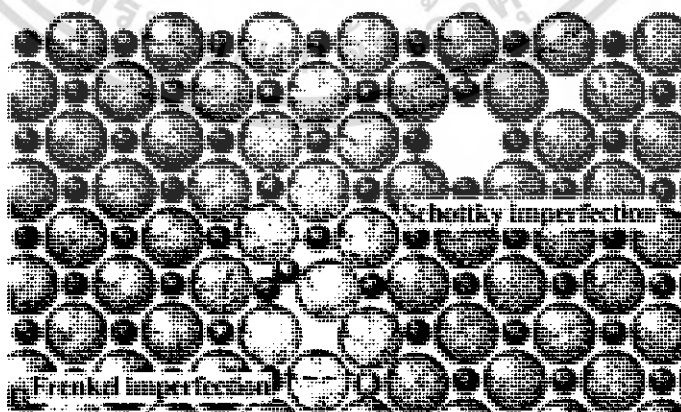
### 2.1.3 ความไม่สมบูรณ์ของผลึก

ที่ผ่านมาเราพิจารณาโครงสร้างผลึกในอุดมคติมาโดยตลอด แต่ในความเป็นจริงแล้ว โครงสร้างผลึกจะมีลักษณะไม่สมบูรณ์แบบ โครงสร้างผลึกในอุดมคติทั้งหมดความไม่สมบูรณ์ของผลึกนั้นมีแนวโน้มที่จะเปลี่ยนแปลงคุณสมบัติทางไฟฟ้าของสารและในบางกรณีตัวแปรทางไฟฟ้าจะขึ้นอยู่กับความไม่สมบูรณ์ของผลึกด้วยซึ่งความไม่สมบูรณ์หรือข้อบกพร่องของโครงสร้างผลึกมีหลายชนิดด้วยกัน

#### 2.1.3.1 ข้อบกพร่องผลึกแบบจุด (point defect)

ข้อบกพร่องของผลึกแบบจุดดังแสดงในรูปที่ 2.5 นี้จะเกี่ยวข้องกับการพิจารณาอะตอมที่ผิดเพี้ยนไปจากตำแหน่งเดิมในโครงสร้างผลึก

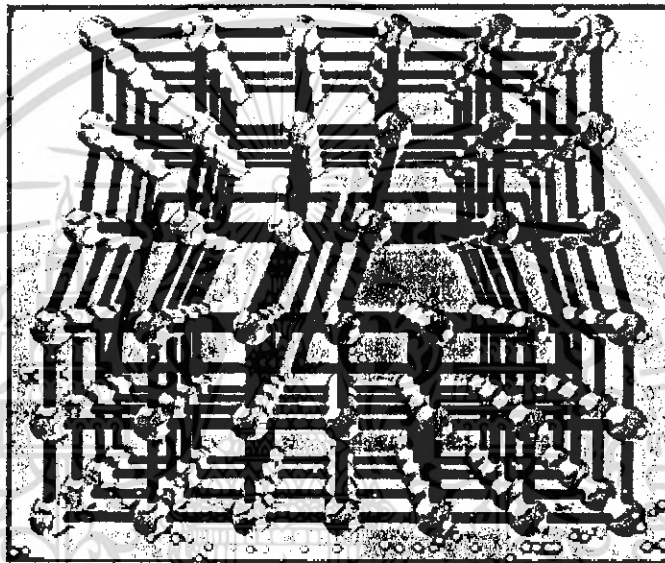
- ก) ข้อบกพร่องผลึกแบบแวนเคนซี (vacancy defect) ซึ่งมีลักษณะที่อะตอมหรือไอออนหลุดหายไป หรืออาจเรียกอีกอย่างว่า ข้อบกพร่องผลึกแบบชอตคกี (schottky defect)
- ข) ข้อบกพร่องผลึกแบบอินเตอร์สติเชียล (interstitial) ซึ่งเป็นลักษณะที่อะตอมบางอะตอมหรือไอออนที่ไม่อยู่ที่ตำแหน่งของโครงสร้างผลึก แต่จะเข้าไปแทรกอยู่ระหว่างตำแหน่งที่เป็นที่ว่างของโครงสร้างผลึก โดยทั่วไปแล้วรัศมีอะตอมที่เข้าไปแทรกอยู่จะมีค่าอยู่ระหว่างหรือน้อยกว่ารัศมีของอะตอมหลัก
- ค) การผิดรูปของโครงสร้างผลึกแบบเฟรเนล (frenkel disorder) ก็คือ จะเกิดลักษณะ (ก) และ (ข) ร่วมกัน โดยมีจำนวนเท่าๆกัน
- ง) การผิดรูปของโครงสร้างผลึกแบบแอนติสตรัคเจอร์ (antistructure disorder) เป็นลักษณะของอะตอมตั้งแต่สองอะตอมขึ้นไปเข้าไปอยู่ในตำแหน่งของโครงสร้างผลึกทำให้ลักษณะของโครงสร้างผลึกไม่เป็นระเบียบ



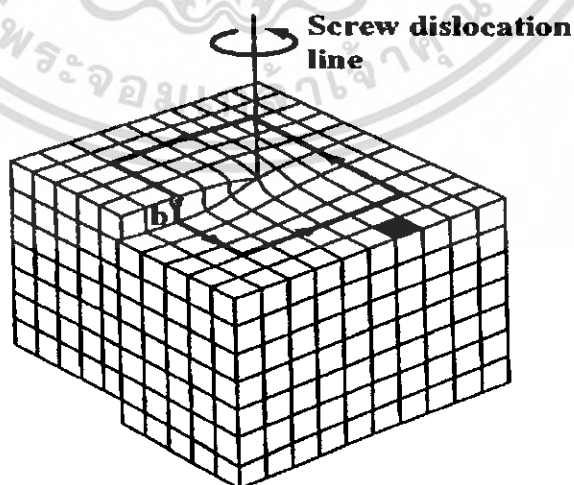
รูปที่ 2.5 แสดงข้อบกพร่องผลึกแบบจุด

### 2.1.3.2 ข้อบกพร่องผลึกเชิงเส้น (line defect)

ข้อบกพร่องผลึกเชิงเส้นอาจจะเรียกได้อีกอย่างว่าดิสโลเคชัน (dislocations) เกิดจากความผิดปกติของจุดของ โครงผลึกตั้งแต่สองจุดขึ้นไป ขาดหายหรือเพิ่มขึ้นมาซึ่งมีผลทำให้เกิดการผิดปกติของ โครงผลึกแบบเชิงเส้น การเกิดดิสโลเคชันอาจจะแบ่งออกได้ตามลักษณะรูปร่างที่สังเกตเห็น คือ ดิสโลเคชันแบบขอบ (edge dislocations) ดังรูปที่ 2.6 และดิสโลเคชันแบบสกรู (screw dislocations) ดังรูป 2.7



รูปที่ 2.6 แสดงข้อบกพร่องผลึกแบบดิสโลเคชันแบบขอบ



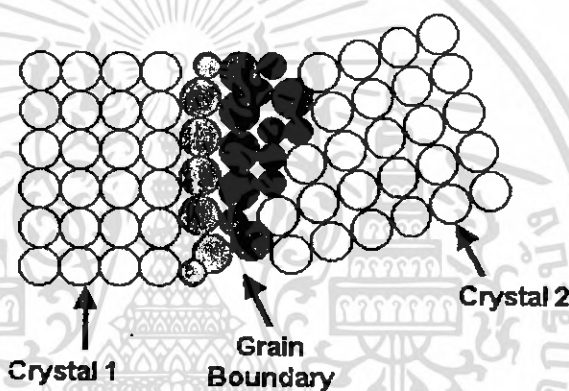
รูปที่ 2.7 แสดงข้อบกพร่องผลึกแบบดิสโลเคชันแบบสกรู

เอกสารนี้เป็นเอกสารที่สงวนไว้สำหรับการใช้งานเพื่อการศึกษาเท่านั้น ไม่นุญาตให้นำไปใช้ประโยชน์ด้านการค้า ไม่ว่าจะกรณีใดๆ ทั้งสิ้น อีกทั้งห้ามมิให้ดัดแปลงเนื้อหา และต้องอ้างอิงถึงเจ้าของเอกสารทุกครั้งที่มีการนำไปใช้

### 2.1.3.3 ข้อบกพร่องผลึกแบบแนวระนาบ (planar defect)

เป็นลักษณะของความผิดปกติของผลึกแบบระนาบแบ่งออกได้เป็นสามกลุ่มใหญ่ๆ คือการเรียงระนาบผิดลำดับ (stacking faults), ระนาบทวิน (twin planes), เกรนและขอบของเกรน (grain and grain boundaries)

ข้อบกพร่องผลึกชนิดนี้มักจะเกิดขึ้นในผลึกพหุพันธ์ (polycrystallines) ที่มีหลายเกรน ดังแสดงในรูปที่ 2.8 ซึ่งในแต่ละเกรนจะมีการจัดเรียงตัวของผลึกในทิศทางเดียวกัน และมีแนวแบ่งระหว่างแต่ละเกรนที่มีการจัดเรียงตัวของผลึกในทิศทางต่างกัน เรียกว่า ขอบเขตของเกรน ซึ่งเกรนและขอบเขตของเกรนจะมีผลทำให้เกิดการเปลี่ยนแปลงสมบัติเชิงฟิสิกส์ต่างๆ ไปจากผลึกในอุดมคติ



รูปที่ 2.8 แสดงเกรน และขอบเขตของเกรน

### 2.1.4 การศึกษาโครงสร้างผลึกเชิงจุดภาคด้วยการเลี้ยวเบนรังสีเอ็กซ์

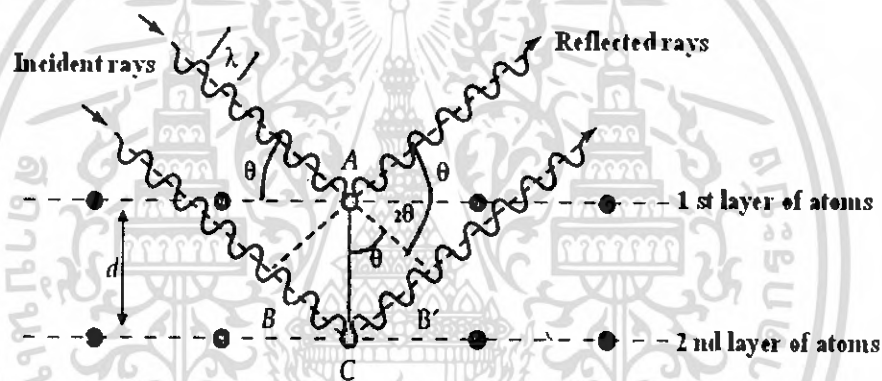
การศึกษาโครงสร้างผลึกจากการเลี้ยวเบนของรังสีเอ็กซ์โดยวิธี  $\theta$ - $2\theta$  ดิฟแฟรกโตรมิเตอร์ โดยใช้รังสีเอ็กซ์ความยาวคลื่นเดียวตกกระทบตัวอย่างซึ่งอาจเป็นผลึกเดี่ยวหรือผลึกพหุพันธ์ก็ได้ ตัวอย่างจะหมุนไปเป็นมุม  $\theta$  ในขณะที่อุปกรณ์ตรวจจับสัญญาณรังสีเอ็กซ์จะเคลื่อนที่ไปเป็นมุม  $2\theta$  เพื่อให้การเลี้ยวเบนสอดคล้องกับกฎของแบรกก์

ในปี ค.ศ. 1912 W.H. Bragg และ W.L. Bragg ได้เสนอแนวคิดที่ว่า เราสามารถมองได้ว่าผลึกจัดเรียงตัวเป็นชั้น (layer) หรือ ระนาบ (plane) ของอะตอมซึ่งสามารถสะท้อนคลื่นที่ตกกระทบโดยมุมตกกระทบเท่ากับมุมสะท้อน ทั้งนี้ลำคลื่นที่สะท้อนออกไปจากระนาบต่างๆดังกล่าวจะมีความเข้มสูงและแทรกสอดแบบเสริม ถ้าหากความแตกต่างระหว่างทางเดินของคลื่นที่สะท้อนจากระนาบที่อยู่ข้างเคียงจะมีค่าเป็นจำนวนเท่าของความยาวคลื่นที่ ตกกระทบดังสมการ

$$2d_{hkl} \sin \theta = n\lambda \quad (2.1)$$

- เมื่อ  $\lambda$  คือ ความยาวคลื่นของรังสีเอ็กซ์  
 $d_{hkl}$  คือ ระยะระหว่างระนาบที่ขนานกัน  
 $\theta$  คือ มุมที่สะท้อนจากระนาบซึ่งจะเท่ากับมุมตกกระทบ  
 $n$  คือ ลำดับที่ของการเลี้ยวเบน มีค่าเป็นเลขจำนวนเต็มคือ 1, 2, 3,...

ระนาบต่างๆของผลึกไม่ได้ก่อให้เกิดการสะท้อนเสมอไประนาบใดที่รังสีเอ็กซ์ตกกระทบแล้วกระเจิงออกมาอย่างสอดคล้องกับกฎของแบรกก์ เรียกว่าระนาบแบรกก์ (Bragg plane) และมุมที่รังสีสะท้อนทำกับแนวที่ขนานกับรังสีตกกระทบเรียกว่ามุมเลี้ยวเบน (diffraction angle) ซึ่งมีค่าเป็นสองเท่าของมุมสะท้อน ดังแสดงในรูปที่ 2.9



รูปที่ 2.9 แสดงการเลี้ยวเบนของรังสีเอ็กซ์บนระนาบของผลึกที่เป็นไปตามกฎของแบรกก์

### 2.1.5 การวิเคราะห์โครงสร้างผลึก

ข้อมูลที่ได้จากรีการเลี้ยวเบนของรังสีเอ็กซ์ในโครงสร้างผลึกสามารถนำไปคำนวณค่าคงที่โครงสร้างผลึกได้ โดยพิจารณาได้ในแต่ละโครงสร้างผลึกดังนี้

#### 2.1.5.1 โครงสร้างผลึกแบบซิงค์เบลนด์

โครงสร้างผลึกแบบซิงค์เบลนด์ จัดอยู่ในรูปผลึกแบบคิวบิก (cubic) จะได้ความสัมพันธ์ระหว่างค่าคงที่โครงสร้างผลึก ค่าดัชนีมิลเลอร์ และระยะระหว่างระนาบที่ขนานกันดังสมการ

$$\frac{1}{d^2} = \frac{h^2 + k^2 + l^2}{a^2} \quad (2.2)$$

### 2.1.5.2 โครงสร้างผลึกแบบเวิร์ตไฮท์

โครงสร้างผลึกแบบเวิร์ตไฮท์หาได้จากสมการ

$$\frac{1}{d^2} = \frac{4}{3} \left[ \frac{h^2 + hk + l^2}{a^2} \right] + \frac{l^2}{c^2} \quad (2.3)$$

เมื่อ  $a, c$  คือ ค่าคงที่ของโครงผลึก  
 $(h \ k \ l)$  คือ คำนีมิลเลอร์ที่บอกชื่อระนาบของผลึก

## 2.2 สมบัติการดูดกลืนแสงของสารกึ่งตัวนำ [งานนิคย์และคณะ, 2543; ฐิตินัยและคณะ, 2546; งานนิคย์และคณะ, 2549]

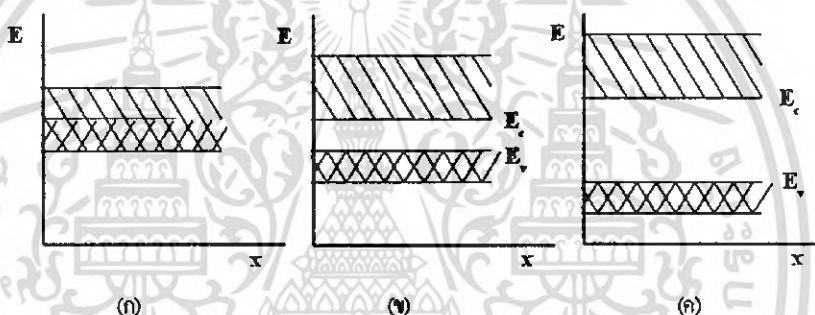
การศึกษาสมบัติเชิงแสงของสารกึ่งตัวนำทำให้ทราบถึงลักษณะ โครงสร้างแถบพลังงาน และขนาดช่องว่างแถบพลังงานของสารกึ่งตัวนำ โดยจะกล่าวถึงลักษณะของโครงสร้างแถบพลังงานของสารกึ่งตัวนำและกระบวนการดูดกลืนแสงของอิเล็กตรอน, ลักษณะ โครงสร้างแถบพลังงานของแคดเมียมซัลไฟด์, สเปกตรัมการส่งผ่านแสงและการคำนวณหาค่าช่องว่างแถบพลังงาน

### 2.2.1 ทฤษฎีโครงสร้างแถบพลังงาน

ในโลหะอิเล็กตรอนที่อยู่ในวงโคจรชั้นนอกสุด เรียกว่า วาเลนซ์อิเล็กตรอนและถือว่าเป็นอิเล็กตรอนอิสระ ไม่ถูกยึดอยู่ที่อะตอมหนึ่งอะตอมใด โดยเฉพาะซึ่งไม่เหมือนกับอิเล็กตรอนในสารกึ่งตัวนำหรือฉนวนที่ไม่เป็นอิสระอิเล็กตรอนซึ่งทำให้เกิดกระแสอาจถูก เรียกว่า ตัวนำอิเล็กตรอนตัวนำ (conduction electron) และในผลึกของแข็งอาจพิจารณาได้ว่าอิเล็กตรอนเคลื่อนที่อยู่ในผลึก ซึ่งมีศักย์แบบเป็นคาบ (periodic potential) อย่างสมบูรณ์ ทั้งนี้เนื่องจากระยะห่างของไอออนคอร์ (ion core) มีระยะเท่ากันตลอดซึ่งเท่ากับค่าคงที่ของ โครงผลึก (lattice constant) ซึ่งจะเห็นได้ว่าพลังงานของอิเล็กตรอนซึ่งจะมีได้นั้นจะมีได้ในแถบหนึ่งแถบใดเท่านั้นคือ แถบยินยอม (allowed band) และแถบพลังงานที่จะมีได้นั้นจะถูกแบ่งกันไว้ด้วยแถบพลังงานต้องห้ามซึ่งหมายถึงพลังงานในย่านนี้อิเล็กตรอนไม่สามารถที่จะมีได้ แถบดังกล่าวถูกเรียกว่า “แถบต้องห้ามหรือช่องว่างแถบพลังงาน” (forbidden band or energy gap) ภายในแถบยินยอมหนึ่งๆอิเล็กตรอนที่อยู่ในแถบนี้จะแสดงตัวเหมือนกับอิเล็กตรอนอิสระทุกประการ

### 2.2.1.1 โครงสร้างแถบพลังงาน ของโลหะ สารกึ่งตัวนำและฉนวน

ลักษณะ โครงสร้างของแถบพลังงานของของแข็งสามารถบ่งบอกคุณสมบัติการนำไฟฟ้าของวัสดุของแข็งนั้นๆ ได้เป็นอย่างดี สภาพความนำไฟฟ้าของสารใดๆ จะมีค่ามากหรือน้อยก็ขึ้นอยู่กับจำนวนหรือปริมาณของความหนาแน่นของประจุพาหะที่มีอยู่ ณ ภาวะที่จะมีการนำไฟฟ้าได้ แล้วจำเป็นที่จะต้องมียุทธศาสตร์ช่องว่างอยู่ในแถบพลังงานและเมื่อมีสนามไฟฟ้า อิเล็กตรอนที่ระดับต่างๆ ซึ่งอยู่ใต้ระดับพลังงานที่ว่างอยู่ก็จะได้รับพลังงานเพิ่มขึ้นและเคลื่อนที่เข้าไปอยู่ในสถานะที่ว่างอยู่นั้น จากนั้นอิเล็กตรอนตัวอื่นๆ ก็จะเคลื่อนที่ตาม กัน ไปอย่างนี้ทำให้เกิดการไหลของกระแสอิเล็กตรอนขึ้น ตัวนำที่ดีจะต้องมีพาหะซึ่งอยู่ในระดับต่างๆ ภายในแถบพลังงานซึ่งประกอบด้วยแถบพลังงานสองแถบ คือ แถบนำและแถบวาเลนซ์ซ้อน เหลื่อมกันซึ่งคือ โครงสร้างแถบพลังงานของโลหะนั่นเอง ดังรูปที่ 2.10 (ก)



รูปที่ 2.10 แสดง โครงสร้างแถบพลังงาน

ก. โลหะ

ข. สารกึ่งตัวนำ

ค. ฉนวน

### 2.2.1.2 ลักษณะโครงสร้างแถบพลังงานของสารกึ่งตัวนำ

โดยทั่วไปลักษณะ โครงสร้างแถบพลังงานของสารกึ่งตัวนำมีสองแบบคือ แบบตรง (direct bandgap) และแบบอ้อม (indirect bandgap) ดังแสดงในรูปที่ 2.11(ก) และ (ข) ลักษณะ โครงสร้างแถบพลังงานแบบตรง คือ โครงสร้างแถบพลังงานที่มีจุดค่าสุดของแถบนำกับจุดสูงสุดของแถบวาเลนซ์ อยู่ที่ตำแหน่งเวกเตอร์คลื่น (wave vector ;  $k$ ) ค่าเดียวกันหรืออยู่ที่ตำแหน่งที่ไม่มีโมเมนตัมคลื่นเท่ากันถ้าอิเล็กตรอนได้รับพลังงานโฟตอนที่มีค่าเท่ากับขนาดของช่องว่างแถบพลังงาน ( $h\nu = E_g$ ) อิเล็กตรอนจะดูดกลืนพลังงานโฟตอนนั้นและอยู่ในสภาวะถูกกระตุ้นจึงย้ายสถานะพลังงาน (transition) จากจุดสูงสุดของแถบวาเลนซ์ไปยังจุดค่าสุดของแถบนำกลายเป็นอิเล็กตรอนและโฮลอิสระ โดยไม่มีการสูญเสียพลังงานให้แก่โครงสร้างผลึกคือ ไม่มีการสร้างหรือทำลายล้าง

เอกสารนี้เป็นเอกสารที่สงวนไว้สำหรับการใช้งานเพื่อการศึกษาเท่านั้น ไม่อนุญาตให้นำไปใช้ประโยชน์ด้านการค้า ไม่ว่ากรณีใดๆ ทั้งสิ้น อีกทั้งห้ามมิให้ดัดแปลงเนื้อหา และต้องอ้างอิงถึงเจ้าของเอกสารทุกครั้งที่มีการนำไปใช้

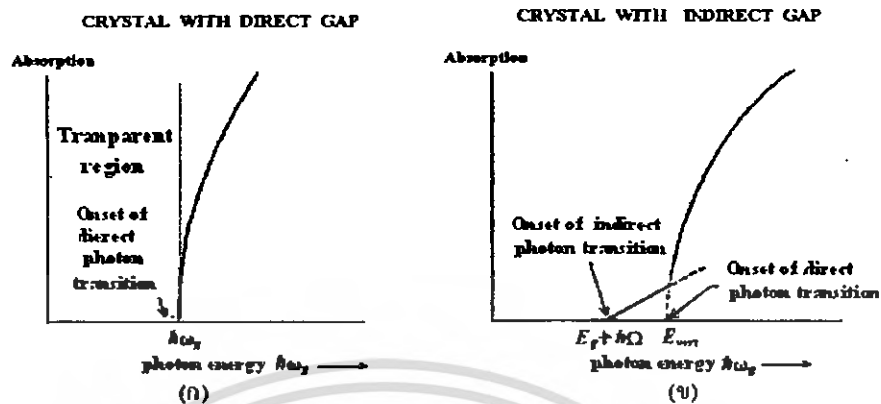
โฟนอน (phonon creation or phonon annihilation) เมื่อเขียนกราฟความสัมพันธ์ระหว่างค่าสัมประสิทธิ์ การดูดกลืน โฟตอน (absorption coefficient) กับพลังงาน โฟตอนจะได้กราฟดังรูปที่ 2.12 (ก) ส่วนลักษณะ โครงสร้างแถบพลังงานแบบเฉียง คือ โครงสร้างแถบพลังงานที่มีจุดต่ำสุดของแถบนำกับจุดสูงสุดของแถบวาเลนซ์ ไม่อยู่ที่ตำแหน่งเวกเตอร์คลื่นเดียวกันหรืออยู่ที่ตำแหน่งที่มีโมเมนตัมคลื่นเท่ากัน ดังนั้นอิเล็กตรอนต้องได้รับพลังงาน โฟตอนที่มีค่ามากกว่าหรือน้อยกว่าขนาดของช่องว่างแถบพลังงานแล้วจะทำให้เกิดกระบวนการสร้างหรือทำลายโฟนอนเกิดขึ้น  $h\nu = E_g \pm \hbar\Omega$  เมื่อ  $\Omega$  คือ ค่าความถี่เชิงมุมของพลังงาน โฟนอนนั่นคือ เมื่ออิเล็กตรอนที่อยู่ในสถานะถูกกระตุ้น ทำให้เกิดการย้ายสถานะพลังงานจากจุดสูงสุดของแถบ วาเลนซ์ไปยังค่าต่ำสุดของแถบนำ จะมีการปล่อยโฟนอน(emitted phonon)ที่มีความถี่เชิงมุมมีเวกเตอร์คลื่น  $k \cong k_c$  ออกมาจึงเกิดการสร้างโฟนอนและสร้างอิเล็กตรอนและ โฮลอิสระแสดงดัง รูปที่ 2.11 (ข) และเมื่อเขียนกราฟความสัมพันธ์ระหว่างค่าสัมประสิทธิ์การดูดกลืน โฟตอนกับพลังงาน โฟตอนจนได้กราฟดังรูป 2.12 (ข)



รูปที่ 2.11 แสดงลักษณะ โครงสร้างแถบพลังงาน และการย้ายสถานะพลังงาน

ของอิเล็กตรอน ในสารกึ่งตัวนำที่อุณหภูมิต่ำของสารกึ่งตัวนำ

- ก. โครงสร้างแถบพลังงานแบบตรง
- ข. โครงสร้างแถบพลังงานแบบเฉียง



รูปที่ 2.12 กราฟความสัมพันธ์ระหว่างค่าสัมประสิทธิ์การดูดกลืนโฟตอน  
กับพลังงานโฟตอนของสารกึ่งตัวนำที่อุณหภูมิศูนย์องศาสัมบูรณ์

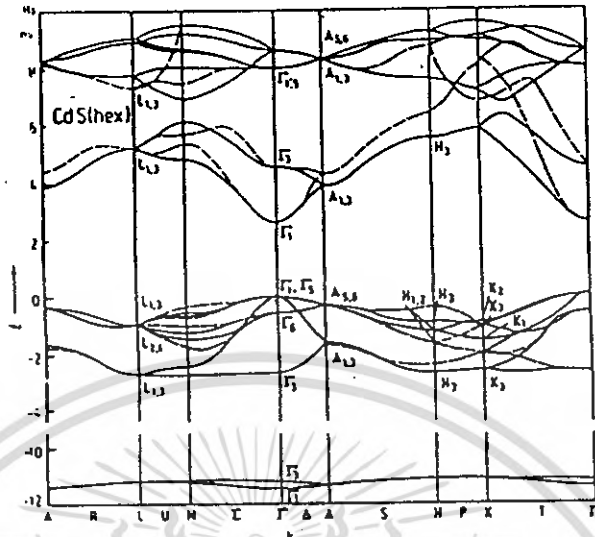
ก. โครงสร้างแถบพลังงานแบบตรง

ข. โครงสร้างแถบพลังงานแบบเฉียงในกรณีกระบวนการสร้างโฟนอน

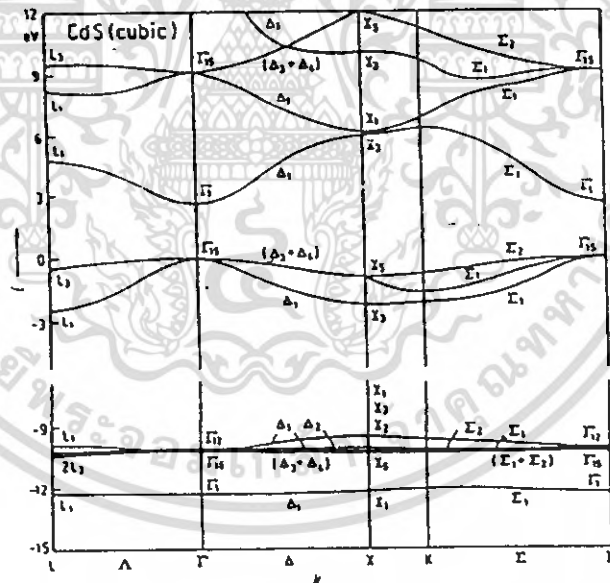
### 2.2.2 โครงสร้างแถบพลังงานของแคดเมียมซัลไฟด์

แคดเมียมซัลไฟด์ มีลักษณะของโครงสร้างแถบพลังงานแบบตรงคือ มีการย้ายสถานะพลังงานของอิเล็กตรอนจากตำแหน่งสูงสุดของแถบวาเลนซ์ไปจุดต่ำสุดของแถบนำซึ่งอยู่ที่แวกเตอร์คลื่นค่าเดียวกันหรือที่ตำแหน่ง  $\Gamma$  ของบริลลันโซนของโครงสร้างผลึกทั้งแบบซิงค์เบลนด์และเวิร์ทไซท์ ดังรูปที่ 2.13 และ 2.14 โดยที่โครงสร้างผลึกแบบซิงค์เบลนด์และโครงสร้างผลึกแบบเวิร์ทไซท์มีค่าช่องว่างแถบพลังงานเท่ากับ 2.5 และ 2.51 eV ตามลำดับที่อุณหภูมิห้อง

สำนักหอสมุดกลาง พระจอมเกล้าลาดกระบัง



รูปที่ 2.13 แสดง โครงสร้างแถบพลังงานแบบตรงของ CdS ที่มีโครงสร้างผลึกแบบ เวิร์ทไซด์ โดยไม่คิดการคัปปลิงระหว่างสปิน-ออร์บิต



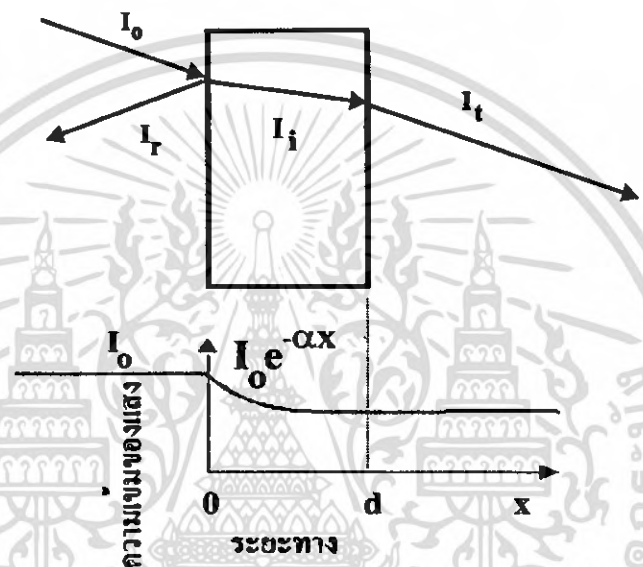
รูปที่ 2.14 แสดง โครงสร้างแถบพลังงานแบบตรงของ CdS ที่มีโครงสร้างผลึกแบบซิงค์เบลนด์ โดยไม่คิดการคัปปลิงระหว่างสปิน-ออร์บิต

76634

เอกสารนี้เป็นเอกสารที่สงวนไว้สำหรับการใช้งานเพื่อการศึกษาเท่านั้น ไม่อนุญาตให้นำไปใช้ประโยชน์ด้านการค้าไม่ว่ากรณีใดๆ ทั้งสิ้น อีกทั้งห้ามมิให้ดัดแปลงเนื้อหา และต้องอ้างอิงถึงเจ้าของเอกสารทุกครั้งที่มีการนำไปใช้

2.3 การส่งผ่านแสง [จามนิตย์ และคณะ, 2543; สุทินัย และคณะ, 2546]

การศึกษาวิธีวัดสเปกตรัมการสะท้อนและการส่งผ่านแสงนี้จะกล่าวถึงสัมประสิทธิ์การส่งผ่านแสงและองค์ประกอบของการวัดสเปกตรัมการส่งผ่านแสง เมื่อแสงเดินทางไปกระทบฟิล์มบาง แสงบางส่วนจะสะท้อนกลับที่ผิวของฟิล์มบาง บางส่วนของแสงจะเดินทางเข้าไปในแผ่นฟิล์มบางและถูกดูดกลืนดังรูปที่ 2.15



รูปที่ 2.15 แสดงภาพจำลองเมื่อแสงตกกระทบลงบนแผ่นฟิล์มบาง

เมื่อ	$I_0$	คือ	ความเข้มแสงตกกระทบแผ่นฟิล์มบาง
	$I_r$	คือ	ความเข้มแสงสะท้อนจากฟิล์มบาง
	$I_t$	คือ	ความเข้มแสงส่งผ่านออกมาจากฟิล์มบาง
	$I_i$	คือ	ความเข้มแสงที่เดินทางเข้าสู่แผ่นฟิล์มบาง
	R	คือ	สัมประสิทธิ์การสะท้อนแสง (reflectivity)
	T	คือ	สัมประสิทธิ์การส่งผ่านแสง (transmittance)
	$\alpha$	คือ	สัมประสิทธิ์การดูดกลืนแสง (absorption coefficient)
	d	คือ	ระยะทางที่แสงเดินทางในแผ่นฟิล์มบาง

สัมประสิทธิ์การสะท้อนของแสงมีค่าเท่ากับ

$$R = \frac{I_r}{I_0} \tag{2.4}$$

เอกสารนี้เป็นเอกสารที่สงวนไว้สำหรับการใช้งานเพื่อการศึกษาเท่านั้น ไม่อนุญาตให้นำไปใช้ประโยชน์ด้านการค้า ไม่ว่ากรณีใดๆ ทั้งสิ้น อีกทั้งห้ามมิให้ดัดแปลงเนื้อหา และต้องอ้างอิงถึงเจ้าของเอกสารทุกครั้งที่มีการนำไปใช้

หรือ

$$I_r = RI_0 \quad (2.5)$$

เพราะฉะนั้น ความเข้มแสงที่เดินทางเข้าสู่แผ่นฟิล์มบางมีค่า

$$I_i = I_0 - I_r = I_0 - RI_0 = (1 - R)I_0 \quad (2.6)$$

เมื่อแสงนี้เดินทางเข้าสู่แผ่นฟิล์มบางจะถูกดูดกลืนทำให้ความเข้มแสงภายในแผ่นฟิล์มบางลดลงแบบเอ็กซ์โปเนนเชียลตามระยะทาง ดังนั้นความเข้มแสงที่ส่งผ่านฟิล์มบางมีค่าดังสมการ

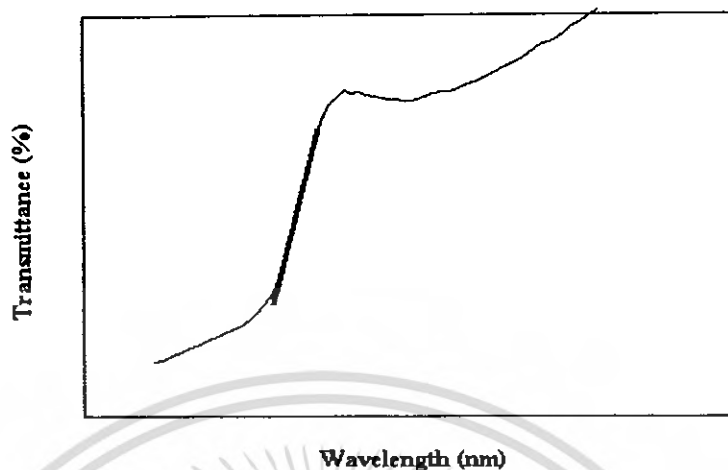
$$I_t = I_i e^{-\alpha d} = (1 - R)I_0 e^{-\alpha d} \quad (2.7)$$

ถ้าไม่มีการสะท้อนแสงที่ผิวด้านหลังสัมประสิทธิ์การส่งผ่านของแสงจะมีค่าเท่ากับ

$$T = \frac{I_t}{I_0} = (1 - R)e^{-\alpha d} \quad (2.8)$$

### 2.3.1 การหาค่าช่องว่างแถบพลังงานจากสเปกตรัมการส่งผ่านแสง

การดูดกลืนแสงในสารกึ่งตัวนำเกิดจากการที่อิเล็กตรอนได้รับพลังงานจากแสงที่มีพลังงานโฟตอนสูงกว่าค่าแถบช่องว่างพลังงาน แล้วย้ายสถานะพลังงานจากแถบวาเลนซ์ขึ้นไปสู่แถบนำ สเปกตรัมการดูดกลืนแสงบริเวณที่พลังงานโฟตอนมีค่าน้อยจะมีลักษณะเป็นขอบ แสดงถึงการลดลงของการดูดกลืนแสงอย่างกะทันหัน ขอบลักษณะนี้เรียกว่าขอบการดูดกลืนแสงหรือขอบการดูดกลืนพื้นฐาน (absorption edge or fundamental edge) แสดงได้ดังรูปที่ 2.16 พลังงานโฟตอนที่ขอบการดูดกลืนแสงมีค่าเท่ากับผลต่างของค่าพลังงานที่วัดจากจุดต่ำสุดของแถบความนำและจุดสูงสุดของแถบวาเลนซ์จุดที่เส้นตรงตัดกับแกนในแนวนอนจะให้ค่าช่องว่างแถบพลังงาน ( $E_g$ ) วิธีการนี้เป็นการกำหนดค่าช่องว่างแถบพลังงานของสารกึ่งตัวนำที่นิยมนมากที่สุด



รูปที่ 2.16 กราฟแสดงความสัมพันธ์ระหว่างเปอร์เซ็นต์การส่งผ่านแสงกับความยาวคลื่น โดยเส้นที่แสดงขอบการดูดกลืนพื้นฐาน

การหาค่าของช่องว่างแถบพลังงานสามารถพิจารณาได้จากสัมประสิทธิ์การดูดกลืนแสง ( $\alpha$ ) ของสารถึงตัวนำจะสัมพันธ์กับค่าสัมประสิทธิ์การส่งผ่านแสง (T) จากรูปที่ 2.15 แสดงภาพจำลองเมื่อแสงตกกระทบบนด้านซ้ายของฟิล์มบาง ( $I_0$ ) ความเข้มแสงภายในฟิล์มบางจะลดลงแบบเอ็กซ์โปเนนเชียล และมีค่าสัมประสิทธิ์การส่งผ่านแสง โดยทั่วไป (R) มีค่าน้อยมากจะได้

$$T = e^{-\alpha d} \quad (2.9)$$

ดังนั้น

$$\alpha = -\frac{1}{d} \ln T \quad (2.10)$$

ที่กล่าวมา เป็นการคำนวณหาสัมประสิทธิ์การดูดกลืนแสงจากสัมประสิทธิ์การส่งผ่านแสง โดยไม่คิดถึงการสะท้อนของแสงสำหรับกรณีการคำนวณสัมประสิทธิ์การดูดกลืนแสง เนื่องจากการย้ายสถานะพลังงานของอิเล็กตรอนแสดงเป็นกราฟความสัมพันธ์ระหว่างสัมประสิทธิ์การดูดกลืนแสงกับค่าช่องว่างแถบพลังงาน ซึ่งมีลักษณะเป็นพาราโบลาช่องว่างแถบพลังงานของแผ่นฟิล์มบางประมาณได้ โดยการคำนวณสัมประสิทธิ์การดูดกลืนแสง ซึ่งจะถูกลดลงเมื่อแสงที่ตกกระทบบนแผ่นฟิล์มบางมีค่าพลังงานโฟตอนสูงกว่าค่าของแถบพลังงานต้องห้ามที่ขอบของการดูดกลืนค่าสัมประสิทธิ์การดูดกลืนจะมีค่าเป็น

$$(ah\nu)^2 = A(h\nu - E_g) \quad (2.11)$$

เอกสารนี้เป็นเอกสารที่สงวนไว้สำหรับการใช้งานเพื่อการศึกษาเท่านั้น ไม่อนุญาตให้นำไปใช้ประโยชน์ด้านการค้าไม่ว่ากรณีใดๆ ทั้งสิ้น อีกทั้งห้ามมิให้ดัดแปลงเนื้อหา และต้องอ้างอิงถึงเจ้าของเอกสารทุกครั้งที่มีการนำไปใช้

เมื่อ A คือ ค่าคงที่ และสมการที่ (2.11) ใช้กับสารที่มีสถานะพลังงานแบบตรง

$$(\alpha h \nu)^2 = B(h \nu - E_g) \quad (2.12)$$

เมื่อ B คือ ค่าคงที่ และสมการที่ (2.12) ใช้กับสารที่มีสถานะพลังงานแบบเฉียง

#### 2.4 สมบัติทางไฟฟ้า [จามนิตย์ และคณะ, 2543; จูตินัย และคณะ, 2546]

จากทฤษฎีแถบพลังงานนั้นสารกึ่งตัวนำที่มีขนาดช่องว่างแถบพลังงานใหญ่เกินกว่า 2 อิเล็กตรอน โวลต์ พลังงานความร้อนที่อุณหภูมิต่ำไม่เพียงพอที่จะกระตุ้นให้เกิดพาหะอิสระได้ ดังนั้นพาหะอิสระของสารกึ่งตัวนำประเภทนี้จึงน้อยส่วนใหญ่มาจากระดับพลังงานที่ปรากฏในช่องว่างแถบพลังงาน ซึ่งจะเป็นทั้งระดับพลังงานผู้ให้และระดับพลังงานผู้รับหรือศูนย์กลางการรวมตัวของพาหะ (recombination center) ดังนั้นสภาพนำไฟฟ้าที่อุณหภูมิต่ำของสารกึ่งตัวนำจึงขึ้นกับความหนาแน่นของพาหะอิสระเหล่านี้

##### 2.4.1 สภาพนำไฟฟ้า

เมื่อใส่สนามไฟฟ้าเข้าไปในสารกึ่งตัวนำอิเล็กตรอนที่อยู่ในแถบนำจะตอบสนองต่อสนามไฟฟ้าเกิดการเคลื่อนที่ของอิเล็กตรอนกลายเป็นกระแสไฟฟ้าจากกฎของ โอห์ม (Ohm's Law) สภาพนำไฟฟ้า (electrical conductivity:  $\sigma$ ) คือ อัตราส่วนของความหนาแน่นกระแสไฟฟ้า (current density :  $J$ ) ต่อสนามไฟฟ้า (electric field) ที่ใส่เข้าไปดังสมการ

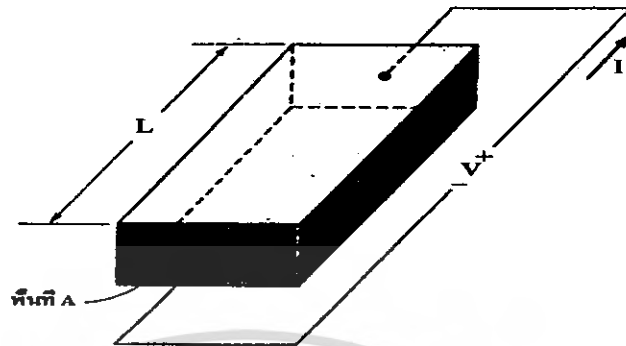
$$J = \sigma E = e(\mu_n n + \mu_p p)E \quad (2.13)$$

เมื่อ  $\mu_n, \mu_p$  คือ สภาพคล่องของอิเล็กตรอนและโฮล ตามลำดับ  
 $n$  คือ ความหนาแน่นของอิเล็กตรอน  
 $p$  คือ ความหนาแน่นของโฮล

ส่วนกลับของสภาพนำไฟฟ้า เรียกว่า สภาพต้านทาน ไฟฟ้า (resistivity:  $\rho$ ) ซึ่งสามารถเขียนได้เป็น

$$\rho = \frac{1}{\sigma} = \frac{1}{e(\mu_n n + \mu_p p)} \quad (2.14)$$

เอกสารนี้เป็นเอกสารที่สงวนไว้สำหรับการใช้งานเพื่อการศึกษาเท่านั้น ไม่อนุญาตให้นำไปใช้ประโยชน์ด้านการค้าไม่ว่ากรณีใดๆ ทั้งสิ้น อีกทั้งห้ามมิให้ดัดแปลงเนื้อหา และต้องอ้างอิงถึงเจ้าของเอกสารทุกครั้งที่มีการนำไปใช้



รูปที่ 2.17 แสดงการจ่ายแรงดันให้กับสารกึ่งตัวนำ

ถ้ามีแท่งสารกึ่งตัวนำ ดังรูปที่ 2.17 ซึ่งให้แรงดันและเกิดกระแส  $I$  แล้วจะได้ว่า

$$J = \frac{I}{A} \quad (2.15)$$

และ

$$E = \frac{V}{L} \quad (2.16)$$

สามารถเขียนสมการที่(2.16) ใหม่ได้เป็น

$$\frac{I}{A} = \sigma \left( \frac{V}{L} \right) \quad (2.17)$$

หรือ

$$V = \left( \frac{L}{\sigma A} \right) I = \left( \frac{\rho L}{A} \right) I = IR \quad (2.18)$$

สมการที่ (2.18) คือ กฎของ โอห์มสำหรับสารกึ่งตัวนำ

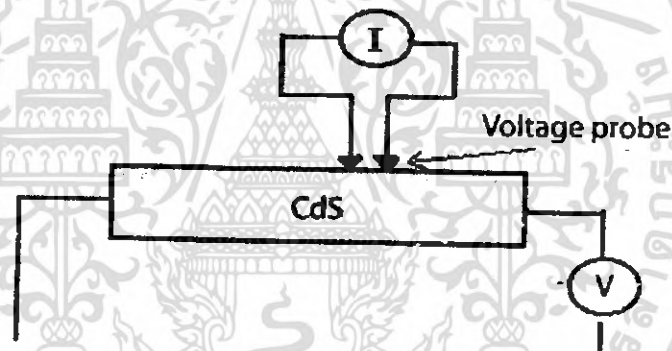
เอกสารนี้เป็นเอกสารที่สงวนไว้สำหรับการใช้งานเพื่อการศึกษาเท่านั้น ไม่อนุญาตให้นำไปใช้ประโยชน์ด้านการค้า  
ไม่ว่ากรณีใดๆ ทั้งสิ้น อีกทั้งห้ามมิให้ดัดแปลงเนื้อหา และต้องอ้างอิงถึงเจ้าของเอกสารทุกครั้งที่มีการนำไปใช้

## 2.4.2 การวัดสภาพต้านทานไฟฟ้า

วิธีการวัดสภาพต้านทานไฟฟ้าของสารกึ่งตัวนำสามารถกระทำได้หลายวิธีทั้งวิธีที่ใช้ส่วนของอุปกรณ์ต่อเข้าสัมผัสกับชิ้นสารตัวอย่างและวิธีที่ไม่ต้องสัมผัส โดยตรงสำหรับวิธีที่จะกล่าวถึงในที่นี้เป็นวิธีที่ใช้การสัมผัสกับชิ้นสารตัวอย่าง ซึ่งทำโดยการผ่านกระแสไฟฟ้าเข้าไปในชิ้นสารตัวอย่างแล้ววัดความต่างศักย์ระหว่างจุดสองจุดบนชิ้นสารนั้น

### 2.4.2.1 การวัดความต้านทานจำเพาะโดยวิธีสองขั้วเชิงเส้น

การวัดด้วยวิธีนี้มีลักษณะการวัดคล้ายคลึงกับการวัดโดยตรงข้อแตกต่างตรงที่ลักษณะของ ขั้วไฟฟ้าของการวัดศักย์ไฟฟ้าจะวัดบนสารตัวอย่าง ดังแสดงให้เห็นในรูปที่ 2.18 วิธีวัดชนิดนี้เป็นวิธีที่พัฒนาขึ้นจากแบบแรก เพื่อที่จะกำจัดศักย์ไฟฟ้าที่รอยต่อหัวท้ายของผิวสัมผัสให้น้อยลงและสามารถตรวจสอบความสกรปรกบนพื้นผิวของชิ้นสารตัวอย่างได้ด้วย



รูปที่ 2.18 การวัดค่าสภาพต้านทานไฟฟ้าโดยวิธีสองขั้วเชิงเส้น

ข้อจำกัดของการวัดด้วยวิธีนี้ คือ จะต้องวัดบนสารตัวอย่างที่มีความหนาสม่ำเสมอและมีรูปทรงเรขาคณิตแน่นอน โดยพยายามปล่อยให้กระแสผ่านเข้าไปในสารตัวอย่างให้น้อยที่สุดเพื่อป้องกันไม่ให้เกิดความร้อนภายในสารเพราะค่าความต่างศักย์ที่วัดได้อาจจะไม่ถูกต้องอีกทั้งในการวัดทุกครั้งจะต้องใช้โวลต์มิเตอร์ที่มีค่าอิมพีแดนซ์สูงและจุดที่ต้องการวัดศักย์ไฟฟ้าควรจะต้องอยู่ห่างจากจุดที่ปล่อยกระแสเข้าและออกพอสมควรเพื่อป้องกันสารเจือเข้าไปทำการรวมตัวระหว่างจุดที่กำลังจะวัดค่าความต่างศักย์ไฟฟ้า หากมีสารเจือเข้ามารวมตัวที่บริเวณที่วัดนี้จะมีผลทำให้เกิดการรวมตัวกับพาหะข้างน้อย (minority carriers) บริเวณนั้น ทำให้การวัดค่าความต้านทานจำเพาะที่วัดได้สูงเกินความเป็นจริง นอกจากนี้ควรคำนึงถึงความสม่ำเสมอของเส้นสมศักย์ (equi-potential lines) โดยการวัดที่บริเวณตรงจุดที่คิดว่าเป็นเส้นสมศักย์นั้นสม่ำเสมอ (ตรงกลางของสารตัวอย่าง) สักส่วนระหว่างระยะขั้วที่วัดศักย์ไฟฟ้าต่อพื้นที่ตรงจุดที่ปล่อยกระแสเข้า-ออกจะต้องมีค่ามากกว่า

เอกสารนี้เป็นเอกสารที่สงวนไว้สำหรับการใช้งานเพื่อการศึกษาเท่านั้น ไม่อนุญาตให้นำไปใช้ประโยชน์ด้านการค้าไม่ว่ากรณีใดๆ ทั้งสิ้น อีกทั้งห้ามมิให้ดัดแปลงเนื้อหา และต้องอ้างอิงถึงเจ้าของเอกสารทุกครั้งที่มีการนำไปใช้

สามเท่า  $L/A > 3$  เมื่อ  $L$  คือ ระยะห่างระหว่างขั้วที่วัดศักย์ไฟฟ้า และ  $A$  คือ พื้นที่บริเวณให้กระแส  
 ข้อที่ควรคำนึงถึงอีกประการก็ คือ โครงสร้างทางผลึกว่ามีโครงสร้างชนิดใดเป็นรูปลูกบาศก์หรือไม่  
 ถ้าไม่ใช่จะต้องทราบทิศทางของการวัดว่ากำลังวัดอยู่ในทิศทางหรือระนาบใดของผลึก

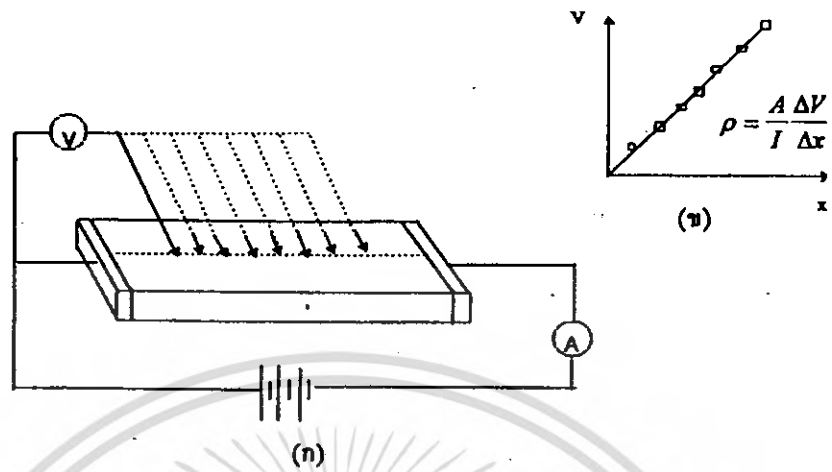
ข้อดีของการวัดแบบสองขั้วในหลายๆตำแหน่งนี้จะสามารถแยกสภาพต้านทานไฟฟ้าที่  
 สภาพผิวระหว่างโลหะกับสารกึ่งตัวนำและความต้านทานจำเพาะภายในของสารกึ่งตัวนำได้

**สรุปข้อแนะนำในการวัดค่าความต้านทานจำเพาะแบบสองขั้วเชิงเส้น**

- วัดศักย์ไฟฟ้าที่บริเวณกึ่งกลางของสารตัวอย่างและห่างจากบริเวณกระแสเข้า-ออกพอสมควร
- โลหะที่นำมาใช้เป็นขั้วไฟฟ้าที่ใช้วัดความต่างศักย์ไฟฟ้าบนสารตัวอย่างนั้น จะต้องเป็นโลหะ  
 แข็งและนำไฟฟ้าได้ดี เช่น ทังสเตน เงิน พลาตินัม เป็นต้น
- ขณะที่ทำการวัดสารตัวอย่าง จะต้องทราบระนาบหรือทิศทางของผลึกสารตัวอย่าง ว่ากำลังวัด  
 อยู่ในระนาบหรือทิศทางใดของสารตัวอย่าง
- ผลึกที่ทำการวัดจะต้องมีความสมบูรณ์ไม่เกิดขอบเขตของเกรน (grain boundaries) ที่ผิวและมี  
 ความเป็นเนื้อเดียวกันตลอดทั้งก้อนผลึก

**ข้อแก้ไข**

- ควรทำการวัดหลายๆจุดและต้องใช้ความระมัดระวังเพราะอาจทำให้สารตัวอย่างเกิดความเสี  
 หายได้ซึ่งจะส่งผลไปถึงปรากฏการณ์ภายในสารตัวอย่าง
- ระยะระหว่างขั้วไฟฟ้าควรจะให้สั้นๆเพื่อจะได้วัดตรงจุดที่มีเส้นสมศักย์
- วัดบนสารตัวอย่างที่ใหญ่และมีรูปร่างทรงเรขาคณิตที่แน่นอน
- อาจจะแก้ไขด้วยวิธีครั้งที่ขั้วหนึ่งและอีกขั้วหนึ่งเลื่อนตำแหน่งออกไปเป็นระยะๆ โดยมีมาตรา  
 ส่วนบอกระยะแล้วนำมาเขียนกราฟจะได้ดังรูปที่ 2.19(ก) และ (ข) ความชันที่ได้จะเป็นค่าความ  
 ต้านทานจำเพาะทางไฟฟ้า



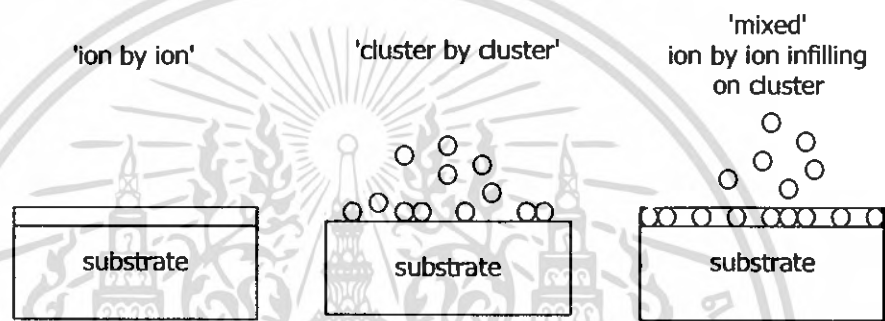
รูปที่ 2.19 แสดงการวัดความต้านทานแผ่น โดยวิธีสองขั้วเชิงเส้น

ก. การวัดแบบสองขั้วโดยมีการเลื่อนระยะที่ขั้วหนึ่ง

ข. กราฟความสัมพันธ์ระหว่างความต่างศักย์กับระยะทางที่ได้จากการวัดชนิดเลื่อนขั้วไฟฟ้า

2.5 การเตรียมและศึกษาคุณสมบัติของฟิล์มบาง CdS ด้วยวิธีการอาบสารละลายเคมี [Lee, 2003, 2004; งานนิตย์ และคณะ, 2543; อูตินัย และคณะ, 2546]

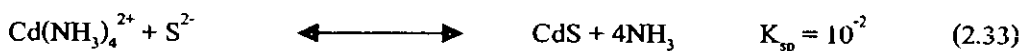
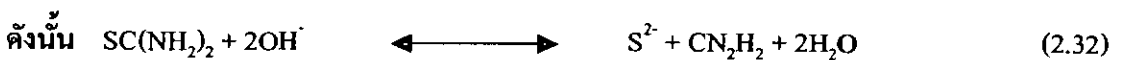
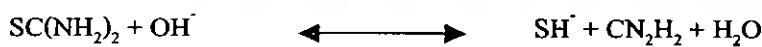
ฟิล์มบาง CdS ที่เตรียมโดยวิธีการอาบสารละลายเคมีสารตั้งต้นประกอบด้วยแคดเมียมซัลเฟต (CdSO<sub>4</sub>) ซึ่งเป็นแหล่งกำเนิดของแคดเมียมไอออน (Cd<sup>2+</sup>) ไทโอยูเรีย (SC(NH<sub>2</sub>)<sub>2</sub>) ซึ่งเป็นแหล่งกำเนิดของซัลเฟอร์ไอออน (S<sup>2-</sup>) และแอมโมเนีย (NH<sub>3</sub>) โดยเลือกใช้ความเข้มข้นของสารตั้งต้นให้เหมาะสม ได้ค่า pH ประมาณ 10-11 และอุณหภูมิประมาณ 80-90°C โดยในกระบวนการเคลือบฟิล์มบาง CdS คาดว่าจะเกิดปฏิกิริยาดังนี้



รูปที่ 2.20 แผนภาพแสดงกลไกในการเกิดผลึกเป็นฟิล์มบางที่เตรียมโดยใช้เทคนิคการอาบสารละลายทางเคมี  
 ก. กระบวนการเฮเทอโรจีเนียส  
 ข. กระบวนการโฮโมจีเนียส  
 ค. กระบวนการผสมระหว่างเฮเทอโรจีเนียสและ โฮโมจีเนียส

2.5.1 กระบวนการเกิดปฏิกิริยา

ฟิล์มบาง CdS เกิดจากเกลือแคดเมียมในสารละลาย NH<sub>3</sub> โดยเกิดปฏิกิริยาดังนี้



จาก (2.31) เกลือ  $\text{CdSO}_4$  แยกตัวให้  $\text{Cd}^{2+}$  จะรวมตัวกับแอมโมเนีย  $\text{NH}_3$  กลายเป็นไอออนเชิงซ้อนที่เรียกว่าแควมเมียมเตตระแอมมีน (Cadmium Tetraammine Complex ion;  $\text{Cd}(\text{NH}_3)_4^{2+}$ ) จากนั้นแยกตัวให้  $\text{Cd}^{2+}$  แล้วรวมตัวกับ  $\text{S}^{2-}$  เกินกว่าค่าผลของความสามารถในการละลาย (solubility product;  $K_{sp}$ ) ของ  $\text{CdS}$  ซึ่งมีค่าเท่ากับ  $7.1 \times 10^{-28}$  ก็ปรากฏกอลลอยด์ของแควมเมียมซัลไฟด์ขึ้นในสารละลาย

โดยปกติ  $\text{NH}_3$  จะทำหน้าที่เป็นตัวควบคุมความเข้มข้นของ  $\text{Cd}^{2+}$  ดังนั้นจึงนิยมใช้  $\text{NH}_3$  ที่มีความเข้มข้นมากเพื่อไม่ให้ความเข้มข้นของ  $\text{Cd}^{2+}$  และ  $\text{S}^{2-}$  มีค่าเกินกว่าค่าผลของความสามารถในการละลายของ  $\text{Cd}(\text{OH})_2$  ซึ่งมีค่าเท่ากับ  $1.2 \times 10^{-14}$  เพราะจะทำให้เกิดเป็นกอลลอยด์ของ  $\text{Cd}(\text{OH})_2$  แทนที่จะเป็น  $\text{CdS}$  ดังสมการ (2.34)



การเกิดฟิล์มบาง  $\text{CdS}$  ประกอบด้วยสามกลไกด้วยกัน คือ

1. การจับ  $\text{Cd}(\text{OH})_2$  ที่ผิวแผ่นรองรับ



ซึ่งปฏิกิริยาสามารถผันกลับได้ ความเข้มข้นของ  $\text{NH}_3$  ประมาณ 0.8 – 2.5 โมลาร์

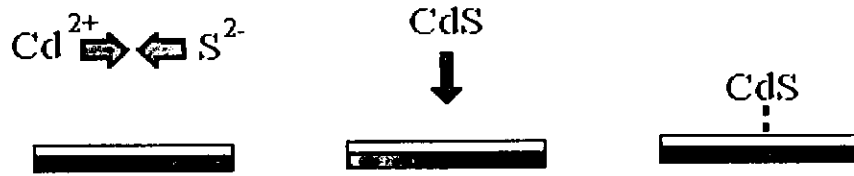
2. การจับไทโอยูเรียเอาไว้โดยทำให้เกิดองค์ประกอบเชิงซ้อนที่ไม่เสถียร



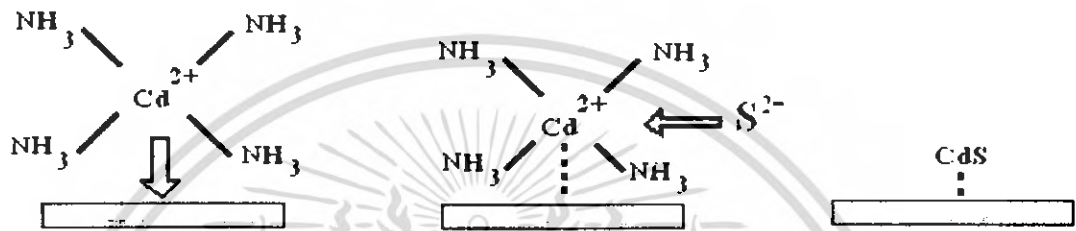
3. การเกิด  $\text{CdS}$  และการเกิดที่อยู่ใหม่โดยการแตกตัวขององค์ประกอบเชิงซ้อน



การเกิดฟิล์มบางในสมการ (2.31) ถึง (2.33) เรียกว่า การตกผลึกแบบโฮโมจีเนียส (homogenous precipitation) หรือ การตกผลึกแบบกลุ่มก้อนต่อกลุ่มก้อน (cluster by cluster) ดังแสดงตามรูปที่ 2.21 ส่วนสมการ (2.34) ถึง (2.36) เรียกว่าแบบเฮเทอโรจีเนียส (heterogenous precipitation) หรือการตกผลึกแบบไอออนต่อไอออน (ion by ion) ดังแสดงตามรูปที่ 2.22



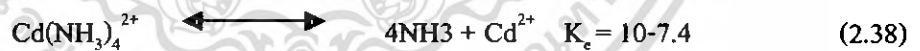
รูปที่ 2.21 แสดงการเกิดฟิล์ม CdS บนฐานรองรับโดยกระบวนการไฮโมจีเนียส



รูปที่ 2.22 แสดงการเกิดฟิล์ม CdS บนฐานรองรับโดยกระบวนการเฮทเทอโรจีเนียส

2.5.2 การเกิดฟิล์มบาง CdS บนแผ่นรองรับ

เนื่องจากความสามารถในการละลายของ CdS มีค่าต่ำ ดังนั้นการควบคุมการตกผลึกสามารถทำได้โดยการควบคุม Cd<sup>2+</sup> ต้องเลือกตัวแทนเชิงซ้อน (complex agent) ซึ่งในที่นี้จะใช้ NH<sub>3</sub> เพื่อควบคุมความเข้มข้นของ Cd<sup>2+</sup> โดยให้ NH<sub>3</sub> รวมตัวกับ Cd<sup>2+</sup> กลายเป็นไอออนเชิงซ้อน ดังสมการ (2.31) ถึง (2.38) ซึ่งไอออนเชิงซ้อนจะแตกตัวให้ไอออนอิสระดังสมการ



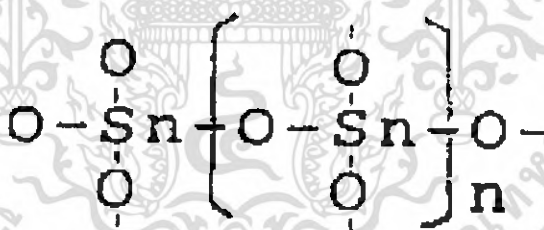
เมื่อพิจารณาค่าของ K<sub>sp</sub> และค่าคงที่สมดุล K<sub>c</sub> จะเห็นว่า CdS สามารถตกผลึกได้ง่ายโดยทั่วไป การเกิดฟิล์มบาง CdS มักเกิดผลึก แบบ ไฮโมจีเนียสและ แบบเฮทเทอโรจีเนียส ซึ่งการเกิดแบบ ไฮโมจีเนียส มักจะพบมากในช่วงท้ายของการเกิดฟิล์มบางมีผลทำให้ฟิล์มบางมีคุณภาพลดลง กล่าวคือโปร่งแสงน้อยลง และมีความหนาไม่สม่ำเสมอ ผิวค้ำนอกหลุดกร่อนได้ง่าย

## 2.6 การเตรียมฟิล์มบางคีนุกออกไซด์ด้วยวิธีการพ่นละอองสารเคมีที่เกิดจากการสั่นด้วยคลื่น อัลตราโซนิก [งามนิตย์ และคณะ, 2549]

การพ่นละอองสารเคมีที่เกิดจากการสั่นด้วยคลื่นอัลตราโซนิก (ultrasonic spray pyrolysis) คือ กรรมวิธีแบบหนึ่งที่ใช้ในการปลูกฟิล์มบางโดยการพ่นละอองสารลงบนฐานรองที่ ถูกให้ความร้อนละอองสารจะไปก่อตัวเป็นฟิล์มบางบนกระจกสไลด์

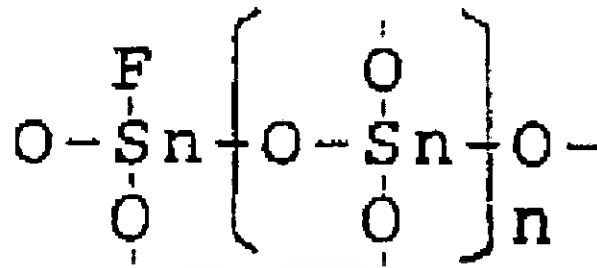
### 2.6.1 กระบวนการการเกิดปฏิกิริยาเคมีภายในสารละลาย

ในการเตรียมฟิล์มบางคีนุกออกไซด์ด้วยวิธีการพ่นละอองสารเคมีสารตั้งต้นที่เป็นสารละลายจะอยู่ในรูปพอลิเมอร์ Sn-O ดังที่แสดงในรูปที่ 2.23 ซึ่งกระบวนการ ในการเกิดปฏิกิริยาเคมีจะเป็นไปตามสมการที่ (2.39) และ (2.40)

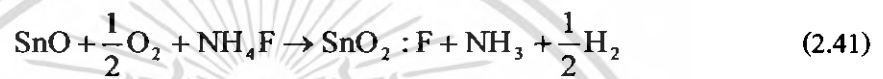


รูปที่ 2.23 แสดงลักษณะ โมเลกุลที่เกิดขึ้นภายในสารละลาย

กรณีที่มีการเจือด้วยอะตอมของฟลูออรีน(F) อะตอมของฟลูออรีนจะเข้าไปแทนที่ออกซิเจนบางตัวใน โมเลกุลของ  $\text{SnO}_2$  จะทำให้เกิดเป็น  $\text{SnO}_2: \text{F}$  ดังรูปที่ 2.24 การเกิดปฏิกิริยานั้นจะเป็นไปตามสมการที่ (2.41)

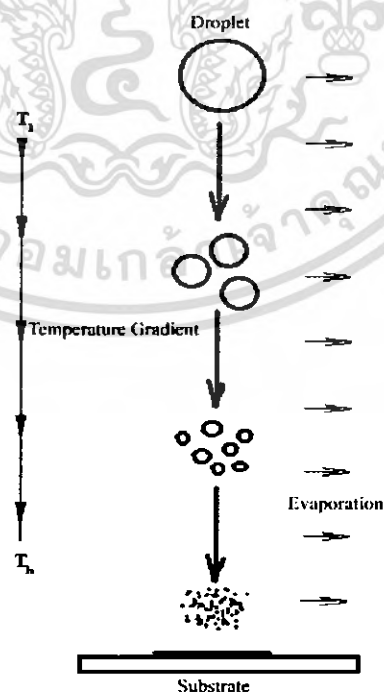


รูปที่ 2.24 ลักษณะของ โมเลกุลของ  $\text{SnO}_2$  ที่เจือปนด้วย F



### 2.6.2 กระบวนการการเกิดที่อ้อมทาง

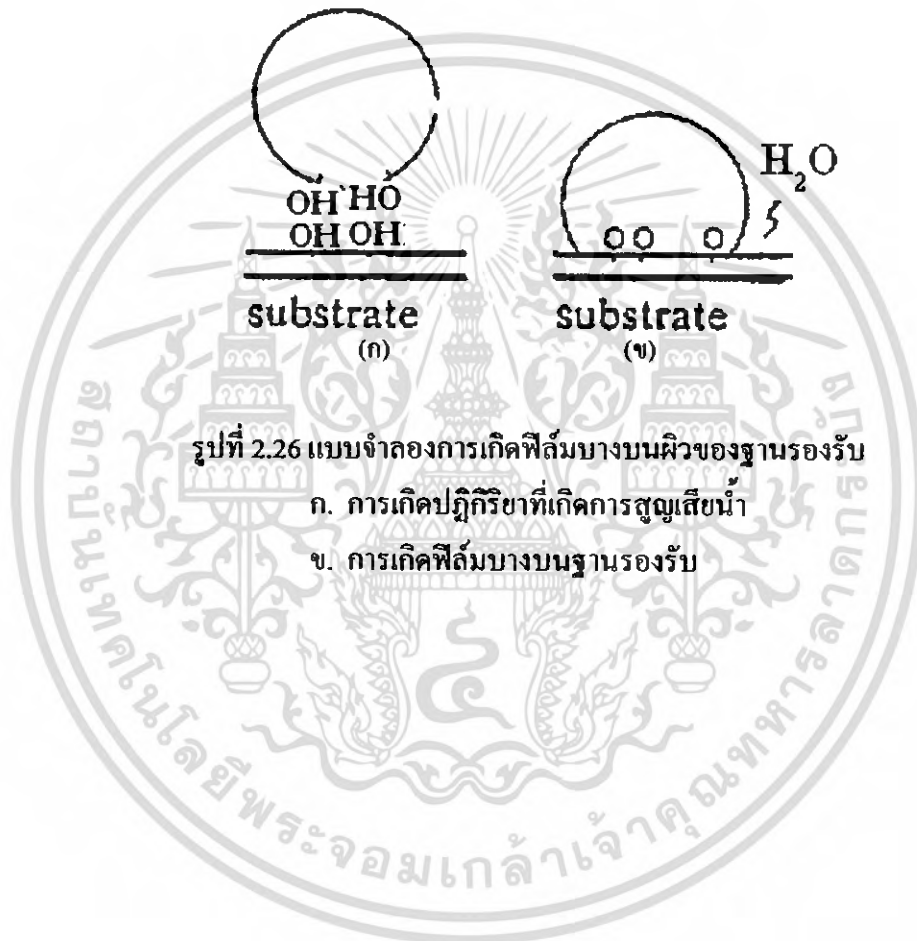
เมื่อสารละลายถูกทำให้กลายเป็น โมเลกุลขนาดเล็ก โดยวิธีการใช้อัลตราโซนิกช่วยหรือวิธีการใช้ลมอค์ก็ตามนั้น เมื่อหยดของสารละลายเข้าใกล้ฐานรองรับมากขึ้นอุณหภูมิ บริเวณใกล้กับฐานรองรับก็จะมีค่าสูงขึ้นด้วย เนื่องจากการให้ความร้อนกับฐานรองรับ ซึ่งผลของอุณหภูมิที่สูงขึ้นนี้จะส่งผลให้ขนาดของหยดของสารละลายมีขนาดเล็กลงด้วย เนื่องจากเมื่อหยดของสารละลายได้รับความร้อนจะทำให้สารละลายบางส่วนมีการระเหยออกไปทำให้หยดของสารละลายมีขนาดเล็กลง ดังที่แสดงรูปที่ 2.25

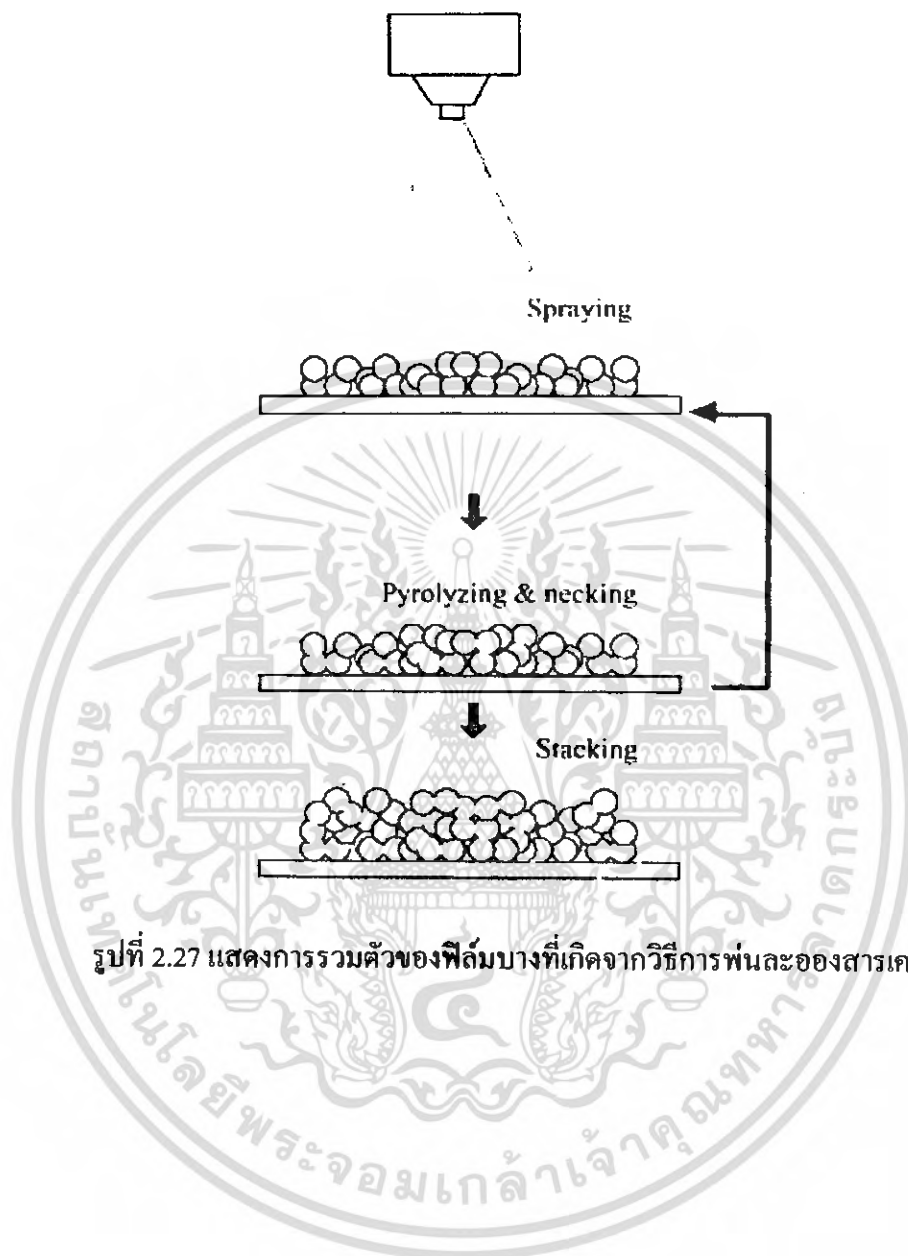


รูปที่ 2.25 แสดงการลดลงของขนาดของหยดสารละลายตามระยะทางจากฐานรองรับ

เอกสารนี้เป็นเอกสารที่สงวนไว้สำหรับการใช้งานเพื่อการศึกษาเท่านั้น ไม่อนุญาตให้นำไปใช้ประโยชน์ด้านการค้าไม่ว่ากรณีใดๆ ทั้งสิ้น อีกทั้งห้ามมิให้ดัดแปลงเนื้อหา และต้องอ้างอิงถึงเจ้าของเอกสารทุกครั้งที่มีการนำไปใช้

เมื่อหยดของสารละลายตกลงบนพื้นผิวของฐานรองรับ หยดของสารละลายจะเกิดปฏิกิริยาการสูญเสียน้ำ (dehydration) ดังแสดงในรูปที่ 2.26 (ก) และจะเกาะกับแผ่นของฐานรองรับดังรูปที่ 2.26 (ข) เมื่อปริมาณของหยดสารละลายที่จับอยู่บนพื้นผิวของฐานรองรับมีปริมาณที่มากพอ อีกทั้งยังได้รับความร้อนจากแผ่นฐานรองรับทำให้แต่ละหยดของสารละลายที่เกาะอยู่บนพื้นผิวของฐานรองรับนั้นเกิดการเชื่อมต่อกันและเมื่อมีปริมาณมากขึ้นจะทำให้เกิดการรวมตัวกันขึ้นเป็นเนื้อฟิล์มในที่สุดซึ่งกระบวนการดังกล่าวแสดงในรูปที่ 2.27





รูปที่ 2.27 แสดงการรวมตัวของฟิล์มบางที่เกิดจากวิธีการพ่นละอองสารเคมี

เอกสารนี้เป็นเอกสารที่สงวนไว้สำหรับการใช้งานเพื่อการศึกษาเท่านั้น ไม่อนุญาตให้นำไปใช้ประโยชน์ด้านการค้า  
ไม่ว่ากรณีใดๆ ทั้งสิ้น อีกทั้งห้ามมิให้ดัดแปลงเนื้อหา และต้องอ้างอิงถึงเจ้าของเอกสารทุกครั้งที่มีการนำไปใช้

## บทที่ 3

### วิธีการดำเนินงานวิจัย

ในโครงการพิเศษนี้เป็นการศึกษาการเตรียมฟิล์มบางแคดเมียมซัลไฟด์ที่ทำการเจือด้วยฟลูออรีน (CdS:F) ด้วยวิธีออบสารละลายเคมี บนกระจกที่เคลือบด้วยดีบุกออกไซด์ที่ทำการเจือด้วยฟลูออรีน (SnO<sub>2</sub>:F) ที่มีปริมาณสารเจือ [F]/[Sn] เท่ากับ 20 wt % พร้อมทั้งศึกษาคุณสมบัติทางฟิสิกส์ต่างๆ ได้แก่ ศึกษา โครงสร้างและขนาดของเกรนของฟิล์มด้วยวิธีการเลี้ยวเบนของรังสีเอ็กซ์ ศึกษา ลักษณะ โครงสร้างพื้นผิวของฟิล์มบางด้วยกล้องจุลทรรศน์อิเล็กตรอนแบบส่องกราด ศึกษา การส่องผ่านทางแสงด้วยเครื่องสเปกโตรโฟโตมิเตอร์และศึกษาคุณสมบัติทางไฟฟ้า โดยวัดความต้านทานแผ่นด้วยวิธีสองขั้วเชิงเส้นซึ่งประกอบด้วยรายละเอียดดังต่อไปนี้

#### 3.1 วิธีการทดลองและเครื่องมือการวิจัย

##### 3.1.1 อุปกรณ์ที่ใช้ในการเตรียมฟิล์มบาง

- สารตั้งต้นที่ใช้ประกอบไปด้วย
  - อะซิโตน (CH<sub>3</sub>COOH)
  - เอทานอล (C<sub>2</sub>H<sub>5</sub>OH)
  - เมทานอล (C<sub>2</sub>H<sub>3</sub>OH)
  - น้ำปลอดประจุ (DI water)
- แผ่นกระจกสไลด์ 12 x 75 มิลลิเมตร
- บีกเกอร์ขนาด 200 มิลลิลิตร
- เตาให้ความร้อน
- เครื่องควบคุมอุณหภูมิของ SHIMADEN รุ่น PID FP21
- เครื่องอัลตราโซนิก

##### 3.1.2 อุปกรณ์ที่ใช้ในการเตรียมฟิล์มบาง CdS : F โดยวิธีการออบสารละลายเคมี

- สารตั้งต้นที่ใช้ประกอบไปด้วย
  - แคดเมียมซัลไฟด์ (CdSO<sub>4</sub> .8/3H<sub>2</sub>O)
  - ไทโอยูเรีย (SC(NH<sub>2</sub>)<sub>2</sub>)

เอกสารนี้เป็นเอกสารที่สงวนไว้สำหรับการใช้งานเพื่อการศึกษาเท่านั้น ไม่อนุญาตให้นำไปใช้ประโยชน์ด้านการค้า  
ไม่ว่ากรณีใดๆ ทั้งสิ้น อีกทั้งห้ามมิให้ดัดแปลงเนื้อหา และต้องอ้างอิงถึงเจ้าของเอกสารทุกครั้งที่มีการนำไปใช้

แอมโมเนีย ( $\text{NH}_3$ ) 25%

แอมโมเนียมฟลูออไรด์ ( $\text{NH}_4\text{F}$ )

น้ำปอดคประจุ (DI water)

- กระจกสไลด์ใช้เป็นแผ่นรองรับฟิล์มบาง
- บีกเกอร์ขนาด 200 มิลลิลิตร
- เตาให้ความร้อน
- แมกเนติกสเตอโรร์
- เทอร์โมมิเตอร์
- เครื่องซังดิจิตอล (ที่มีตำแหน่งทศนิยมละเอียดถึง 4 ตำแหน่ง)
- แท่นยึด

### 3.1.3 อุปกรณ์ที่ใช้ในการศึกษาสมบัติทางค่านฟิสิกส์บางประการของฟิล์มบางที่เตรียมได้

#### 3.1.3.1 อุปกรณ์ที่ใช้ในการตรวจสอบโครงสร้างของฟิล์มบางโดยการเลี้ยวเบนของรังสีเอ็กซ์

ในการศึกษาโครงสร้างของผลึกของฟิล์มบาง โดยการเลี้ยวเบนของรังสีเอ็กซ์ด้วยเครื่องเอ็กซ์เรย์คิฟแฟรคโตรมิเตอร์ ยี่ห้อ Philips รุ่น PW 1830 รังสีเอ็กซ์ย่าน  $\text{CuK}\alpha$  มีความยาวคลื่น 1.5418 อังสตรอมซึ่งใช้กระแส 30 มิลลิแอมป์และความต่างศักย์ 25 กิโลโวลต์

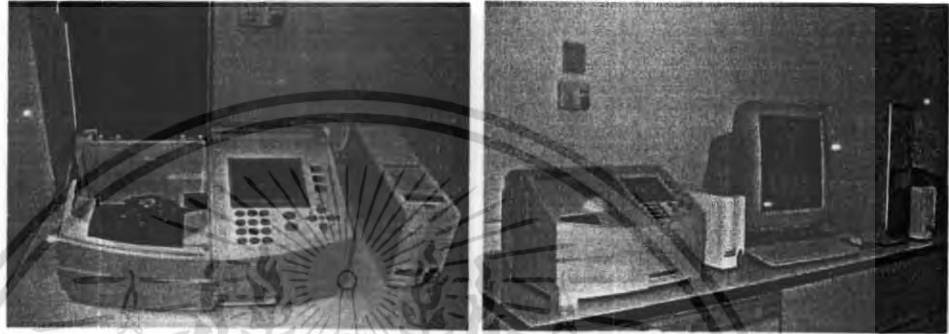


รูปที่ 3.1 แสดงภาพถ่ายเครื่องเอ็กซ์เรย์คิฟแฟรคโตรมิเตอร์: D8 Advance

เอกสารนี้เป็นเอกสารที่สงวนไว้สำหรับการใช้งานเพื่อการศึกษาเท่านั้น ไม่อนุญาตให้นำไปใช้ประโยชน์ด้านการค้า ไม่ว่าจะกรณีใดๆ ทั้งสิ้น อีกทั้งห้ามมิให้ตัดแปลงเนื้อหา และต้องอ้างอิงถึงเจ้าของเอกสารทุกครั้งที่มีการนำไปใช้

### 3.1.3.2 อุปกรณ์ที่ใช้ในการวัดการส่งผ่านทางแสงโดยใช้เครื่องสเปกโตรโฟโตมิเตอร์

ในการศึกษาการส่งผ่านแสงของฟิล์มบางที่เตรียมได้นั้นด้วยเครื่องUV-VIS แบบดับเบิลบีม สเปกโตร โฟ โดมิเตอร์ ยี่ห้อ Thermo electron corporation รุ่น HeLiios  $\alpha$  ช่วง 190-1100 นาโนเมตร



รูปที่ 3.2 แสดงภาพถ่ายเครื่องUV-VIS แบบดับเบิลบีม สเปกโตร โฟ โดมิเตอร์

ยี่ห้อ Thermo electron corporation รุ่น HeLiios $\alpha$

### 3.1.3.3 อุปกรณ์ที่ใช้ในการตรวจสอบโครงสร้างผลึกเชิงมหภาคของฟิล์มบางโดยกล้องจุลทรรศน์อิเล็กตรอนแบบส่องกราด

ในการศึกษาโครงสร้างผลึกเชิงมหภาคของฟิล์มบางที่เตรียมด้วยกล้องจุลทรรศน์อิเล็กตรอนแบบส่องกราด รุ่น LEO 1455 VP กำลังขยาย 5000 เท่า และความต่างศักย์ 25 กิโลโวลต์



รูปที่ 3.3 แสดงภาพถ่ายเครื่อง SEM รุ่น LEO 1455 VP

เอกสารนี้เป็นเอกสารที่สงวนไว้สำหรับการใช้งานเพื่อการศึกษาเท่านั้น ไม่อนุญาตให้นำไปใช้ประโยชน์ด้านการค้า ไม่ว่าจะกรณีใดๆ ทั้งสิ้น อีกทั้งห้ามมิให้ตัดแปลงเนื้อหา และต้องอ้างอิงถึงเจ้าของเอกสารทุกครั้งที่มีการนำไปใช้

### 3.1.3.4 อุปกรณ์ที่ใช้ในการวัดค่าความต้านทานแผ่น

- อิเล็กโตรมิเตอร์ยี่ห้อ Keithley รุ่น 610 CR
- กล่องออสซิลิโสม
- สายโคแอกเชียลและคอนเนคเตอร์แบบ BNC
- หลอดฮาโลเจนชนิด ELH (120 โวลต์ , 300 วัตต์)



รูปที่ 3.4 แสดงภาพถ่ายเครื่องอิเล็กโตรมิเตอร์ยี่ห้อ Keithley รุ่น 610 CR

วิธีการวัดค่าความต้านทานแผ่นในกรณีที่ไม่มีกระแสและมีการฉายแสง

1. นำฟิล์มบาง CdS ที่เจือด้วย F ทั้งที่ไม่มีกระแสและที่มีกระแสที่  $100-500^{\circ}\text{C}$  ภายใต้บรรยากาศของไนโตรเจนเป็นเวลา 20 นาที นำมาทำรอยต่อ โดยใช้กาวเงินแฉ้มลงผิวหน้าของฟิล์มบางจำนวน 2 เส้นขนานกัน เพื่อทำเป็นขั้วไฟฟ้า
2. ทำการจ่ายไฟฟ้ากระแสตรงไปที่กาวเงินทั้ง 2 เส้นจากนั้นวัดค่ากระแสที่แหล่งจ่ายไฟตรงให้กับวงจร
3. นำแผ่นชิ้นงานใส่กล่องโลหะเพื่อลดสัญญาณรบกวน แล้วบันทึกค่าความต่างศักย์ที่ตกคร่อมขั้วทั้งสองพร้อมทั้งบันทึกค่ากระแสที่ไหลภายในวงจรกระแสที่วัดได้อยู่ในช่วง  $10^7-10^8$  แอมแปร์
4. เพิ่มแรงดันที่จ่ายให้กับวงจร พร้อมทั้งบันทึกค่าความต่างศักย์ที่เปลี่ยนแปลงกับกระแส โดยทำการวัดค่าความต้านทานประมาณ 10 ค่า
5. ฉายแสงด้วยหลอดไฟชนิดฮาโลเจน ELH ขนาด 120 โวลต์ 300 วัตต์ ที่ค่าความเข้มแสงประมาณ 950 ลักซ์ และ ทำการวัดค่าความต่างศักย์กับกระแส

เอกสารนี้เป็นเอกสารที่สงวนไว้สำหรับการใช้งานเพื่อการศึกษาเท่านั้น ไม่อนุญาตให้นำไปใช้ประโยชน์ด้านการค้าไม่ว่ากรณีใดๆ ทั้งสิ้น อีกทั้งห้ามมิให้ดัดแปลงเนื้อหา และต้องอ้างอิงถึงเจ้าของเอกสารทุกครั้งที่มีการนำไปใช้

6. ทำการเขียนกราฟระหว่างกระแสในแนวแกน x และความต่างศักย์ในแนวแกน y
7. จากความสัมพันธ์ระหว่างกระแสกับความต่างศักย์สามารถหาค่าความต้านทานแผ่นได้จากสมการ

$$R_s = \frac{V}{I} \cdot \frac{(W)}{(L)}$$

โดยที่ W คือ ความกว้างของฟิล์มบาง

L คือ ระยะห่างระหว่างขั้วทั้งสอง

$\frac{V}{I}$  คือ ความชันของกราฟความสัมพันธ์ระหว่างกระแสกับแรงดัน

### 3.2 ขั้นตอนการเตรียมฟิล์มบาง CdS ที่เจือด้วยอะตอมของธาตุ F

#### 3.2.1 การเตรียมฐานรองรับ [ งานนิศย์และคณะ , 2543 ; ฐิตินัยและคณะ , 2546 ]

การเตรียมฐานรองรับที่ใช้ในการเคลือบฟิล์มบาง CdS ที่เจือด้วยอะตอมของธาตุ F ด้วยวิธีการอาบสารละลายเคมีที่เป็นกระจกสไลด์ที่มีขนาดความกว้าง 12 มิลลิเมตร และความยาว 75 มิลลิเมตร มีขั้นตอนดังนี้

1. นำแผ่นกระจกสไลด์ไปทำความสะอาดด้วยโครคลอโรเอทรีน
2. ล้างแผ่นกระจกสไลด์ด้วยอะซิโตนในเครื่องอัลตราโซนิกเป็นเวลา 10 นาที
3. ล้างแผ่นกระจกสไลด์ด้วยเอทานอลในเครื่องอัลตราโซนิกเป็นเวลา 10 นาที
4. นำแผ่นกระจกสไลด์ไปกักด้วยกรดกัดแก้วหรือไฮโดรฟลูออริก 10% เป็นเวลา 10 นาที และล้างด้วยน้ำปอดคประจุ
5. ล้างแผ่นกระจกสไลด์ในน้ำปอดคประจุด้วยเครื่องอัลตราโซนิก เป็นเวลา 10 นาที จำนวน 3 ครั้ง
6. นำแผ่นกระจกสไลด์ไปอบในเตาที่มีอุณหภูมิประมาณ 90°C เป็นเวลา 30 นาที
7. หลังจากทำการอบแผ่นกระจกสไลด์แล้วจึงนำแผ่นกระจกสไลด์ที่ได้นี้ไปทำการเคลือบฟิล์ม CdS : F ด้วยวิธีการอาบสารละลายเคมี

### 3.2.2 การเตรียมฟิล์มบางคีนุกออกไซด์ที่เจือด้วยฟลูออรีนโดยการพ่นละอองสารเคมีที่เกิดจากการฉ่ำด้วยคลื่นอัลตราโซนิค [งามนิตย์และคณะ, 2549]

1. เตรียมสารละลายคีนุกเข้มข้น 0.2 โมลาร์ โดยชั่งสารตั้งต้นทินไดคลอไรด์ไดไฮเดรต ( $\text{SnCl}_2 \cdot 2\text{H}_2\text{O}$ ) 4.513 กรัม ละลายด้วยกรดไฮโดรคลอริก (HCl) ปริมาตร 8 มิลลิลิตร
2. ชั่งแอมโมเนียมฟลูออไรด์ ( $\text{NH}_4\text{F}$ ) โดยใช้อัตราส่วนฟลูออรีนต่อคีนุกต่างๆกัน
3. เติมน้ำปอดประจุให้ได้ปริมาตรรวมเป็น 50 มิลลิลิตร
4. เติมน้ำเมทานอลให้ได้ปริมาตรรวมเป็น 200 มิลลิลิตร
5. นำไปอุ่นที่อุณหภูมิ  $90^\circ\text{C}$  เป็นเวลา 15 นาที
6. ให้อุณหภูมิฐานรองรับอยู่ที่  $400^\circ\text{C}$
7. ปรับค่าความดันของก๊าซไนโตรเจน
8. เปิดเครื่องกำเนิดคลื่นอัลตราโซนิคเพื่อทำการพ่นละอองของสารเคมีเป็นเวลา 20 นาที
9. นำฟิล์มบางที่ได้ไปศึกษาสมบัติต่างๆ

### 3.2.3 การเตรียมฟิล์มบาง CdS โดยวิธีการอาบสารละลายเคมี [งามนิตย์และคณะ, 2543; จูตินัยและคณะ, 2546]

ในการเตรียมฟิล์มบาง CdS:F โดยวิธีการอาบสารละลายเคมี ซึ่งมีขั้นตอนดังนี้

1. ชั่งสารตั้งต้นเกลือแคดเมียมซัลเฟต [ $\text{CdSO}_4 \cdot 8/3\text{H}_2\text{O}$ ] ความเข้มข้น 0.01 โมล 0.3848 กรัม ไทโอยูเรีย [ $\text{SC}(\text{NH}_2)_2$ ] ความเข้มข้น 0.05 โมล 0.5709 กรัม และแอมโมเนียมฟลูออไรด์ ( $\text{NH}_4\text{F}$ ) 0.0031, 0.0164, 0.0329, 0.0493, 0.0657 กรัม ตามลำดับและเตรียมแอมโมเนียปริมาตร 17.0 มิลลิลิตร
2. ละลายเกลือแคดเมียมซัลเฟตและแอมโมเนียมฟลูออไรด์ลงในน้ำปอดประจุ 10 มิลลิลิตร ที่อุณหภูมิห้อง
3. ละลายเกลือไทโอยูเรียลงในน้ำปอดประจุ 10 มิลลิลิตร ที่อุณหภูมิห้อง
4. นำกระจกสไลด์ที่ยึดด้วยแท่งเทฟลอนใส่ลงในบีกเกอร์ที่มีน้ำปอดประจุอยู่ประมาณ 100 มิลลิลิตร ซึ่งแช่อยู่ในอ่างปรับอุณหภูมิ  $80^\circ\text{C}$
5. เปิดสวิทช์หมุนแท่งแมกเนติกสเตอเรียลตลอดเวลา อย่างช้าๆ

6. เทสารละลายแคดเมียมซัลเฟต 10 มิลลิลิตร ตามด้วยแอมโมเนีย ไทโอยูเรีย และแอมโมเนียมฟลูออไรด์ที่เตรียมไว้ลงบีกเกอร์ตามลำดับ
7. เมื่อสารละลายเริ่มเปลี่ยนสีให้วัดค่า pH ของสารละลายซึ่งจะมีค่าอยู่ที่ประมาณ 11 จากนั้นรอประมาณ 1 ชั่วโมง โดยระหว่างนั้นให้ควบคุมอุณหภูมิของอ่างอาบสารละลายเคมีและควบคุมอัตราการหมุนของแท่นชกให้มีค่าคงที่ สม่่าเสมอเมื่อเวลาผ่านไป 1 ชั่วโมงให้นำออกจากบีกเกอร์จะพบว่าฟิล์มบางเคลือบติดอยู่บนแผ่นกระจกสไลด์นอกจากนี้ยังมีตะกอนของแคดเมียมซัลไฟด์เกาะอยู่ที่ผิวหน้าของฟิล์มบางและตกตะกอนอยู่ที่ก้นของบีกเกอร์
8. นำแผ่นกระจกที่เคลือบฟิล์มบางใส่ลงในน้ำปอดประจุ แล้วนำไปเขย่าด้วยเครื่องอัลตราโซนิกประมาณ 30 นาที จากนั้นเปลี่ยนน้ำปอดประจุแล้วทำการเขย่าอีก 2 ครั้ง เพื่อขจัดตะกอนที่อยู่ผิวหน้าของฟิล์มบางออกให้หมด
9. นำฟิล์มบางที่ได้มาเคลือบอีก 7 ครั้ง ตามขั้นตอนที่ 1-9 หลังจากครบแล้วนำมาเป่าให้แห้งด้วยไนโตรเจนบริสุทธิ์และเก็บในถุงที่ปิดสนิทอย่างดี
10. นำฟิล์มบางที่เตรียมได้ไปวัดการเลี้ยวเบนของรังสีเอ็กซ์
11. นำฟิล์มบางที่เตรียมได้ไปวัดการส่งผ่านแสงในช่วง 400 - 800 นาโนเมตร
12. นำฟิล์มบางที่เตรียมได้ถ่ายผิวหน้าของฟิล์มด้วยกล้องจุลทรรศน์อิเล็กตรอนแบบส่องกราด
13. นำฟิล์มบางที่เตรียมได้ไปวัดค่าความต้านทานแผ่น



รูปที่ 3.5 แสดงรูปถ่ายการเตรียมฟิล์มบางโดยวิธีการอาบสารละลายเคมี

เอกสารนี้เป็นเอกสารที่สงวนไว้สำหรับการใช้งานเพื่อการศึกษาเท่านั้น ไม่อนุญาตให้นำไปใช้ประโยชน์ด้านการค้า ไม่ว่าจะกรณีใดๆ ทั้งสิ้น อีกทั้งห้ามมิให้ดัดแปลงเนื้อหา และต้องอ้างอิงถึงเจ้าของเอกสารทุกครั้งที่มีการนำไปใช้

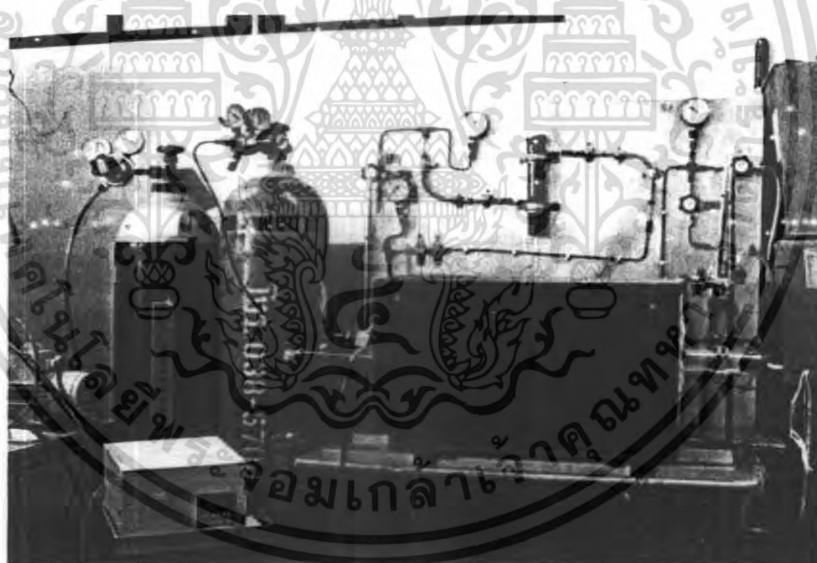
### 3.2.4 วิธีการแอนน็อด [จามนิตย์และคณะ, 2543; สุทินัยและคณะ, 2546; จามนิตย์และคณะ, 2549]

เปิดวาล์วที่ถังก๊าซไนโตรเจนก่อนให้วาล์วละเอียดอยู่ที่ 100 kPa

1. ตรวจสอบวาล์วหมายเลข 1, 2, 3 และ 4 ให้อยู่ในตำแหน่งปิด(บิดไปทางขวามือ)
2. เสียบปลั๊กไฟปั๊มฟลูอิดอากาศ เพื่อให้ปั๊มทำงาน ตรวจสอบสายยางระบายอากาศออกสู่ภายนอกห้อง จากนั้นจึงค่อยๆ เปิดวาล์วหมายเลข 4 ช้าๆ เพื่อทำการฟลูอิดอากาศออกแล้วจึงค่อยปิดวาล์วหมายเลข 4
3. เปิดวาล์วหมายเลข 1 ช้าๆ โดยให้สเกลใน G1 ไม่เกิน 4 Psi (ไม่เช่นนั้นหลอดซิเลียเจลจะระเบิดได้) ให้เปิดวาล์วหมายเลข 2 ต่อเนื่องทำให้สเกลใน G3 จะเพิ่มขึ้น
4. พยายามปรับวาล์วหมายเลข 1 ให้ก๊าซไนโตรเจนไหลช้าๆ โดยดูจากสเกล G3 จะเพิ่มขึ้นจนเต็มสเกล แล้วจึงปิดวาล์วหมายเลข 1 และ 2
5. ทำการฟลูอิดอากาศออกจากท่อแก้วโดยการเปิดวาล์วหมายเลข 4 จนสเกล G3 ลดลงต่ำสุด
6. ปิดวาล์วหมายเลข 4
7. เริ่มทำ 3, 4 และ 5 ซ้ำตามลำดับ อีก 2 ครั้ง เพื่อให้แน่ใจว่า ไม่มี ก๊าซออกซิเจนเหลืออยู่
8. ปิดวาล์วหมายเลข 4
9. เปิดวาล์วหมายเลข 1 และ 2 ให้แก๊สไหลเข้าในท่อแก้วจนความดันในสเกล G3 เพิ่มขึ้น เกือบเป็นศูนย์ แล้วจึงเปิดวาล์วหมายเลข 3 ปล่อยให้ฟองอากาศหลุดขึ้นมาอย่างช้าๆ ส่วนสเกล G1 ต้องไม่เกิน 4Psi ซึ่งจะค่อยๆ ลดลงเมื่อเวลาผ่านไป
10. คอยตรวจสอบวาล์วหมายเลข 1 อย่างสม่ำเสมอเพื่อไม่ให้สเกล G1 เพิ่มขึ้นสูงเกินไป หรือ ลดต่ำลงจนเกินไป จากนั้นจึงทำการเพิ่มอุณหภูมิให้กับเตาความต้องการ เพื่อเป็นการรักษาอุณหภูมิของเตาให้คงที่ จะต้องใช้เซรามิกไฟเบอร์(ceramic fiber) อุดที่หัวเตาและท้ายเตา เพื่อป้องกันการไหลของอากาศเย็นเข้าไปในเตา
11. กดปุ่ม โหมด ให้ไฟขึ้นที่ปุ่มโหมด แล้วกดปุ่มขึ้นลง เพื่อทำการปรับอุณหภูมิ ความที่ต้องการ

เอกสารนี้เป็นเอกสารที่สงวนไว้สำหรับการใช้งานเพื่อการศึกษาเท่านั้น ไม่อนุญาตให้นำไปใช้ประโยชน์ด้านการค้า ไม่ว่ากรณีใดๆ ทั้งสิ้น อีกทั้งห้ามมิให้ดัดแปลงเนื้อหา และต้องอ้างอิงถึงเจ้าของเอกสารทุกครั้งที่มีการนำไปใช้

12. ใช้เวลาแอนนีส  $\approx 20$  นาที เมื่อครบแล้ว ให้ปิดสวิทช์ของแหล่งจ่ายไฟ แล้วเอาเซรามิกไฟเบอร์(ceramic fiber)ออก(ในขั้นตอนนี้ควรสวมถุงมือและหน้ากาก เพื่อความปลอดภัยจากเซรามิกไฟเบอร์ (ceramic fiber))
13. เมื่ออุณหภูมิลดต่ำกว่า  $100^{\circ}\text{C}$  ให้ทำการปิดวาล์วทุกตัวและเปิดจุกที่หัวท้ายเตาเอาสารตัวอย่างออก
14. เมื่อได้อุณหภูมิตามที่ต้องการ จึงเริ่มทำการจับเวลา 20 นาที ซึ่งเป็นเวลาที่จะใช้ในการแอนนีส
15. ปิดสวิทช์ของแมริแอกไปที่เลขศูนย์
16. ถ้าอุณหภูมิต่ำกว่า  $300^{\circ}\text{C}$   $400^{\circ}\text{C}$  และ  $500^{\circ}\text{C}$  ต้องรอให้อุณหภูมิลดลงถึง  $100^{\circ}\text{C}$  จึงจะสามารถปิดวาล์วที่บอร์ดทั้งหมดปิดวาล์วละเอียด (สีดำ) และวาล์วหยาบ
17. จากนั้นรอให้เตาเย็นลงจนถึงอุณหภูมิต่ำ นำสารตัวอย่างออก



รูปที่ 3.6 แสดงภาพถ่ายระบบเตาแอนนีสที่ทนอุณหภูมิได้ถึง  $1200^{\circ}\text{C}$

เอกสารนี้เป็นเอกสารที่สงวนไว้สำหรับการใช้งานเพื่อการศึกษาเท่านั้น ไม่นิยมนำไปใช้ประโยชน์ด้านการค้า  
ไม่ว่ากรณีใดๆ ทั้งสิ้น อีกทั้งห้ามมิให้ตัดแปลงเนื้อหา และต้องอ้างอิงถึงเจ้าของเอกสารทุกครั้งที่มีการนำไปใช้

## บทที่ 4

### ผลการทดลองและวิเคราะห์ผล

#### 4.1 พิล์มบาง $\text{SnO}_2$ : F ที่เตรียมได้โดยวิธีการพ่นละอองสารเคมีด้วยคลื่นอัลตราโซนิก

การเตรียมฟิล์มบางคีนุกออกไซด์ที่เจือด้วยฟลูออรีน โดยวิธีการพ่นละอองสารเคมีด้วยคลื่นอัลตราโซนิกจะใช้ระยะเวลาในการพ่นละอองสารเคมีเท่ากับ 20 นาที โดยจะทำการเตรียมฟิล์มบางคีนุกออกไซด์ที่มีปริมาณการเจือของฟลูออรีนแตกต่างกันนี้ 0, 5, 10, 15 และ 20 เปอร์เซ็นต์โดยน้ำหนัก ซึ่งควบคุมอุณหภูมิฐานรองอยู่ที่ประมาณ 400 เคลวิน พบว่าลักษณะของฟิล์มบางที่ได้จะมีลักษณะใสส่งผ่านแสงได้ ถึงแม้จะเพิ่มปริมาณการเจือของสารเจือลักษณะทางกายภาพของฟิล์มจะคงเดิม ดังแสดงในรูปที่ 4.1



รูปที่ 4.1 แสดงฟิล์มบางคีนุกออกไซด์ที่บริสุทธิ์และมีการเจือด้วยฟลูออรีนที่เตรียม โดยวิธีการพ่นละอองสารเคมีด้วยคลื่นอัลตราโซนิกเมื่อให้ปริมาณความเข้มข้นของฟลูออรีนที่แตกต่างกัน

#### 4.2 ลักษณะของฟิล์มบาง CdS: F ที่เตรียมได้โดยวิธีการอบสารละลายเคมี

จากการสังเกตการเตรียมฟิล์มบาง CdS โดยวิธีการอบสารละลายทางเคมี พบว่าฟิล์มที่ปฏิกิริยาเคมีที่เกิดขึ้นจะเกิดขึ้นอย่างรวดเร็ว สังเกตได้จากสีของสารละลายในบีกเกอร์ที่มีการเปลี่ยนแปลงทันทีหลังจากเติมไทโอยูเรียลงในบีกเกอร์ที่มีสารละลายของเกลือแคดเมียมซัลเฟต โดยสารละลายจะปรากฏสีขาวขุ่นแล้วเปลี่ยนเป็นสีเหลืองอ่อนและสีเหลืองเข้มอย่างรวดเร็วโดยใช้ระยะเวลาประมาณ 30 วินาที หลังจากจุ่มเป็นเวลา 60 นาที จึงนำฟิล์มบางขึ้นจากสารละลาย พบว่ามีอนุภาคแคดเมียมซัลไฟด์บางส่วนที่จับตัวเป็นตะกอนเกาะอยู่ที่ผิวของฟิล์มบางเป็นจำนวนมากแต่หลังจากเขย่าด้วยเครื่องอัลตราโซนิกแล้วเป่าให้แห้งด้วยไนโตรเจนบริสุทธิ์จะสังเกตเห็นว่าฟิล์มบาง CdS ที่เตรียมได้ มีความเรียบสม่ำเสมอทั่วทั้งแผ่น มีสีเหลืองส้ม มันวาว แสดงไว้ดังรูป 4.2 ซึ่งพบว่าผลการทดลองที่ได้สอดคล้องกับผลงานวิจัยของผู้อื่นที่ได้รับการตีพิมพ์เผยแพร่มาแล้ว [งามนิคย์และคณะ, 2543 ; ฐิตินัยและคณะ, 2546 ; Dona and Herrero; 1994, 1995]

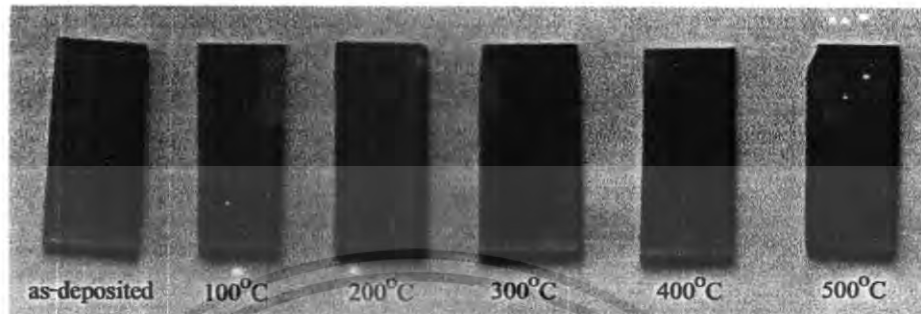


รูปที่ 4.2 แสดงฟิล์มบาง CdS ที่เตรียมจากสารตั้งต้นเป็นผลึกผงที่มีความบริสุทธิ์สูง (99.999%) โดยวิธีการอบสารละลายเคมีเมื่อ ไม่มีการแอนนัล

##### 4.2.1 ฟิล์มบาง CdS ที่มีการเจือด้วยอะตอมของธาตุฟลูออรีนที่เตรียมด้วยวิธีการอบสารละลายเคมี

จากการสังเกตการเตรียมฟิล์มบาง CdS:F พบว่าฟิล์มบาง CdS:F เกิดปฏิกิริยาไฮโดรจีเนซิสที่ค่อนข้างเร็ว ซึ่งสามารถสังเกตได้จากสีสารละลายจะเปลี่ยนจากสีขาวขุ่นไปเป็นสีเหลืองส้มในระยะเวลาประมาณ 10-15 วินาที โดยลักษณะของฟิล์มบางที่เคลือบติดกระจกสไลด์จะมีคอลลอยด์ติดอยู่เมื่อนำไปเขย่าด้วยเครื่องอัลตราโซนิก แล้วเป่าให้แห้งด้วยไนโตรเจนบริสุทธิ์ สังเกตเห็นได้ว่าฟิล์มบางมีลักษณะผิวหน้าที่เรียบเป็นเนื้อเดียวกันสม่ำเสมอ มีความหนา และมี

ความมันวาว จากนั้นนำเอาฟิล์มบางที่เตรียมได้ไปแอนนัลที่อุณหภูมิ 100-500 °C ภายใต้บรรยากาศของก๊าซใน โครเจนบริสุทธิ์ ดังรูปที่ 4.3



รูปที่ 4.3 แสดงฟิล์มบาง CdS:F ที่เตรียมโดยวิธีการอบสารละลายทางเคมี เมื่อไม่มีการแอนนัลและเมื่อมีการแอนนัลที่อุณหภูมิ 100-500 °C ภายใต้บรรยากาศของก๊าซใน โครเจนบริสุทธิ์ เป็นเวลา 20 นาที

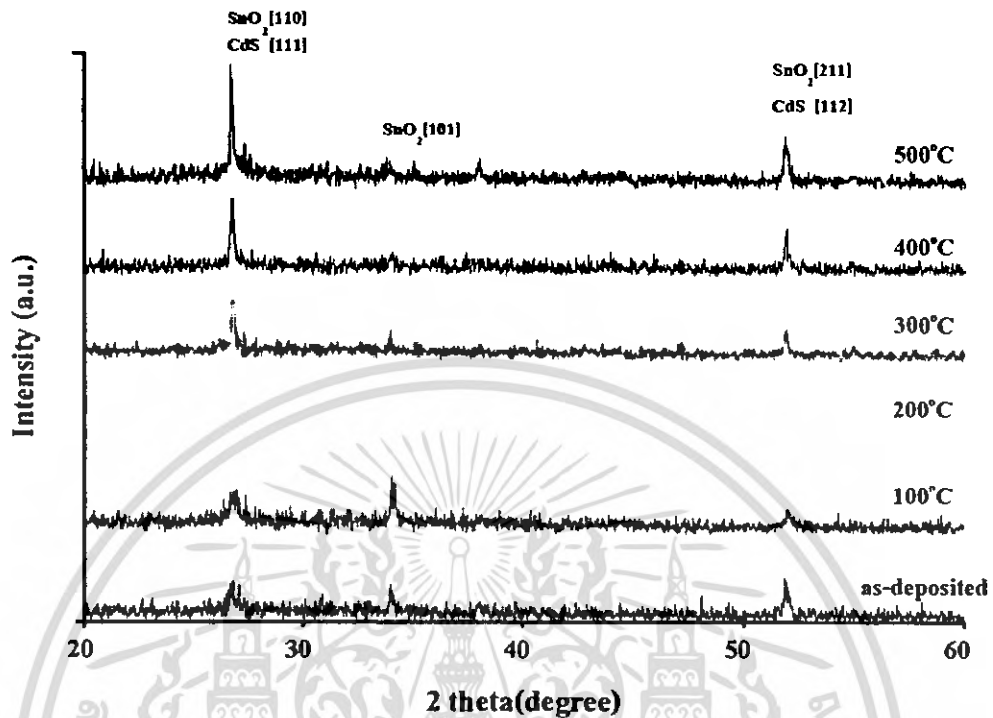
#### 4.2.2 ฟิล์มบาง CdS:F เมื่อแอนนัลที่อุณหภูมิต่างๆ

รูปที่ 4.3 แสดงฟิล์มบาง CdS:F ที่แอนนัลที่อุณหภูมิ 100-500 °C ภายใต้บรรยากาศใน โครเจนบริสุทธิ์ เป็นเวลา 20 นาที พบว่าที่อุณหภูมิสูงขึ้นฟิล์มบางจะมีสีเหลืองส้มและมีความเป็นมันวาวลดลง โดยเฉพาะที่อุณหภูมิแอนนัล ประมาณ 300-500 °C แสดงให้เห็นว่าฟิล์มบางที่ได้มีการเปลี่ยนแปลงโครงสร้างผลึกจากเฟสคิวบิก ไปเป็นเฮกซะ โกนอล ดังที่พบได้จากผลการวิเคราะห์โครงสร้างผลึกเชิงจุลภาคด้วยเทคนิคการเลี้ยวเบนรังสีเอ็กซ์ ซึ่งสอดคล้องกับผลงานวิจัยของผู้อื่นที่ได้รับการตีพิมพ์เผยแพร่มาแล้ว [งามนิษฐ์ และคณะ, 2543]

#### 4.3 ผลการศึกษาโครงสร้างผลึกเชิงจุลภาคของฟิล์มบาง

เนื่องจากเราต้องการทราบถึงลักษณะ โครงสร้างผลึกเชิงจุลภาคของฟิล์มบาง CdS:F ที่เคลือบลงบนกระจกสไลด์  $\text{SnO}_2$  ดังนั้นเราจึงนำฟิล์มบาง CdS:F ไปทำการศึกษาค่าการเลี้ยวเบนรังสีเอ็กซ์เพื่อพิจารณาลักษณะของฟิสิกและนำไปเปรียบเทียบกับไฟล์มาตรฐาน เพื่อดูว่าฟิล์มบาง CdS:F มีลักษณะโครงสร้างผลึกเป็นแบบใดซึ่งพบว่าผลการทดลองที่ได้สอดคล้องกับผลงานวิจัยของผู้อื่นที่ผ่านการตีพิมพ์เผยแพร่มาแล้ว [บัญชาและคณะ, 2544 ; สิงหเดชและคณะ, 2539; จูตินัยและคณะ, 2547] ดังรูปที่ 4.4

เอกสารนี้เป็นเอกสารที่สงวนไว้สำหรับการใช้งานเพื่อการศึกษาเท่านั้น ไม่อนุญาตให้นำไปใช้ประโยชน์ด้านการค้าไม่ว่ากรณีใดๆ ทั้งสิ้น อีกทั้งห้ามมิให้ดัดแปลงเนื้อหา และต้องอ้างอิงถึงเจ้าของเอกสารทุกครั้งที่มีการนำไปใช้



รูปที่ 4.4 แสดงสเปกตรัมของการเลี้ยวเบนรังสีเอ็กซ์ของฟิล์มบาง CdS ที่เจือด้วยอะตอมของธาตุ F ในกรณีเมื่อไม่มีการแอนนีสและมีการแอนนีสที่อุณหภูมิ 100-500°C ภายใต้บรรยากาศของก๊าซไนโตรเจนบริสุทธิ์ เป็นเวลา 20 นาที

จากรูปที่ 4.4 นั้นแสดงรูปแบบการเลี้ยวเบนของรังสีเอ็กซ์จากเครื่องเอ็กซ์เรย์ดิฟแฟรคโตมิเตอร์ ยี่ห้อ Bruker รุ่น D8 Advance ที่มุม  $2\theta$  เท่ากับ  $20 - 60^\circ$  ของฟิล์มบาง CdS บนกระจก SnO<sub>2</sub> พบว่า จะเกิดระนาบที่เด่นชัดขึ้นที่ ระนาบ (110) ของ SnO<sub>2</sub> และ ระนาบ (111) ของ CdS นอกจากนี้ ยังปรากฏระนาบอื่นๆ ดังนี้ เช่น ระนาบ (101) ที่มุม  $2\theta$  และ (211) ที่มุม  $2\theta$  ของ SnO<sub>2</sub> และระนาบ (112) ที่มุม  $2\theta$  ของ CdS เมื่อเปรียบเทียบตำแหน่งพิกต่างๆ ของฟิล์มบาง CdS บนกระจก SnO<sub>2</sub> กับไฟล์มาตรฐาน จะพบว่าฟิล์มบาง CdS มีโครงสร้างผลึกเป็นแบบคิวบิก และ SnO<sub>2</sub> มีโครงสร้างผลึกเป็นแบบเตตระโกนอลรูไทต์ค่อจากนั้นเมื่อทำการเปรียบเทียบฟิล์มบาง CdS บนกระจก SnO<sub>2</sub> ที่ไม่ผ่านการแอนนีสและผ่านการแอนนีสที่อุณหภูมิ 100 °C จะพบว่าขนาดของเกรนจะมีค่าใกล้เคียงกัน แต่เมื่อผ่านการแอนนีสที่อุณหภูมิ 200 - 500 °C ขนาดของเกรนจะ โคขึ้น แสดงว่าอุณหภูมิแอนนีสมีผลทำให้ขนาดของเกรน โคขึ้นและ โครงสร้างผลึกจะสมบูรณ์มากขึ้นมีความใกล้เคียงสตรอยคิโอมคทรียมากขึ้น ที่อุณหภูมิ 400 - 500 °C จะเกิดการเปลี่ยน โครงสร้างผลึกจากคิวบิกเป็นเฮกซะโกนอล ซึ่งส่วนใหญ่จัดเรียงตัวกันในทิศทางของระนาบ (111),(211) ดังจากกับแผ่นรองรับแต่ยังมีเฟสของ

เอ็กซ์-โกนอลอยู่ข้างแต่เชื่อว่ามีปริมาณน้อยคังนั้น แสดงว่ากระบวนการตกผลึก แบบ โฮโมจีเนียส(homogeneous) จะเด่นกว่ากระบวนการตกผลึกแบบเฮเทอโรจีเนียส (heterogenous)

จากการเลี้ยวเบนรังสีเอ็กซ์ สามารถนำไปคำนวณหาค่าขนาดของเกรน (grain size) ได้จากสมการที่ (4.1)

$$d = \frac{\lambda}{D \cos \theta} \quad (4.1)$$

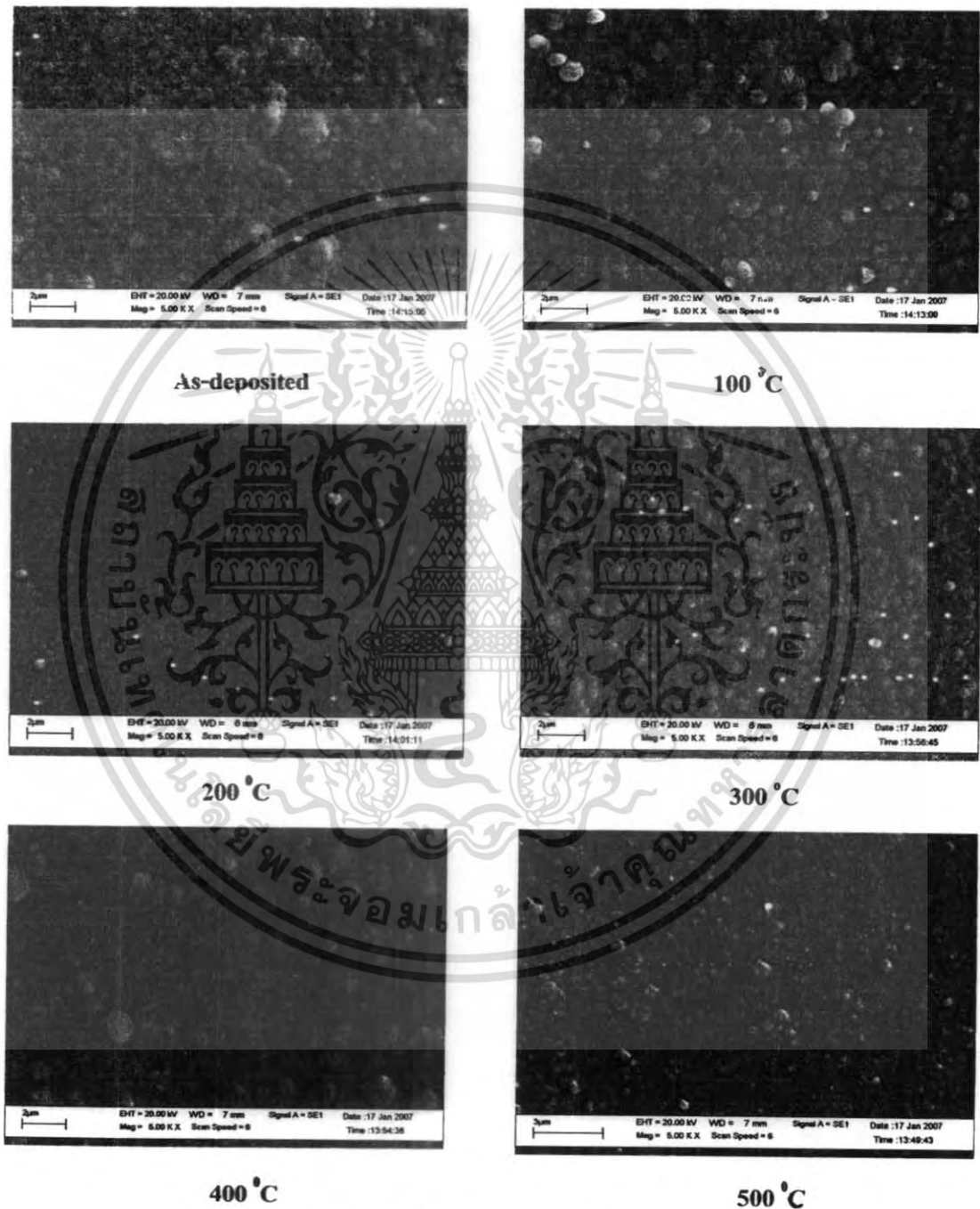
เมื่อ  $d$  = ขนาดของเกรน

$\lambda$  = ความยาวคลื่นของรังสีเอ็กซ์

$D$  = ความกว้างของพีคการเลี้ยวเบนที่มีความเข้มเป็นครึ่งหนึ่งของความเข้มสูงสุด (full width at half maximum : FWHM)

$\theta$  = มุมที่พีคของสเปกตรัม

#### 4.4 ผลการศึกษาลักษณะผิวหน้าของฟิล์มบางและขนาดของเกรนด้วยกล้องจุลทรรศน์อิเล็กตรอนแบบส่องกราด (SEM)

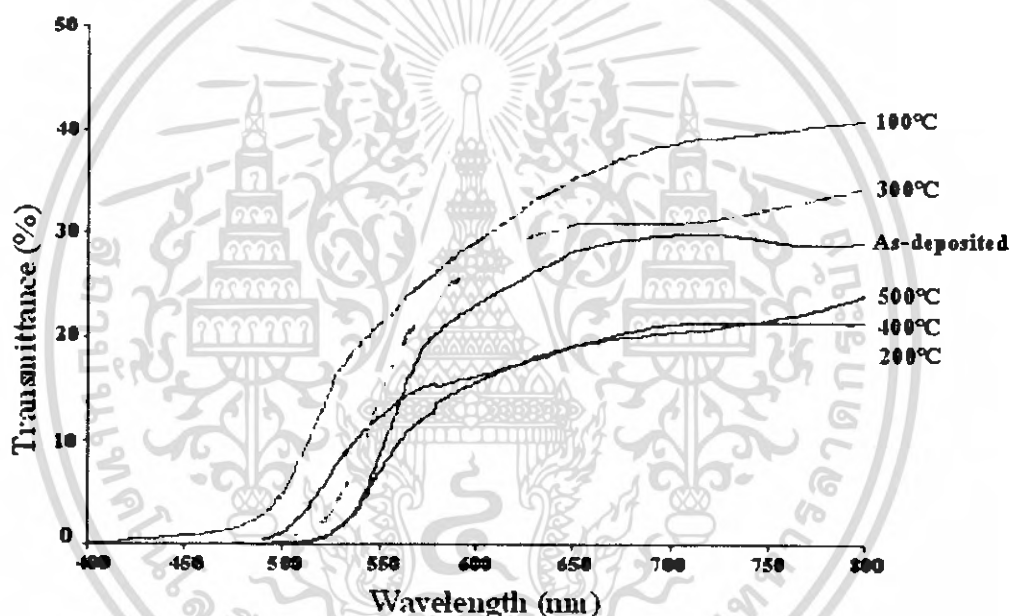


รูปที่ 4.5 แสดงลักษณะผิวหน้าของฟิล์มบาง CdS: F ที่เตรียมได้โดยวิธีอบสารละลายทางเคมีเมื่อไม่มีการแอนนีสและมีการแอนนีสที่อุณหภูมิ 100-500 °C ภายใต้บรรยากาศของก๊าซไนโตรเจนบริสุทธิ์เป็นเวลา 20 นาที

เอกสารนี้เป็นเอกสารที่สงวนไว้สำหรับการใช้งานเพื่อการศึกษาเท่านั้น ไม่อนุญาตให้นำไปใช้ประโยชน์ด้านการค้าไม่ว่ากรณีใดๆ ทั้งสิ้น อีกทั้งห้ามมิให้ดัดแปลงเนื้อหา และต้องอ้างอิงถึงเจ้าของเอกสารทุกครั้งที่มีการนำไปใช้

จากรูปที่ 4.5 พบว่าเกรนที่ได้มีลักษณะค่อนข้างกลม เมื่ออุณหภูมิแอนนัลเพิ่มมากขึ้นทำให้ขอบเขตของเกรนชัดเจนขึ้นและมีขนาดโตขึ้นที่ผิวหน้าฟิล์มบางมีอนุภาคกลมขนาดใหญ่จำนวนมากซึ่งเป็นอนุภาคของ CdS บอกรถึงการมีกระบวนการ โฮโมจีเนียส (homogenous) เกิดขึ้นและอนุภาค CdS ดังกล่าวจะลดขนาดลงเมื่ออุณหภูมิแอนนัลสูงขึ้น ซึ่งพบว่าผลการทดลองที่ได้สอดคล้องกับผลงานวิจัยของผู้อื่นที่ผ่านการตีพิมพ์เผยแพร่มาแล้ว [วิรุพท์ และคณะ, 2543; เลขพงศ์, 2547]

#### 4.5 ผลการศึกษาสมบัติทางแสงของฟิล์มบาง



รูปที่ 4.6 แสดงสเปกตรัมการส่งผ่านแสงของฟิล์มบาง CdS:F ที่เตรียมโดยวิธีการอบสารละลายเคมี เมื่อไม่มีการแอนนัลและเมื่อมีการแอนนัลที่อุณหภูมิ 100- 500 °C ภายใต้บรรยากาศของก๊าซไนโตรเจนบริสุทธิ์เป็นเวลา 20 นาที

จากรูปที่ 4.6 แสดงสเปกตรัมการส่งผ่านแสงของฟิล์มบาง CdS ที่มีการเจือของธาตุ F (fluorine) โดยใช้เครื่อง UV-VIS แบบดับเบิลบีม สเปกโตรโฟโตมิเตอร์ ยี่ห้อ thermo Electron Corporation รุ่น Helios $\alpha$  โดยเลือกใช้ช่วงความยาวคลื่นที่ 400-800 นาโนเมตร จะพบว่าฟิล์มที่ยังไม่ผ่านการแอนนัล จะยอมให้แสงที่มีความยาวคลื่นมากกว่า 570 นาโนเมตร ผ่านได้แต่เมื่อแอนนัลฟิล์มบางภายใต้บรรยากาศของก๊าซไนโตรเจนที่อุณหภูมิ 100-500°C เป็นเวลา 20 นาที จะพบว่า

ฟิล์มบางยอมให้แสงที่มีความยาวคลื่น 580 นาโนเมตรผ่านได้ และพบว่าเมื่ออุณหภูมิเพิ่มขึ้นเป็น 100°C ขอบการดูดกลืนพื้นฐาน (absorption edge) กลับเลื่อนไปทางความยาวคลื่นที่มีค่าลดลง แต่เมื่ออุณหภูมิสูงขึ้นเป็น 200°C ขอบการดูดกลืนพื้นฐาน เลื่อนไปทางความยาวคลื่นที่เพิ่มขึ้น และสุดท้ายที่อุณหภูมิที่ 400-500°C ขอบการดูดกลืนพื้นฐาน กลับตรงกันซึ่งพบว่าผลการทดลองที่ได้สอดคล้องกับผลงานวิจัยของผู้อื่นที่ผ่านการตีพิมพ์เผยแพร่มาแล้ว [Dona and Herrero, 1994 ,1995] ดังรูปที่ 4.6

เมื่อนำมาเขียนกราฟความสัมพันธ์ระหว่างสัมประสิทธิ์การดูดกลืนแสง ( $\alpha h\nu$ )<sup>2</sup> กับพลังงานโฟตอน ( $h\nu$ ) เพื่อหาค่าช่องว่างแถบพลังงาน ( $E_g$ ) ได้โดยทำการลากเส้นตรงหาค่าคาดหมาย (extrapolation) ของกราฟส่วนที่เป็นเชิงเส้น ไปตัดกับแกนพลังงาน โฟตอนจุดตัดที่ได้คือค่าช่องว่างแถบพลังงานของฟิล์มบาง หรือ จากวิธีการคำนวณหาค่าสัมประสิทธิ์การดูดกลืนแสง ดังสมการที่ (2.10) คือ

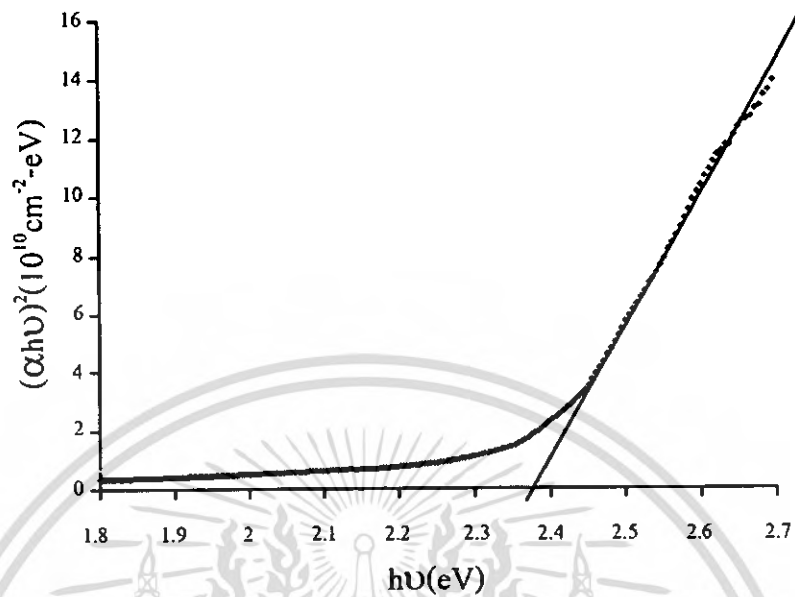
$$\alpha = \frac{1}{d} \ln \left( \frac{1}{T} \right)$$

$\alpha$  = สัมประสิทธิ์การดูดกลืนแสง

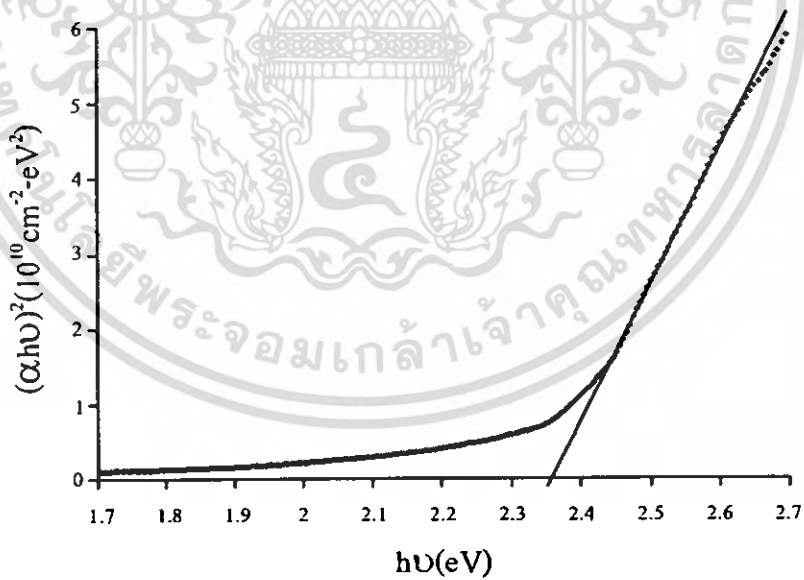
$d$  = ความหนาของฟิล์มบาง

$T$  = สัมประสิทธิ์การส่งผ่านแสง

พบว่าฟิล์มบาง CdS:F ที่ได้เตรียมได้ทั้งหมดจะเป็นกราฟลักษณะเชิงเส้นซึ่งเป็นการแสดงว่าเมื่ออิเล็กตรอนได้รับพลังงาน โฟตอนที่เท่ากับหรือมากกว่าขนาดของช่องว่างแถบพลังงาน อิเล็กตรอนจะดูดพลังงานและอยู่ในสภาวะถูกกระตุ้นจึงมีการย้ายสถานะพลังงานจากจุดสูงสุดของแถบวาเลนซ์ไปยังจุดต่ำสุดของแถบนำแบบไม่มีกระบวนการสร้างหรือทำลายโฟนอนเข้ามาเกี่ยวข้องซึ่งเป็นการแสดงว่าฟิล์มบางนี้ทั้งหมดที่เตรียมได้มีลักษณะโครงสร้างพลังงานเป็นแบบตรงและสามารถหาขนาดของค่าช่องว่างแถบพลังงาน ได้จากการลากเส้นตรงต่อส่วนที่แสดงกราฟแบบเชิงเส้น ไปตัดแกนพลังงาน โฟตอน โดยจุดตัดกราฟที่ได้คือ ขนาดของค่าช่องว่างแถบพลังงาน และพบว่า ขนาดของค่าช่องว่างแถบพลังงานจะลดลงเมื่ออุณหภูมิแอนนีสเพิ่มสูงขึ้นและจะมีค่าต่ำสุดที่อุณหภูมิแอนนีส ประมาณ 400°C จากนั้นขนาดค่าช่องว่างแถบพลังงานก็จะมีแนวโน้มเพิ่มขึ้นและจะเพิ่มขึ้นเมื่ออุณหภูมิแอนนีสเพิ่มสูงขึ้นจาก 400°C เป็น 500°C ซึ่งกราฟทั้งหมดจะแสดงให้เห็นดังรูป 4.8-4.13 และตารางที่ 4.1

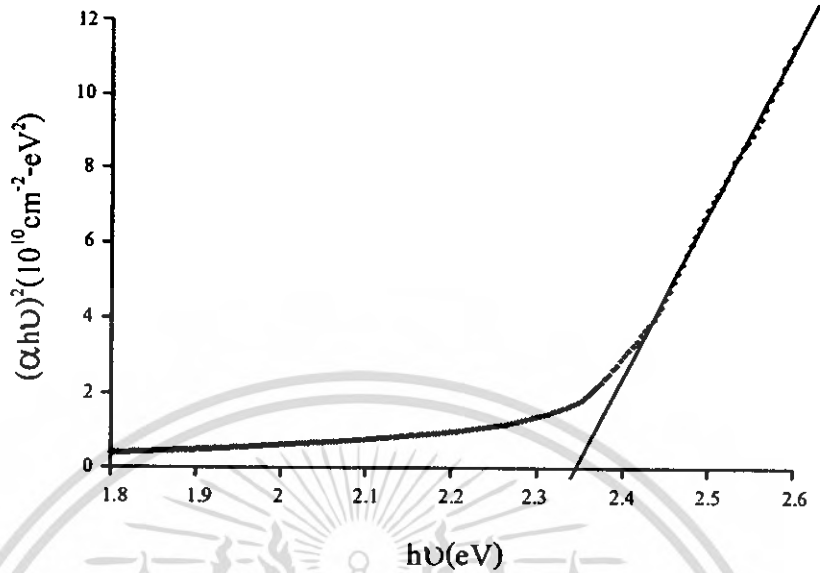


รูปที่ 4.7 แสดงการหาค่าช่องว่างแถบพลังงานจากความสัมพันธ์ระหว่าง สัมประสิทธิ์การดูดกลืนแสง  $(\alpha h\nu)^2$  กับพลังงานโฟตอน  $(h\nu)$  ของฟิล์มบาง CdS:F เมื่อไม่มีการแอนนัล

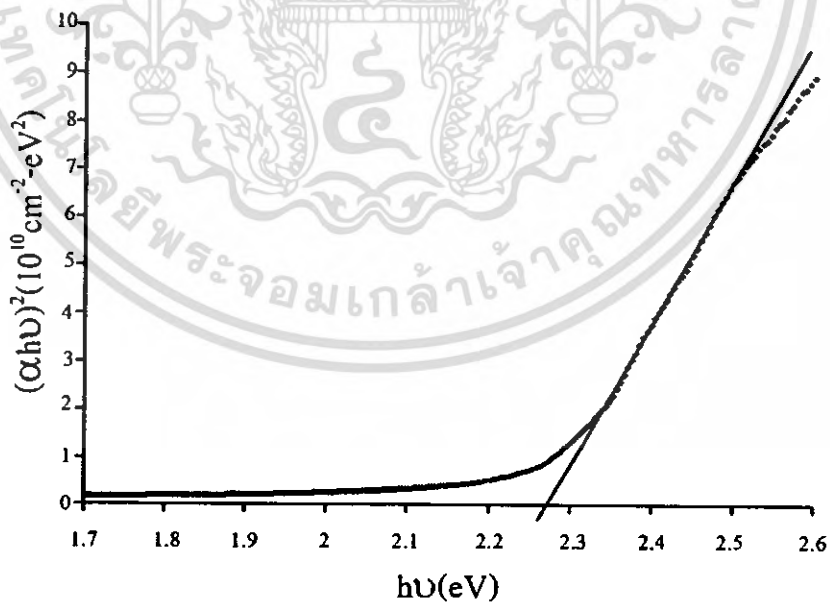


รูปที่ 4.8 แสดงการหาค่าช่องว่างแถบพลังงานจากความสัมพันธ์ระหว่างสัมประสิทธิ์การดูดกลืนแสง  $(\alpha h\nu)^2$  กับพลังงานโฟตอน  $(h\nu)$  ของฟิล์มบาง CdS:F เมื่อมีการแอนนัลที่อุณหภูมิ  $100^{\circ}\text{C}$  ภายใต้บรรยากาศของก๊าซไนโตรเจนบริสุทธิ์เป็นเวลา 20 นาที

เอกสารนี้เป็นเอกสารที่สงวนไว้สำหรับการใช้งานเพื่อการศึกษาเท่านั้น ไม่อนุญาตให้นำไปใช้ประโยชน์ด้านการค้า ไม่ว่ากรณีใดๆ ทั้งสิ้น อีกทั้งห้ามมิให้ดัดแปลงเนื้อหา และต้องอ้างอิงถึงเจ้าของเอกสารทุกครั้งที่มีการนำไปใช้

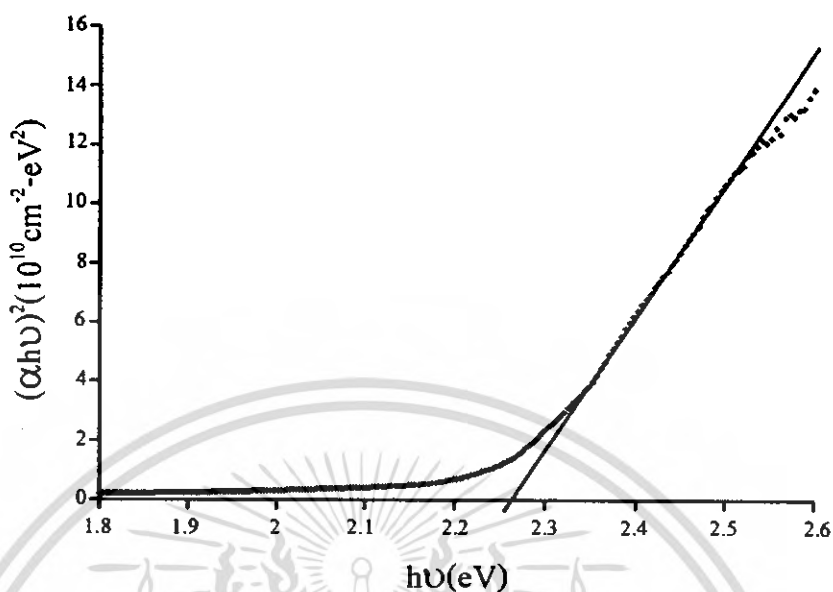


รูปที่ 4.9 แสดงการหาค่าช่องว่างแถบพลังงานจากความสัมพันธ์ระหว่าง สัมประสิทธิ์การดูดกลืนแสง  $(\alpha h\nu)^2$  กับพลังงาน โฟตอน( $h\nu$ )ของฟิล์มบาง CdS:F เมื่อมีการแอนนัลที่อุณหภูมิ $200^{\circ}\text{C}$ ภายใต้บรรยากาศของก๊าซไนโตรเจนบริสุทธิ์เป็นเวลา 20 นาที

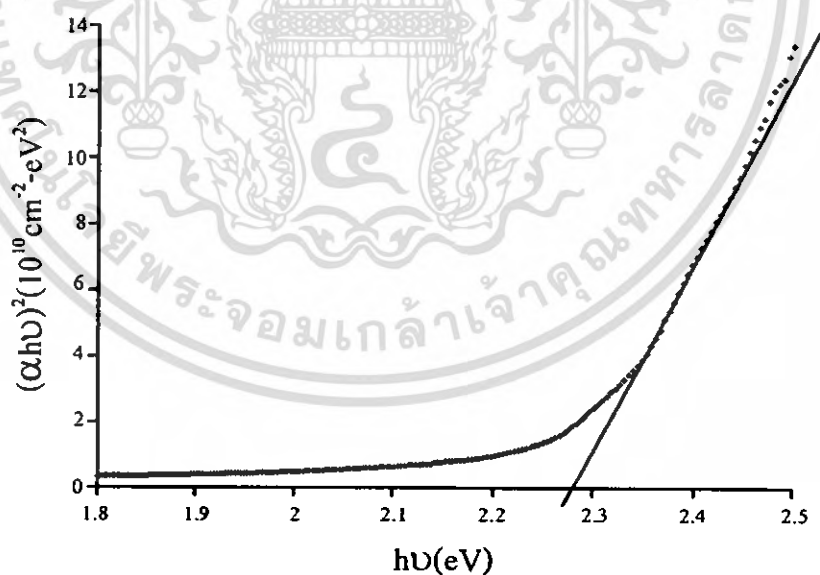


รูปที่ 4.10 แสดงการหาค่าช่องว่างแถบพลังงานจากความสัมพันธ์ระหว่าง สัมประสิทธิ์การดูดกลืนแสง  $(\alpha h\nu)^2$  กับพลังงาน โฟตอน( $h\nu$ ) ของฟิล์มบาง CdS:F เมื่อมีการแอนนัลที่อุณหภูมิ  $300^{\circ}\text{C}$  ภายใต้บรรยากาศของก๊าซไนโตรเจนบริสุทธิ์เป็นเวลา 20 นาที

เอกสารนี้เป็นเอกสารที่สงวนไว้สำหรับการใช้งานเพื่อการศึกษาเท่านั้น ไม่อนุญาตให้นำไปใช้ประโยชน์ด้านการค้า ไม่ว่ากรณีใดๆ ทั้งสิ้น อีกทั้งห้ามมิให้ดัดแปลงเนื้อหา และต้องอ้างอิงถึงเจ้าของเอกสารทุกครั้งที่มีการนำไปใช้



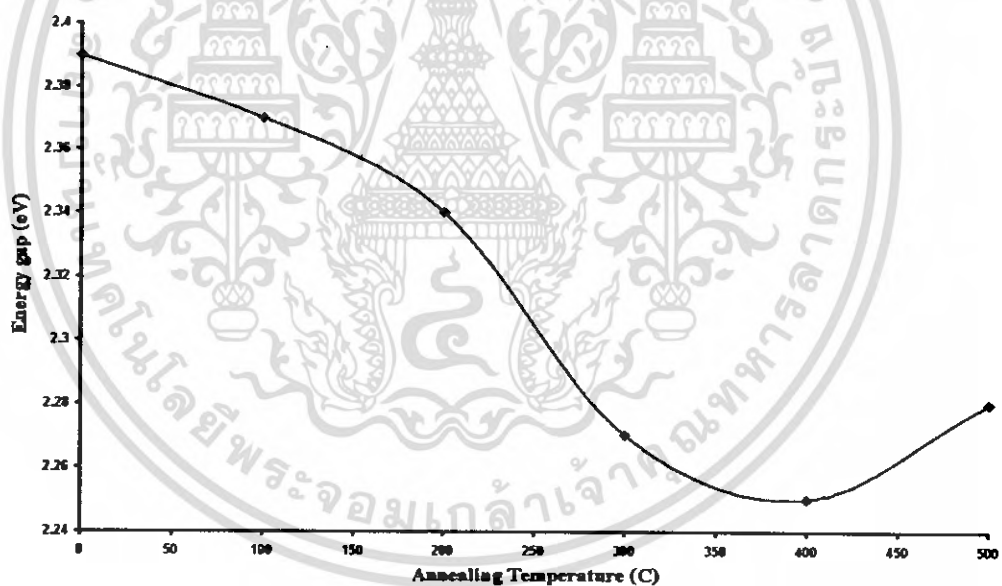
รูปที่ 4.11 แสดงการหาค่าช่องว่างแถบพลังงานจากความสัมพันธ์ระหว่าง สัมประสิทธิ์การดูดกลืนแสง  $(\alpha h\nu)^2$  กับพลังงานโฟตอน( $h\nu$ ) ของฟิล์มบาง CdS:F เมื่อมีการแอนนัลที่อุณหภูมิ  $400^\circ\text{C}$  ภายใต้บรรยากาศของก๊าซไนโตรเจนบริสุทธิ์ เป็นเวลา 20 นาที



รูปที่ 4.12 แสดงการหาค่าช่องว่างแถบพลังงานจากความสัมพันธ์ระหว่าง สัมประสิทธิ์การดูดกลืนแสง  $(\alpha h\nu)^2$  กับพลังงานโฟตอน( $h\nu$ ) ของฟิล์มบาง CdS:F เมื่อมีการแอนนัลที่อุณหภูมิ  $500^\circ\text{C}$  ภายใต้บรรยากาศของก๊าซไนโตรเจนบริสุทธิ์ เป็นเวลา 20 นาที

ตารางที่ 4.1 แสดงค่าช่องว่างแถบพลังงาน ( $E_g$ ) ของฟิล์มบาง CdS:F ที่เตรียมโดยวิธีการอบสารละลายเคมีเมื่อไม่มีการแอนนีกและเมื่อมีการแอนนีกที่อุณหภูมิ 100- 500°C ภายใต้บรรยากาศของก๊าซไนโตรเจนบริสุทธิ์ เป็นเวลา 20 นาที

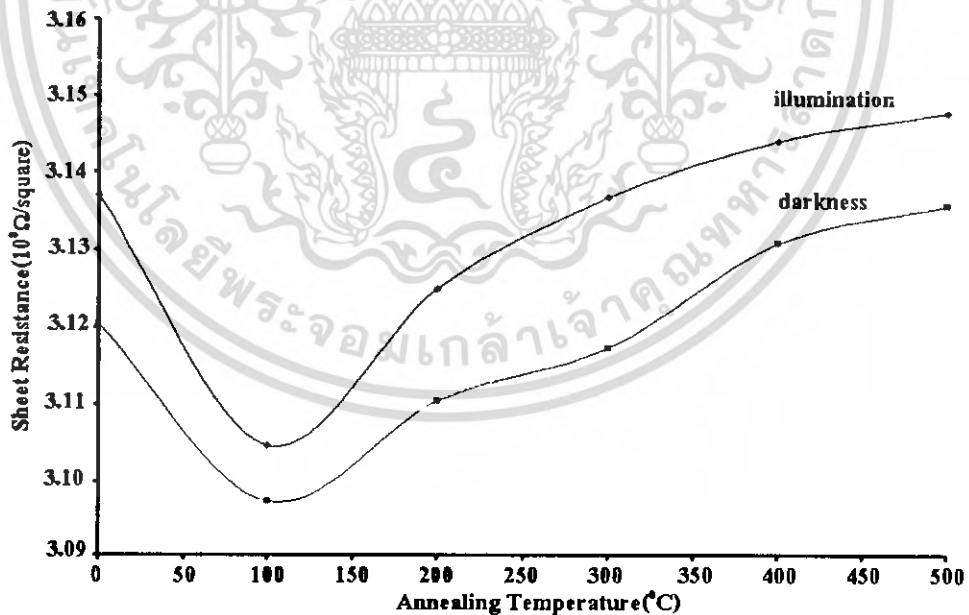
Annealing Temperature ( °C)	Energy Gap (eV)
as-deposited	2.39
100	2.36
200	2.34
300	2.27
400	2.25
500	2.28



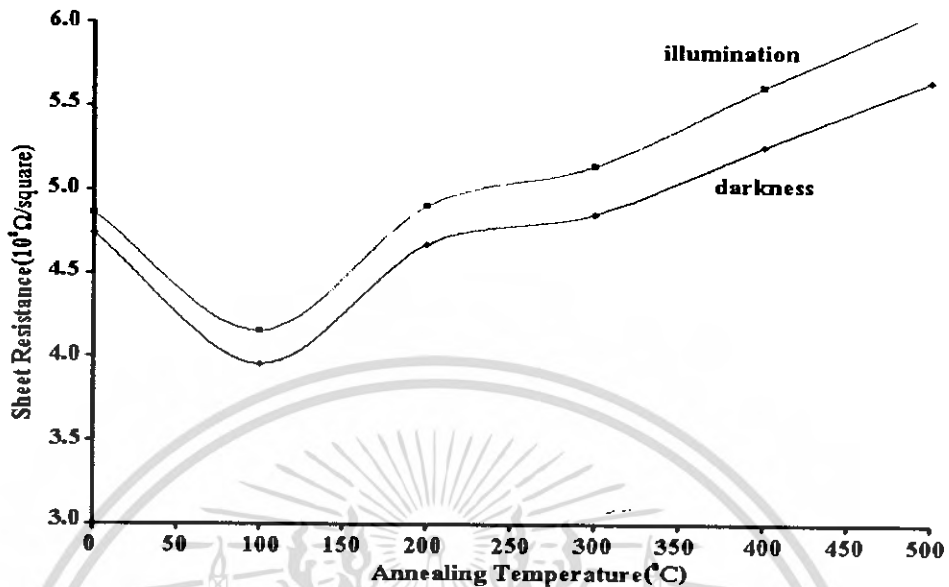
รูปที่ 4.13 แสดงการหาค่าช่องว่างแถบพลังงาน ( $E_g$ ) ของฟิล์มบาง CdS:F ที่เตรียมโดยวิธีการอบสารละลายเคมี เมื่อไม่มีการแอนนีกและเมื่อมีการแอนนีก ที่อุณหภูมิ 100- 500 °C ภายใต้บรรยากาศของก๊าซไนโตรเจนบริสุทธิ์ เป็นเวลา 20 นาที

#### 4.6 ผลการศึกษาค่าความต้านทานไฟฟ้าของฟิล์มบาง

จากการทดลองเพื่อหาความสัมพันธ์ระหว่างกระแสและความต่างศักย์ของฟิล์มบาง CdS:F ที่ทำการแอนนัลในบรรยากาศของก๊าซไนโตรเจนบริสุทธิ์เป็นเวลา 20 นาที ที่อุณหภูมิ 100-500°C ขณะที่ไม่มีแสงและแสงซึ่งจะพบว่าผลที่ได้เป็นไปตามตารางที่ 4.2 และรูปที่ 4.14 ถึงรูปที่ 4.15 กล่าวคือ เมื่อทำการแอนนัลที่อุณหภูมิ 100-500 °C จะพบว่าเมื่ออุณหภูมิสูงขึ้นจะส่งผลทำให้ขนาดเกรนของฟิล์มบางมีขนาดใหญ่ขึ้นซึ่งทำให้ขอบเขตของเกรนมีค่าลดลง กระแสจึงไหลได้มากขึ้นจึงทำให้ค่าสภาพต้านทานไฟฟ้าลดลง แต่เมื่ออุณหภูมิสูงกว่า 300 °C ค่าความต้านทานแผ่นจะขึ้นกับสัดส่วนทางเคมีเป็นสำคัญ กล่าวคือเมื่ออุณหภูมิการแอนนัลสูงขึ้นสัดส่วนทางเคมีระหว่าง Cd:S จะเข้าใกล้ 1:1 จึงทำให้โครงสร้างมีความสมบูรณ์มากขึ้นดังนั้นความต้านทานแผ่นจึงเพิ่มขึ้นซึ่งพบว่าผลการทดลองที่ได้สอดคล้องกับผลงานวิจัยของผู้อื่นที่ผ่านการตีพิมพ์เผยแพร่มาแล้ว [Dona, and Herrero, 1995] ในการวิเคราะห์หาค่าความต้านทานแผ่นของฟิล์มบางได้ทำการวิเคราะห์ทั้งสองด้านของฟิล์มบางคือ ด้านที่เป็นฟิล์มบาง CdS:F เพียงอย่างเดียวและด้านที่เป็นฟิล์มบาง CdS:F บนชั้นของ SnO<sub>2</sub> ซึ่งจะพบว่าฟิล์มบางที่เคลือบด้วยชั้น SnO<sub>2</sub> มีค่าความตอบสนองต่อแสงที่ต่ำกว่าเมื่อเทียบกับฟิล์มบาง CdS:F เพียงด้านเดียว



รูปที่ 4.14 แสดงความสัมพันธ์ระหว่างความต้านทานแผ่นกับอุณหภูมิแอนนัลฟิล์มบาง CdS:F บนกระจกสไลด์ที่เตรียมโดยวิธีการอบสารละลายเคมีเมื่อไม่มีแสงและการแอนนัลที่อุณหภูมิ 100-500°C ภายใต้บรรยากาศไนโตรเจนบริสุทธิ์เป็นเวลา 20 นาที



รูปที่ 4.15 แสดงความสัมพันธ์ระหว่างความต้านทานแผ่นกับอุณหภูมิแอนนัลของฟิล์มบาง CdS:F บนชั้นของ SnO<sub>2</sub> ที่เตรียมโดยวิธีการอบสารละลายทางเคมี เมื่อไม่มีการแอนนัลและมีการแอนนัลที่อุณหภูมิ 100-500°C ภายใต้บรรยากาศไนโตรเจนบริสุทธิ์เป็นเวลา 20 นาที

แต่เนื่องจากการวัดความต้านทานแผ่น ( $R_s$ ) ของฟิล์มบาง CdS:F ที่อยู่บนชั้นตัวนำโปร่งแสง SnO<sub>2</sub>:F จะมีผลของความต้านทานแผ่นของชั้นตัวนำโปร่งแสง SnO<sub>2</sub>:F เข้ามาเกี่ยวข้องด้วยเนื่องจาก  $R_s$  ของชั้นฟิล์มบาง CdS:F เสมือนต่อขนานกับ  $R_s$  ของชั้นตัวนำโปร่งแสง SnO<sub>2</sub>:F และ  $R_s$  ของตัวนำโปร่งแสง SnO<sub>2</sub> จะมีค่าต่ำกว่า  $R_s$  ของฟิล์มบาง CdS มาก ดังนั้นความต้านทานแผ่นของฟิล์มบาง CdS:F บนชั้นตัวนำโปร่งแสง SnO<sub>2</sub>:F จะมีค่าดังนี้ คือ

$$\frac{1}{R_{s(CdS / SnO_2)}} = \frac{1}{R_{s(CdS)}} + \frac{1}{R_{s(SnO_2)}}$$

$$\frac{1}{R_{s(SnO_2)}} = \frac{1}{R_{s(CdS / SnO_2)}} - \frac{1}{R_{s(CdS)}}$$

- เมื่อ  $R_{s(CdS / SnO_2)}$  คือ ความต้านทานแผ่นของฟิล์มบาง CdS:F บนชั้นตัวนำโปร่งแสง SnO<sub>2</sub>:F  
 $R_{s(CdS)}$  คือ ความต้านทานแผ่นของฟิล์มบาง CdS:F บนกระจกสไลด์  
 $R_{s(SnO_2)}$  คือ ความต้านทานแผ่นของตัวนำโปร่งแสง SnO<sub>2</sub>:F

เอกสารนี้เป็นเอกสารที่สงวนไว้สำหรับการใช้งานเพื่อการศึกษาเท่านั้น ไม่อนุญาตให้นำไปใช้ประโยชน์ด้านการค้า ไม่ว่าจะกรณีใดๆ ทั้งสิ้น อีกทั้งห้ามมิให้ดัดแปลงเนื้อหา และต้องอ้างอิงถึงเจ้าของเอกสารทุกครั้งที่มีการนำไปใช้

ซึ่ง  $R_{s(SnO_2)}$  ที่คำนวณได้จะมีค่าคงที่ไม่ขึ้นกับอุณหภูมิแอนนีสและ ไม่ขึ้นกับการฉายแสงจากหลอดไฟ ELH

ตารางที่ 4.2 แสดงค่าความต้านทานแผ่นในกรณีที่ไม่มีแสงและมีการฉายแสงของฟิล์มบาง CdS:F บนกระจกสไลด์ที่เตรียมโดยวิธีการอบสารละลายเคมี เมื่อไม่มีแสงแอนนีสและมีการแอนนีสที่อุณหภูมิ 100-500°C ภายใต้บรรยากาศของก๊าซไนโตรเจนบริสุทธิ์ เป็นเวลา 20 นาที

Annealing Temperature (°C)	$R_s$ (CdS)( $\Omega/sq$ )		$R_s$ (CdS/SnO <sub>2</sub> )( $\Omega/sq$ )		$R_s$ (SnO <sub>2</sub> )( $\Omega/sq$ )	
	Darkness( $10^4$ )	Illumination( $10^4$ )	Darkness( $10^4$ )	Illumination( $10^4$ )	Darkness( $10^4$ )	Illumination( $10^4$ )
as-deposited	3.12	3.14	4.74	5.43	9.12	7.7
100	3.1	3.1	3.95	4.46	14.405	10.6
200	3.11	3.13	4.67	4.9	9.3	9.13
300	3.12	3.14	4.85	5.52	8.746	7.5
400	3.13	3.14	5.26	5.62	7.729	7.34
500	3.14	3.15	5.65	6.06	7.068	6.58

เมื่อเราทราบค่าสภาพต้านทานไฟฟ้าที่ต่ำสุดและค่าช่องว่างแถบพลังงานของฟิล์มบางแล้วนั้นเราสามารถที่จะนำไปคำนวณหาค่าดัชนีเชิงคุณภาพมากที่สุด ( $\zeta_{max}$ ) [จามนิตย์และคณะ, 2547; ฐิตินัยและคณะ, 2547] ซึ่งดัชนีเชิงคุณภาพมากที่สุดสามารถบอกประสิทธิภาพของฟิล์มที่เตรียมได้ โดยที่เมื่อ ( $\zeta_{max}$ ) มีค่ามากก็จะทำให้ฟิล์มบางที่เตรียมได้มีค่าประสิทธิภาพสูงมากขึ้นด้วย

$$\zeta_{max} = \frac{R_s}{\Delta E_g} = \frac{R_s(80^\circ C) - R_{s\min}(TTA)}{E_g(80^\circ C) - E_g(TTA)}$$

เมื่อ  $R_s(80^\circ C)$  = สภาพต้านทานไฟฟ้าของฟิล์มบางเมื่อไม่มีแสงแอนนีส

$R_{s\min}(TTA)$  = สภาพต้านทานไฟฟ้าของฟิล์มบางเมื่อมีการแอนนีส

$E_g(80^\circ C)$  = ค่าช่องว่างแถบพลังงานเมื่อไม่มีแสงแอนนีส

$E_g(TTA)$  = ค่าช่องว่างของแถบพลังงานเมื่อมีการแอนนีส ที่มีค่าสภาพต้านทานไฟฟ้าต่ำสุด

เอกสารนี้เป็นเอกสารที่สงวนไว้สำหรับการใช้งานเพื่อการศึกษาเท่านั้น ไม่อนุญาตให้นำไปใช้ประโยชน์ด้านการค้าไม่ว่ากรณีใดๆ ทั้งสิ้น อีกทั้งห้ามมิให้ดัดแปลงเนื้อหา และต้องอ้างอิงถึงเจ้าของเอกสารทุกครั้งที่มีการนำไปใช้

จากการทดลองพบว่า  $\xi_{\text{max}}$  ของฟิล์มบาง CdS:F ที่เตรียมได้บนกระจกสไลด์กับฟิล์มบาง CdS:F ที่เตรียมบน SnO<sub>2</sub> ที่เคลือบบนกระจกสไลด์จะมีค่าเท่ากับ  $6.7 \times 10^7$  และ  $2.63 \times 10^9 \Omega/\text{square.eV}$  ตามลำดับ



เอกสารนี้เป็นเอกสารที่สงวนไว้สำหรับการใช้งานเพื่อการศึกษาเท่านั้น ไม่อนุญาตให้นำไปใช้ประโยชน์ด้านการค้า  
ไม่ว่ากรณีใดๆ ทั้งสิ้น อีกทั้งห้ามมิให้ดัดแปลงเนื้อหา และต้องอ้างอิงถึงเจ้าของเอกสารทุกครั้งที่มีการนำไปใช้

## บทที่ 5

### สรุปผลการทดลองและข้อเสนอแนะ

ในบทนี้เป็นการสรุปการดำเนินงานวิจัยตั้งแต่ขั้นเตรียมฟิล์มบาง และเน้นทางด้าน การวัดสมบัติทางฟิสิกส์ของฟิล์มบางจนถึงขั้นการวิเคราะห์ผลสุดท้าย พร้อมด้วยข้อเสนอแนะเพื่อเป็นแนวทางในการนำไปประยุกต์ทำเป็นเซลล์แสงอาทิตย์ต่อไป

#### 5.1 สรุปผลการทดลอง

จากการเตรียมฟิล์มบาง CdS โดยวิธีออบสารละลายเคมี เป็นเวลา 60 นาที โดยฟิล์มบางที่เตรียมได้เมื่อไม่มีการเจือด้วยอะตอมของธาตุต่างๆและยังไม่ได้มีการแอนนัล จะมีสีเหลืองโปร่งแสง มีผิวหน้าเรียบสม่ำเสมอ ส่วนฟิล์มบาง CdS ที่เจือด้วยอะตอมของธาตุฟลูออรีนจะมีลักษณะผิวหน้าค่อนข้างเรียบสม่ำเสมอ มันวาว และมีสีเหลืองส้ม เมื่อมีการแอนนัลที่อุณหภูมิ 100-500 °C ภายใต้บรรยากาศของก๊าซไนโตรเจนบริสุทธิ์ เป็นเวลา 20 นาที สังเกตเห็นว่าฟิล์มบางที่ได้มีสีส้มเข้มเมื่ออุณหภูมิเพิ่มขึ้น

จากการศึกษาการเลี้ยวเบนด้วยรังสีเอ็กซ์พบว่าฟิล์มบาง CdS:F ที่เตรียมด้วยวิธีการออบสารละลายเคมี มีทิศทางการจัดเรียงตัวในระนาบ (111),(110),(112),(211) และ(101)ตามลำดับ โดยเราจะพบว่ามีระนาบเด่นซ้อนทับกันอยู่ 2 ระนาบ ซึ่งระนาบดังกล่าวเป็นระนาบของแคดเมียมซัลไฟด์และดีบุกออกไซด์ ซึ่งจะมีโครงสร้างเป็นคิวบิกและเมื่ออุณหภูมิแอนนัลมากกว่า 400 °C จะเปลี่ยนโครงสร้างเป็นเฮกซะโกนอล จะพบว่ามีการเกิดที่ระนาบ (111),(110) เกิดขึ้นมา และที่ 400 °C กับ 500 °C พิกที่ระนาบ (101) จะเด่นชัดขึ้นตามอุณหภูมิแอนนัล และจากสเปกตรัมการเลี้ยวเบนของรังสีเอ็กซ์จะรู้ FWHM และ  $2\theta$  ที่พิกเด่นชัด มาคำนวณหาขนาดของเกรนได้ และขนาดของเกรนก็จะเพิ่มขึ้นตามอุณหภูมิแอนนัล

จากภาพถ่ายจากกล้องจุลทรรศน์อิเล็กตรอนแบบส่องกราดของฟิล์มบาง CdS:F พบว่าขนาดของเกรนจะเพิ่มขึ้นเมื่ออุณหภูมิแอนนัลเพิ่มขึ้น และพบอนุภาคของ CdS ที่มีผิวหน้าของฟิล์มบางซึ่งบ่งบอกถึงการมีกระบวนการเกิดฟิล์มบางแบบโฮโมจีเนียสขึ้นด้วย

จากการวิเคราะห์การส่งผ่านแสง พบว่าฟิล์มบาง CdS:F มีลักษณะโครงสร้างแถบพลังงานแบบตรง ค่าช่องว่างแถบพลังงานที่เตรียมได้ด้วยวิธีออบสารละลายเคมีมีค่าอยู่ในช่วง 2.39-2.47

เอกสารนี้เป็นเอกสารที่สงวนไว้สำหรับการใช้งานเพื่อการศึกษาเท่านั้น ไม่อนุญาตให้นำไปใช้ประโยชน์ด้านการค้าไม่ว่ากรณีใดๆ ทั้งสิ้น อีกทั้งห้ามมิให้ดัดแปลงเนื้อหา และต้องอ้างอิงถึงเจ้าของเอกสารทุกครั้งที่มีการนำไปใช้

eV. และเมื่อไม่มีการแอนนihilและแอนนihilที่อุณหภูมิ 100-500°C ภายใต้บรรยากาศของไนโตรเจนบริสุทธิ์ เป็นเวลา 20 นาที พบว่าเมื่ออุณหภูมิแอนนihilสูงขึ้นบริเวณขอบการดูดกลืนแสงจะมีความชันมากขึ้นบอกถึง โครงสร้างผลึกที่มีการจัดเรียงตัวอย่างเป็นระเบียบมากขึ้นและนอกจากนี้ยังพบว่าขนาดของช่องว่างแถบพลังงาน( $E_g$ ) มีค่าเปลี่ยนไปซึ่งขึ้นกับอุณหภูมิการแอนนihil ขนาดของช่องว่างพลังงานที่เปลี่ยนไปอาจจะเกิดมาจากสาเหตุดังต่อไปนี้ [ฐิตินัยและคณะ, 2547; งามนิคย์และคณะ, 2547; วีรชัย, 2547; Schroder D.K., 1975; Prathap P., และคณะ, 2006]

1. โครงสร้างผลึกที่แตกต่างกันย่อมมีช่องว่างของแถบพลังงานที่แตกต่างกัน
2. อะตอมมีการจัดเรียงตัวแบบไม่เป็นระเบียบทำให้เกิดส่วนหางของแถบพลังงาน
3. ผลของขนาดควอนตัม (quantum size effect) หรือขนาดของเกรน

สำหรับการวัดความต้านทานแผ่นของฟิล์มบาง CdS: F ที่เตรียมได้ด้วยวิธีอบสารละลายเคมีเมื่อยังไม่มีการแอนนihilและเมื่อมีการแอนนihilที่อุณหภูมิ 100-500°C ภายใต้บรรยากาศของ ก๊าซไนโตรเจนบริสุทธิ์ เป็นเวลา 20 นาที พบว่าที่อุณหภูมิเพิ่มขึ้นค่าความต้านทานแผ่นก่อนข้างจะคงที่และลดลงที่อุณหภูมิ 400 °C จากนั้นจะมีค่าเพิ่มขึ้นซึ่งมีแนวโน้มแบบเดียวกันเมื่อไม่มีการฉายแสงและมีการฉายแสงน่าจะมีผลมาจากฟิล์มบางที่เตรียมได้ด้วยวิธีอบสารละลายเคมี มีข้อบกพร่องผลึกสูงมาก นอกจากนี้ข้อบกพร่องผลึกดังกล่าวยังเห็นผลชัดเจนเมื่อมีการฉายแสงซึ่งค่าความต้านทานแผ่นจะลดลงอย่างมากซึ่งค่าความต้านทานแผ่นอาจจะขึ้นอยู่กับปัจจัยหลายประการ เช่น

1. แวแกนซีของอะตอมซัลเฟอร์ ( $V_s$ )
2. อะตอมมีการจัดเรียงตัวแบบไม่เป็นระเบียบ (disorder)
3. สัดส่วนผสมทางเคมี
4. ผลของควอนตัมหรือขนาดของเกรนซึ่งเห็นได้ว่าเมื่ออุณหภูมิการแอนนihilเพิ่มขึ้นขนาดของเกรนจะเพิ่มขึ้น ทำให้จำนวนขอบเขตของเกรนลดลงอิเล็กตรอนหรือโฮลจึงจะไหลได้สะดวกยิ่งขึ้น
5. อะตอมของออกซิเจนที่ถูกจับไว้ที่ขอบของเกรนของฟิล์มบาง

## 5.2 ปัญหาและข้อเสนอแนะ

ในการเตรียมฟิล์มบางที่เตรียมด้วยวิธีการอบสารละลายเคมีนั้นพบปัญหาและเทคนิคบางประการที่สามารถนำไปปรับปรุงการทดลองเพื่อให้ได้ผลออกมาดีที่สุด ปัญหาและข้อเสนอแนะมีดังนี้

เอกสารนี้เป็นเอกสารที่สงวนไว้สำหรับการใช้งานเพื่อการศึกษาเท่านั้น ไม่อนุญาตให้นำไปใช้ประโยชน์ด้านการค้าไม่ว่ากรณีใดๆ ทั้งสิ้น อีกทั้งห้ามมิให้ตัดแปลงเนื้อหา และต้องอ้างอิงถึงเจ้าของเอกสารทุกครั้งที่มีการนำไปใช้

- คุณภาพของฟิล์มบางขึ้นอยู่กับวิธีการกัดผิวหน้าของกระจกสไลด์ด้วยกรดกัดแก้ว (HF) เจือจาง ดังนั้นเวลากัดผิวหน้าต้องระวังไม่ให้กระจกซ้อนทับกัน มิฉะนั้นกระจกจะถูกกัด ไม่สม่ำเสมอทั่วแผ่น
- ในขณะที่ทำการเคลือบฟิล์ม ไม่ควรเติมน้ำในบีกเกอร์สารละลายเพราะจะทำให้ฟิล์มมีความหนาไม่สม่ำเสมอ ผิวหน้าไม่เรียบ
- การถ่ายภาพฟิล์มบางที่มีค่าความต้านทานสูงด้วยเครื่อง SEM หากไม่เห็นเกรนควรทำการเคลือบฟิล์มบางก่อนทำการถ่ายภาพ
- การวัดค่าความต้านทานแผ่นควรใช้โวลต์มิเตอร์ที่มีค่าความต้านทานภายใน(impedance) สูงมากๆเนื่องจากฟิล์มบาง CdS:F มีค่าความต้านทานสูง
- การทำการวัดสมบัติทางแสงหรือสมบัติทางไฟฟ้าของฟิล์มบางควรทำให้เร็วที่สุดหลังจากเตรียมฟิล์มบางที่ได้เพื่อลดผลกระทบจากข้อบกพร่องผลิตภัณฑ์ปรากฏบนผิวหน้าของฟิล์มบาง



เอกสารนี้เป็นเอกสารที่สงวนไว้สำหรับการใช้งานเพื่อการศึกษาเท่านั้น ไม่อนุญาตให้นำไปใช้ประโยชน์ด้านการค้า  
ไม่ว่ากรณีใดๆ ทั้งสิ้น อีกทั้งห้ามมิให้ตัดแปลงเนื้อหา และต้องอ้างอิงถึงเจ้าของเอกสารทุกครั้งที่มีการนำไปใช้

## เอกสารอ้างอิง

- Lee, J.H., 2004, Raman scattering and photoluminescence analysis of B-doped CdS thin m films, **Thin Solid Films**, 451-452:170-174.
- Lee, J. H., Yi, J. S., Yang, K. J, Park, J.H. and Oh, R. D., 2003, Electrical and optical propoties of Boron doped CdS thin films prepared by chemical bath deposition, **Thin Solid Films**, 431-432:344-348.
- Lee, J. H., Song, Wc., Yi, J. S., Yang, K. J., Han, W. D. and Hwang, J., 2003, Growth and properties of the  $Cd_{1-x}Zn_xS$  thin film for solar cell application. **Thin Solid Films**, 431-432:349-357.
- งามนิตย์ แก้วแดง, ฐิตินัย แก้วแดง, ทิพรรัตน์ วงษ์เจริญ และ ชัยสิงห์ ภูริกษ์เกียรติ, 2543, การเตรียมและการศึกษาสมบัติของฟิล์มบาง  $Cd_{1-x}Zn_xS$  เพื่อประดิษฐ์เป็นเซลล์แสงอาทิตย์, รายงานวิจัยเสนอต่อคณะวิทยาศาสตร์ สถาบันเทคโนโลยีพระจอมเกล้าเจ้าคุณทหารลาดกระบัง.
- ฐิตินัย แก้วแดง, งามนิตย์ แก้วแดง, ทิพรรัตน์ วงษ์เจริญ และ ชัยสิงห์ ภูริกษ์เกียรติ, 2546, การประดิษฐ์ฟิล์มบาง  $Cd_{1-x}Zn_xS$  ที่มี Zn ในปริมาณสูงสำหรับเซลล์แสงอาทิตย์, รายงานการวิจัยเสนอต่อคณะวิทยาศาสตร์ สถาบันเทคโนโลยีพระจอมเกล้าเจ้าคุณทหารลาดกระบัง.
- งามนิตย์ วงษ์เจริญ, ฐิตินัย แก้วแดง และ ทิพรรัตน์ วงษ์เจริญ, 2549, การประดิษฐ์ฟิล์มบางคีนุกออกไซด์ที่เจือด้วยอะตอมฟลูออรีนสำหรับเป็นขั้วไฟฟ้าโปร่งแสงของเซลล์แสงอาทิตย์, รายงานวิจัยนี้เสนอต่อคณะวิทยาศาสตร์ สถาบันเทคโนโลยีพระจอมเกล้าเจ้าคุณทหารลาดกระบัง
- Kumar, V., Singh, V., Sharma, S. K. and Sharma T. P., 1998, Structural and optical properties of sintered  $Cd_{1-x}Zn_xS$  films, **Opt. Mater.**, 11: 29-34.
- Cullity, B. D., 1956, **Element of X – rays Diffraction**, Addison-Wesley Publishing Company Inc.: pp 9-14.
- Kittel, C., 1971, **Introduction of Solid State Physics**, 4<sup>th</sup> Ed, Newyork: John Wiley & Sons Inc.: pp 4-32,46-48,56-60,364-365,540-552,611-612.
- บัญชา ธนบุญสมบัติ, 2544, การศึกษาวัสดุโดยเทคนิคดิฟแฟรกชัน, ครั้งที่ 1. กรุงเทพฯ: สมาคมส่งเสริมเทคโนโลยี (ไทย-ญี่ปุ่น): หน้า 9, 12-15, 25.

- สิงห์เดช แดงจวง, 2539, การเตรียมฟิล์มบางแคดเมียมซัลไฟด์สำหรับเซลล์แสงอาทิตย์ โดยเทคนิคการเคลือบแบบอานสารละลายเคมี, วิทยานิพนธ์ปริญญาโทบัณฑิต ภาควิชาฟิสิกส์ บัณฑิตวิทยาลัย จุฬาลงกรณ์มหาวิทยาลัย
- Abelas, F., 1972, **Optical Properties of Solids**, London, North – Holland, pp.23 – 40.
- Runya, W. R., 1975, **Semiconductor Measurement and Instrumentation**, 3<sup>rd</sup> Ed., Newyork: McGraw-Hill, Bombay.
- อารีย์ วิเชียรฉาย, 2543, เครื่องมือและการวัดทางฟิสิกส์ของสารกึ่งตัวนำ, เอกสารประกอบการเรียน, คณะวิทยาศาสตร์ สถาบันเทคโนโลยีพระจอมเกล้าเจ้าคุณทหารลาดกระบัง
- Garadkar, K.M.; Hankare, P.P. and Patil R.K., 1999, Effect of indium doping on structural, optical and electrical properties of Cd<sub>0.95</sub>Hg<sub>0.05</sub>S thin films, **Mater.Chem.Phys.**, 58.:64-70.
- Ramaiah, K.S., 1999, Electrical properties of In doped CdS thin films, **J.Mater.Sci.Mater.Elec.**, 10:291-294.
- Garcia-Cuencu, M.V.; Morenza, J.L. and Codina, J.M., 1987, Electrical condition in polycrystalline CdS films:I.theory, **J.Phys.D:Appl.Phys.**, 20:51-957.
- Garcia-Cuencu, M.V.; Morenza, J.L.; Bertran, E. and Lousa, A., 1987, Electrical condition in polycrystalline CdS films:II. comparison of theory and experiment, **J.Phys.D:Appl.Phys.**, 20 :958-962.
- Gunal, I. and Parlak, M., 1997, Current transport mechanisms in low resistive CdS thin films., **J.Mater.Sci.Mater.Elec.**, 8 :9-13.
- Schroder D.K., 1998, **Semiconductor Material and Characterization**, 2<sup>nd</sup> Ed., Newyork: John Wiley & Sons Inc.
- วิรุฬห์ มังคละวิรัชและ สุวิทย์ ปุณชัยยะ, 2543, กล้องจุลทรรศน์อิเล็กตรอน, วารสารเครื่องมือวิจัย วิทยาศาสตร์และเทคโนโลยี, ปีที่1, ฉบับที่2, พฤษภาคม, หน้า 129-165
- Dona, J. M., Herrero, J., 1995, Chemical bath co-deposited Cds-ZnS films characterization., **Thin Solid Films**, 268:5-12.
- Dona, J. M., Herrero, J., 1994, Process and characterization of chemical bath - deposited ZnS thin films, **J. Electrochem. Soc.**, 141 (1): 205-210.

เอกสารนี้เป็นเอกสารที่สงวนไว้สำหรับการใช้งานเพื่อการศึกษาเท่านั้น ไม่นิยมนำไปใช้ประโยชน์ด้านการค้า  
ไม่ว่ากรณีใดๆ ทั้งสิ้น อีกทั้งห้ามมิให้ตัดแปลงเนื้อหา และต้องอ้างอิงถึงเจ้าของเอกสารทุกครั้งที่มีการนำไปใช้

- เลอพงส์ รักธรรม และอภิรัตน์ มีมุขอ, 2547, การศึกษาสมบัติของฟิล์มบาง  $Cd_{1-x}Zn_xS$  ที่เตรียมโดยการระเหยสารด้วยความร้อนในระบบสุญญากาศ, โครงการพิเศษคัมภีร์หลักสูตรวิทยาศาสตร์บัณฑิต ภาควิชาฟิสิกส์ประยุกต์ สถาบันเทคโนโลยีพระจอมเกล้าเจ้าคุณทหารลาดกระบัง
- Dhage, S. R., Choube, V. and Ravi, V., 2004 , Nonlinear I-V characteristics of doped SnO, *Mater.Sci & Eng.B*, 110:168-171.
- ฐิตินัย แก้วแดง,งามนิตย์ วงษ์เจริญและทิพรัตน์ วงษ์เจริญ, 2547, การเตรียมฟิล์มบาง CdS ที่เจือด้วยIn โดยวิธีระเหยในระบบสุญญากาศ รายงานวิจัยเสนอต่อคณะวิทยาศาสตร์ สถาบันเทคโนโลยีพระจอมเกล้าเจ้าคุณทหารลาดกระบัง
- งามนิตย์ วงษ์เจริญ ,ฐิตินัย แก้วแดง,ทิพรัตน์ วงษ์เจริญและชัยสิงห์ ภูริรักษ์เกียรติ, 2547, การประดิษฐ์ฟิล์มบาง CdS โดยวิธีทางเคมีแสง สำหรับเซลล์แสงอาทิตย์, รายงานวิจัยเสนอต่อคณะวิทยาศาสตร์ สถาบันเทคโนโลยีพระจอมเกล้าเจ้าคุณทหารลาดกระบัง
- วีรัชย์ ทิภา, 2547, การศึกษาสมบัติฟิล์มบาง CdS-ZnS ซึ่งเตรียมโดยวิธีอบสารละลายทางเคมี วิทยานิพนธ์ปริญญาโทบัณฑิต ภาควิชาฟิสิกส์ประยุกต์ บัณฑิตวิทยาลัย สถาบันเทคโนโลยีพระจอมเกล้าเจ้าคุณทหารลาดกระบัง
- Schroder D.K., 1975, *Semiconductor Material and Device Characterization.*, New York:Mc Graw-Hill.
- Prathap P., Subbaiah Y.P.V., Devika M.and Ramakrishna Reddy K.T., 2006, “Optical Properties of  $In_2O_3$  Films Prepared by Spray Pyrolysis”, *Material Chemistry and Physics*, vol 100, pp.375-379.
- คูสิด เครื่องงาม, 2542, เซลล์แสงอาทิตย์. สิ่งประดิษฐ์ออปโตอิเล็กทรอนิกส์, สำนักพิมพ์แห่งจุฬาลงกรณ์มหาวิทยาลัย, หน้า 589-590



เอกสารนี้เป็นเอกสารที่สงวนไว้สำหรับการใช้งานเพื่อการศึกษาเท่านั้น ไม่อนุญาตให้นำไปใช้ประโยชน์ด้านการค้า  
ไม่ว่ากรณีใดๆ ทั้งสิ้น อีกทั้งห้ามมิให้ดัดแปลงเนื้อหา และต้องอ้างอิงถึงเจ้าของเอกสารทุกครั้งที่มีการนำไปใช้

## ภาคผนวก ก

## ไฟล์มาตรฐานของการเลี้ยวเบนรังสีเอ็กซ์

ข้อมูลการเลี้ยวเบนรังสีเอ็กซ์ของ CdS:F ที่ได้จากไฟล์ฐานข้อมูลมาตรฐาน JCPDS

(The Joint Committee on Powder Diffraction Standards)

Pattern : 80-18 Radiation = 1.540598 Quality : Calculated

Cd S	2 $\theta$	I	h	k	l
	26.547	100	1	1	1
	30.748	22	2	0	0
Cadmium Sulfide	44.040	47	2	2	0
	52.163	33	3	1	1
	54.671	5	2	2	2
	64.043	6	4	0	0
	70.694	10	3	3	1
	72.715	4	4	2	0
	80.993	10	4	2	2
	87.069	6	5	1	1

Lattice : Face-centered cubic Mol. weight = 144.47  
 S.G. : F-43m (216) Volume [CD] = 196.22  
 a = 5.81100 D<sub>r</sub> = 4.890  
 Z = 4 M<sub>cell</sub> = 14.08

ICSD COLLECTION CODE : 057789  
 REMARKS FROM ICSD : REM THE  
 TEST FROM ICSD : No R value given.  
 TEST FROM ICSD : At least one TF missing.

\*Calculated from ICSD using POWD-12++, (1997) primary reference  
 \*Phys. Rev. B: Condens. Matter, volume 46, page 10086, (1992) :  
 Yeh, C., Lu, Z.W., Froyen, S., Zunger, A.

Radiation : CuK $\alpha$ 1 Filter : Not specified  
 Lambda : 1.54060 d-sp : Calculated spacings

เอกสารนี้เป็นเอกสารที่สงวนไว้สำหรับการใช้งานเพื่อการศึกษาเท่านั้น ไม่นิยมนำไปใช้ประโยชน์ด้านการค้า  
 ไม่ว่ากรณีใดๆ ทั้งสิ้น อีกทั้งห้ามมิให้ดัดแปลงเนื้อหา และต้องอ้างอิงถึงเจ้าของเอกสารทุกครั้งที่มีการนำไปใช้

Pattern : 80-19 Radiation = 1.540598 Quality : Calculated

Cd S		<i>d</i> (Å)	<i>I</i>	<i>h</i>	<i>k</i>	<i>l</i>
Cadmium Sulfide		3.35498	100	1	1	1
		2.90550	22	2	0	0
		2.05450	47	2	2	0
		1.75208	33	3	1	1
		1.67749	5	2	2	2
		1.45275	6	4	0	0
		1.33313	10	3	3	1
		1.29938	4	4	2	0
		1.18617	10	4	2	2
		1.11833	6	5	1	1

Lattice : Face-centered cubic Mol. weight = 144.47  
 S.G. : F-43m (216) Volume [CD] = 196.22  
 a = 5.81100 Dx = 4.890

Z = 4 Mcor = 14.06

ICSD COLLECTION CODE : 067789  
 REMARKS FROM ICSD : REM THE.  
 TEST FROM ICSD : No R value given.  
 TEST FROM ICSD : At least one TF missing.

\*Calculated from ICSD using POWD-12+\*, (1997) primary reference :

\*Phys. Rev. B: Condens. Matter, volume 46, page 10086, (1992) :  
 Yeh, C., Lu, Z.W., Froyen, S., Zunger, A.

Radiation : CuKα1 Filter : Not specified  
 Lambda : 1.54060 d-sp : Calculated spacings

เอกสารนี้เป็นเอกสารที่สงวนไว้สำหรับการใช้งานเพื่อการศึกษาเท่านั้น ไม่อนุญาตให้นำไปใช้ประโยชน์ด้านการค้า  
ไม่ว่ากรณีใดๆ ทั้งสิ้น อีกทั้งห้ามมิให้ดัดแปลงเนื้อหา และต้องอ้างอิงถึงเจ้าของเอกสารทุกครั้งที่มีการนำไปใช้

Pattern : 77-2306 Radiation = 1.540598 Quality : Calculated

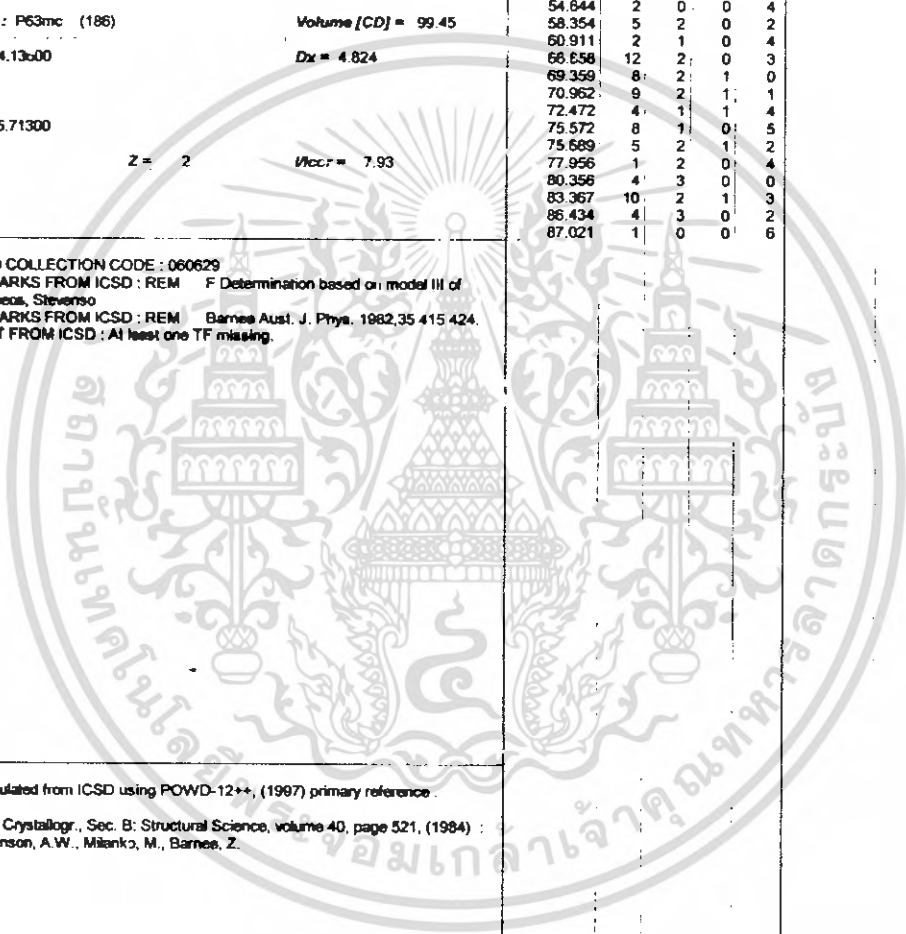
2 $\theta$	I	h	k	l
24.837	63	1	0	0
26.535	45	0	0	2
28.216	100	1	0	1
36.662	25	1	0	2
43.738	43	1	1	0
47.894	41	1	0	3
50.949	6	2	0	0
51.890	31	1	1	2
52.866	13	2	0	1
54.844	2	0	0	4
58.354	5	2	0	2
60.911	2	1	0	4
66.656	12	2	0	3
69.359	8	2	1	0
70.962	9	2	1	1
72.472	4	1	1	4
75.572	8	1	0	5
75.689	5	2	1	2
77.956	1	2	0	4
80.356	4	3	0	0
83.367	10	2	1	3
86.434	4	3	0	2
87.021	1	0	0	6

Cd S  
 Cadmium Sulfide  
 Lattice : Hexagonal Mol. weight = 144.47  
 S.G. : P63mc (186) Volume [CD] = 99.45  
 a = 4.1300 Dx = 4.824  
 c = 6.71300  
 Z = 2 V<sub>cell</sub> = 7.93

ICSD COLLECTION CODE : 060629  
 REMARKS FROM ICSD : REM F Determination based on model III of  
 Fahnke, Stevens  
 REMARKS FROM ICSD : REM Barnea Aust. J. Phys. 1982,35 415 424.  
 TEST FROM ICSD : At least one TF missing.

\*Calculated from ICSD using POWD-12++, (1987) primary reference.  
 \*Acta Crystallogr., Sec. B: Structural Science, volume 40, page 521, (1984) :  
 Stevenson, A.W., Milanko, M., Barnea, Z.

Radiation : CuK $\alpha$ 1 Filter : Not specified  
 Lambda : 1.54060 d-sp : Calculated spacings



เอกสารนี้เป็นเอกสารที่สงวนไว้สำหรับการใช้งานเพื่อการศึกษาเท่านั้น ไม่นอนุญาตให้นำไปใช้ประโยชน์ด้านการค้า  
 ไม่ว่ากรณีใดๆ ทั้งสิ้น อีกทั้งห้ามมิให้ตัดแปลงเนื้อหา และต้องอ้างอิงถึงเจ้าของเอกสารทุกครั้งที่มีการนำไปใช้

Pattern : 77-2306

Radiation = 1.540598

Quality : Calculated

Cd S		$d$ (Å)	$I$	$h$	$k$	$l$
Cadmium Sulfide		3.58188	63	1	0	0
		3.35650	45	0	0	2
		3.16017	100	1	0	1
		2.44921	25	1	0	2
		2.06800	43	1	1	0
		1.89778	41	1	0	3
		1.79094	6	2	0	0
		1.76065	31	1	1	2
		1.73042	13	2	0	1
		1.67825	2	0	0	4
		1.58008	5	2	0	2
		1.51971	2	1	0	4
		1.39824	12	2	0	3
		1.35382	8	2	1	0
		1.32711	9	2	1	1
		1.30313	4	1	1	4
		1.25719	8	1	0	5
		1.25554	5	2	1	2
		1.22460	1	2	0	4
		1.19396	4	3	0	0
		1.15832	10	2	1	3
		1.12491	4	3	0	2
		1.11883	1	0	0	6
Lattice : Hexagonal <span style="float: right;">Mol. weight = 144.47</span> S.G. : P63mc (186) <span style="float: right;">Volume [CD] = 99.45</span> a = 4.13600 <span style="float: right;">D<sub>r</sub> = 4.824</span> c = 6.71300 Z = 2 <span style="float: right;">M<sub>cor</sub> = 7.93</span>						
ICSD COLLECTION CODE : 060629 REMARKS FROM ICSD : REM F Determination based on model K1 of Fakineo, Steveno REMARKS FROM ICSD : REM Barnes Aust. J. Phys. 1962,35 415 424. TEST FROM ICSD : At least one TF missing.						
*Calculated from ICSD using POWD-12++, (1997) primary reference *Acta Crystallogr., Sec. B: Structural Science, volume 40, page 521, (1984) : Stevenson, A.W., Milanko, M., Barnes, Z.						
Radiation : CuKα1 <span style="float: right;">Filter : Not specified</span> Lambda : 1.54060 <span style="float: right;">d-sp : Calculated spacings</span>						

เอกสารนี้เป็นเอกสารที่สงวนไว้สำหรับการใช้งานเพื่อการศึกษาเท่านั้น ไม่อนุญาตให้นำไปใช้ประโยชน์ด้านการค้า  
 ไม่ว่ากรณีใดๆ ทั้งสิ้น อีกทั้งห้ามมิให้ตัดแปลงเนื้อหา และต้องอ้างอิงถึงเจ้าของเอกสารทุกครั้งที่มีการนำไปใช้

ข้อมูลการเลี้ยวเบนรังสีเอ็กซ์ของ SnO<sub>2</sub> ที่ได้จากไฟล์ฐานข้อมูลมาตรฐาน JCPDS  
(The Joint Committee on Powder Diffraction Standards)

Pattern : 3-1114		Radiation = 1.540598		Quality : Deleted	
Sn O <sub>2</sub>		2 $\theta$ :	<i>h</i>	<i>k</i>	<i>l</i>
		26.587	80	1	0
		33.929	80	1	0
Tin Oxide		37.934	50	2	0
		38.958	20	1	1
		51.911	100	2	1
		54.936	60	2	2
		57.955	50	0	0
		61.799	60	3	1
		64.678	60	1	1
		66.229	60	3	0
		71.403	50	2	0
		79.078	60	3	2
		81.505	40	4	0
		84.107	60	4	1
		86.907	50	3	0
		89.934	60	3	1
		90.998	60	4	1
		93.220	50	4	2
		95.577	50		
		108.524	80	2	1
		112.027	70	5	1
		114.868	70	3	3
		116.065	80	4	3
Lattice : Tetragonal		Mol. weight = 150.69			
S.G. : (0)		Volume [CD] = 71.42			
a = 4.73550		Dx = 3.503			
c = 3.18500					
DELETED AND REJECTED BY : Deleted by NBS card.					
GENERAL COMMENTS : D-values corrected by absorption.					
*Private Communication, primary reference : United Steel Companies, Sheffield, England, UK.					
Radiation : CoK $\alpha$		Filter : Not specified			
Lambda : 1.79020		d-sp : Not given			
SS/FOM : FZ2* 4(0.1440,44)					

เอกสารนี้เป็นเอกสารที่สงวนไว้สำหรับการใช้งานเพื่อการศึกษาเท่านั้น ไม่นุญาตให้นำไปใช้ประโยชน์ด้านการค้า  
ไม่ว่ากรณีใดๆ ทั้งสิ้น อีกทั้งห้ามมิให้ตัดแปลงเนื้อหา และต้องอ้างอิงถึงเจ้าของเอกสารทุกครั้งที่มีการนำไปใช้

Pattern : 3-1114

Radiation = 1.540598

Quality : Deleted

SnO<sub>2</sub>

Tin Oxide

Lattice : Tetragonal

S.G. : (0)

a = 4.73550

c = 3.18500

Mol. weight = 150.89

Volume [CD] = 71.42

Dx = 3.503

d (Å)	h	k	l
3.35000	80	1	1
2.64000	80	1	0
2.37000	50	2	0
2.31000	20	1	1
1.76000	100	2	1
1.67000	60	2	2
1.59000	50	0	0
1.50000	60	3	1
1.44000	50	1	1
1.41000	60	3	0
1.32000	50	2	0
1.21000	60	3	2
1.18000	40	4	0
1.15000	60	4	1
1.12000	50	3	0
1.09000	60	3	1
1.08000	60	4	1
1.06000	50	4	2
1.04000	50		
0.94900	80	2	1
0.92900	70	5	1
0.91400	70	3	3
0.90800	80	4	3

DELETED AND REJECTED BY : Deleted by NBS card.  
GENERAL COMMENTS : D-values corrected by absorption.

\*Private Communication, primary reference :  
United Steel Companies, Sheffield, England, UK.

Radiation : CoK $\alpha$ 

Filter : Not specified

Lambda : 1.79020

d-sp : Not given

SS/FOM : F22= 4(0.1440,44)

เอกสารนี้เป็นเอกสารที่สงวนไว้สำหรับการใช้งานเพื่อการศึกษาเท่านั้น ไม่นอนุญาตให้นำไปใช้ประโยชน์ด้านการค้า  
ไม่ว่ากรณีใดๆ ทั้งสิ้น อีกทั้งห้ามมิให้ตัดแปลงเนื้อหา และต้องอ้างอิงถึงเจ้าของเอกสารทุกครั้งที่มีการนำไปใช้

## ภาคผนวก ข

## การคำนวณการปริมาณสารตั้งต้น

การเตรียมสารตั้งต้นเพื่อเตรียมฟิล์มบาง CdS:F โดยวิธีการอบสารละลายเคมี  
การคำนวณปริมาณของ  $\text{CdSO}_4 \cdot \frac{8}{3} \text{H}_2\text{O}$  ,  $\text{ZnSO}_4 \cdot 7\text{H}_2\text{O}$  ในสารละลายปริมาตร 150 ml

มวลโมเลกุลของธาตุ

$$\text{Cd} = 112.40 \text{ g/mol}$$

$$\text{F} = 18.998 \text{ g/mol}$$

$$\text{S} = 32.064 \text{ g/mol}$$

$$\text{H} = 1.007 \text{ g/mol}$$

$$\text{O} = 15.9994 \text{ g/mol}$$

$$\text{N} = 14.0067 \text{ g/mol}$$

$\text{CdSO}_4 \cdot \frac{8}{3} \text{H}_2\text{O}$  1 โมล มีน้ำหนักโมเลกุล

$$= (112.40) + (32.064) + 4(15.9994) + \frac{8}{3} [2(1.007) + 15.9994] \quad \text{g}$$

$$= 256.4973 \quad \text{g}$$

$\text{NH}_4\text{F}$  1 โมล มีน้ำหนักโมเลกุล

$$= (14.0067) + 4(1.007) + 18.998 \quad \text{g}$$

$$= 37.0327 \quad \text{g}$$

ต้องการ  $[\text{CdSO}_4 \cdot \frac{8}{3} \text{H}_2\text{O} + \text{NH}_4\text{F}]$  จำนวน 0.01 M

แต่สัดส่วน  $\text{CdSO}_4 \cdot \frac{8}{3} \text{H}_2\text{O} : \text{NH}_4\text{F}$  เป็น 0.6 : 0.4

ดังนั้น  $\text{CdSO}_4 \cdot \frac{8}{3} \text{H}_2\text{O}$  จะมีความเข้มข้น =  $(0.6)(0.01) = 0.006 \text{ M}$

$\text{ZnSO}_4 \cdot 7\text{H}_2\text{O}$  จะมีความเข้มข้น =  $(0.4)(0.01) = 0.004 \text{ M}$

สารละลาย 1000 ml มี  $\text{CdSO}_4 \cdot \frac{8}{3} \text{H}_2\text{O}$  (ความเข้มข้น 0.006M) จำนวน = 2.5651 g

สารละลาย 150 ml มี  $\text{CdSO}_4 \cdot \frac{8}{3} \text{H}_2\text{O}$  (ความเข้มข้น 0.006M) จำนวน =  $\frac{2.5651}{1000} (150)$  g

$$= 0.3847 \quad \text{g}$$

เอกสารนี้เป็นเอกสารที่สงวนไว้สำหรับการใช้งานเพื่อการศึกษาเท่านั้น ไม่อนุญาตให้นำไปใช้ประโยชน์ด้านการค้า  
ไม่ว่ากรณีใดๆ ทั้งสิ้น อีกทั้งห้ามมิให้ดัดแปลงเนื้อหา และต้องอ้างอิงถึงเจ้าของเอกสารทุกครั้งที่มีการนำไปใช้

การคำนวณหาปริมาณของ  $\text{NH}_4\text{F}$  ในสารละลายปริมาตร 150 ml

สารละลาย  $\text{CdSO}_4 \cdot \frac{8}{3} \text{H}_2\text{O}$  ความเข้มข้น 0.01 M จะมีมวลของ Cd ดังนี้

สารละลาย  $\text{CdSO}_4 \cdot \frac{8}{3} \text{H}_2\text{O}$  มวล 256.4973 g มีมวล Cd 112.40 g

สารละลาย  $\text{CdSO}_4 \cdot \frac{8}{3} \text{H}_2\text{O}$  มวล 0.3848 g มีมวล Cd  $\frac{112.40}{256.4973} \times 0.3848 = 0.1686$  g

ถ้าเจือฟลูออรีน 1 wt%

$$\text{เตรียม } \frac{F}{Cd} = 1 \text{ wt\%}$$

$$\text{ดังนั้น } F = \frac{1}{100} \times 0.1686 = 0.0017 \text{ g}$$

ฟลูออรีนมีมวล 18.9984 g ในสารประกอบ  $\text{NH}_4\text{F}$  มวล 37.0327 g

ฟลูออรีนมีมวล 0.0017 g ในสารประกอบ  $\text{NH}_4\text{F}$  มวล  $\frac{37.0327}{18.9984} \times 0.0017 = 0.0033$  g

ถ้าเจือฟลูออรีน 5 wt%

$$\text{เตรียม } \frac{F}{Cd} = 5 \text{ wt\%}$$

$$\text{ดังนั้น } F = \frac{5}{100} \times 0.1686 = 0.0084 \text{ g}$$

ฟลูออรีนมีมวล 18.9984 g ในสารประกอบ  $\text{NH}_4\text{F}$  มวล 37.0327 g

ฟลูออรีนมีมวล 0.0017 g ในสารประกอบ  $\text{NH}_4\text{F}$  มวล  $\frac{37.0327}{18.9984} \times 0.0017 = 0.01637$  g

ถ้าเจือฟลูออรีน 10 wt%

$$\text{เตรียม } \frac{F}{Cd} = 10 \text{ wt\%}$$

$$\text{ดังนั้น } F = \frac{10}{100} \times 0.1686 = 0.0186 \text{ g}$$

ฟลูออรีนมีมวล 18.9984 g ในสารประกอบ  $\text{NH}_4\text{F}$  มวล 37.0327 g

ฟลูออรีนมีมวล 0.0017 g ในสารประกอบ  $\text{NH}_4\text{F}$  มวล  $\frac{37.0327}{18.9984} \times 0.0186 = 0.0362$  g

ถ้าเจือฟลูออรีน 15 wt%

$$\text{เตรียม } \frac{F}{Cd} = 15 \text{ wt\%}$$

$$\text{ดังนั้น } F = \frac{15}{100} \times 0.1686 = 0.02529 \text{ g}$$

ฟลูออรีนมีมวล 18.9984 g ในสารประกอบ  $\text{NH}_4\text{F}$  มวล 37.0327 g

ฟลูออรีนมีมวล 0.0017 g ในสารประกอบ  $\text{NH}_4\text{F}$  มวล  $\frac{37.0327}{18.9984} \times 0.02529 = 0.049$  g

เอกสารนี้เป็นเอกสารที่สงวนไว้สำหรับการใช้งานเพื่อการศึกษาเท่านั้น ไม่นิยมนำไปใช้ประโยชน์ด้านการค้า  
ไม่ว่ากรณีใดๆ ทั้งสิ้น อีกทั้งห้ามมิให้ดัดแปลงเนื้อหา และต้องอ้างอิงถึงเจ้าของเอกสารทุกครั้งที่มีการนำไปใช้

ถ้าเจือฟลูออรีน 20 wt%

$$\text{เตรียม } \frac{F}{Cd} = 20 \text{ wt\%}$$

$$\text{ดังนั้น } F = \frac{20}{100} \times 0.1686 = 0.3372 \text{ g}$$

ฟลูออรีนมีมวล 18.9984 g ในสารประกอบ  $NH_4F$  มวล 37.0327 g

$$\text{ฟลูออรีนมีมวล } 0.0017 \text{ g ในสารประกอบ } NH_4F \text{ มวล } \frac{37.0327}{18.9984} \times 0.3372 = 0.6572 \text{ g}$$

การคำนวณปริมาณของ  $SC(NH_2)_2$  ในสารละลายปริมาตร 150 ml

มวลโมเลกุลของธาตุ

$$S = 32.064 \text{ g/mol}$$

$$C = 12.01115 \text{ g/mol}$$

$$N = 14.0067 \text{ g/mol}$$

$$H = 1.007 \text{ g/mol}$$

$$\begin{aligned} SC(NH_2)_2 \text{ 1 โมล มีน้ำหนักโมเลกุล} & \\ &= 32.064 + 12.01115 + 2(14.0067) + 4(1.007) \text{ g} \\ &= 76.1166 \text{ g} \end{aligned}$$

$$\text{สารละลาย } 1000 \text{ ml มี } SC(NH_2)_2 \text{ (ความเข้มข้น } 0.05 \text{ M) จำนวน} = 3.8058 \text{ g}$$

$$\begin{aligned} \text{สารละลาย } 150 \text{ ml มี } SC(NH_2)_2 \text{ (ความเข้มข้น } 0.05 \text{ M) จำนวน} &= \frac{3.8058}{1000} (150) \text{ g} \\ &= 0.5709 \text{ g} \end{aligned}$$

การคำนวณปริมาณ  $NH_3$  ในสารละลายปริมาตร 150 ml

$NH_3$  (25%) โดยน้ำหนักต่อน้ำหนัก (weight by weight) หมายถึงในสารละลาย 1 g จะมีเนื้อสาร  $NH_3$  อยู่ 0.25 g และ  $NH_3$  มีความเข้มข้น 0.91 g/ml นั่นคือปริมาตร 1 ml จะมีเนื้อสารละลายอยู่ 0.91 g หรือ มีเนื้อสาร  $NH_3$

$$= (0.91)(0.25) \text{ g}$$

$$= 0.2275 \text{ g}$$

$$NH_3 \text{ 1 M จะมีมวล} = 14.0067 + 3(1.007) \text{ g}$$

$$= 17.0277 \text{ g}$$

$$\text{ต้องการ } NH_3 \text{ จำนวน } 1.5 \text{ M จะมีเนื้อสาร} = (1.5)(17.0277) \text{ g}$$

$$= 25.5416 \text{ g}$$

เอกสารนี้เป็นเอกสารที่สงวนไว้สำหรับการใช้งานเพื่อการศึกษาเท่านั้น ไม่อนุญาตให้นำไปใช้ประโยชน์ด้านการค้า  
ไม่ว่ากรณีใดๆ ทั้งสิ้น อีกทั้งห้ามมิให้ดัดแปลงเนื้อหา และต้องอ้างอิงถึงเจ้าของเอกสารทุกครั้งที่มีการนำไปใช้

$$\begin{aligned}
 \text{เนื้อสารละลาย NH}_3 \text{ 0.2275 g จะต้องตวงสาร} &= 1 \text{ ml} \\
 \text{เนื้อสารละลาย NH}_3 \text{ 25.5416 g จะต้องตวงสาร} &= \frac{1}{0.2275} (25.5416) \text{ ml} \\
 &= 112.2708 \text{ ml}
 \end{aligned}$$

นั่นคือตวง  $\text{NH}_3$  จำนวน 112.2708 ml หลังเติมน้ำลงไปจนมีปริมาตร 1000 ml จึงจะเรียกว่า เป็น ความเข้มข้น 1.5 M

$$\begin{aligned}
 \text{แต่ถ้าต้องการความเข้มข้น 1.5M ในปริมาตร 150 ml จะต้องตวง NH}_3 &= \frac{112.2708}{1000} (150) \text{ ml} \\
 &= 16.8 \text{ ml}
 \end{aligned}$$



เอกสารนี้เป็นเอกสารที่สงวนไว้สำหรับการใช้งานเพื่อการศึกษาเท่านั้น ไม่อนุญาตให้นำไปใช้ประโยชน์ด้านการค้า  
ไม่ว่ากรณีใดๆ ทั้งสิ้น อีกทั้งห้ามมิให้ตัดแปลงเนื้อหา และต้องอ้างอิงถึงเจ้าของเอกสารทุกครั้งที่มีการนำไปใช้

## ประวัติผู้เขียน

นาย กิตติศักดิ์ ทวีกิจโกไทย เกิดเมื่อวันที่ 19 สิงหาคม พ.ศ.2526 เป็นคนสมุทรปราการ โดยกำเนิด สำเร็จการศึกษาระดับเตรียมอุดมศึกษา ณ โรงเรียนศรีวิกรม์ และได้เข้ารับการศึกษาระดับอุดมศึกษา ในสาขาวิชาฟิสิกส์ประยุกต์ ภาควิชาฟิสิกส์ประยุกต์ คณะวิทยาศาสตร์ สถาบันเทคโนโลยีพระจอมเกล้าเจ้าคุณทหารลาดกระบัง ปีการศึกษา 2546

นาย ชวลิต น้อยสมมิตร เกิดเมื่อวันที่ 26 กันยายน พ.ศ.2527 เป็นคนระยองโดยกำเนิด สำเร็จการศึกษาระดับเตรียมอุดมศึกษา ณ โรงเรียนอัสสัมชัญระยอง และได้เข้ารับการศึกษาระดับอุดมศึกษา ในสาขาวิชาฟิสิกส์ประยุกต์ ภาควิชาฟิสิกส์ประยุกต์ คณะวิทยาศาสตร์ สถาบันเทคโนโลยีพระจอมเกล้าเจ้าคุณทหารลาดกระบัง ปีการศึกษา 2546

นาย สัทธิตศักดิ์ ชัยโสคติ เกิดเมื่อวันที่ 11 ตุลาคม พ.ศ.2527 เป็นคนกรุงเทพฯ โดยกำเนิด สำเร็จการศึกษาระดับเตรียมอุดมศึกษา ณ โรงเรียนกาญจนาภิเษกวิทยาลัยนครปฐม และได้เข้ารับการศึกษาระดับอุดมศึกษาในสาขาวิชาฟิสิกส์ประยุกต์ ภาควิชาฟิสิกส์ประยุกต์ คณะวิทยาศาสตร์ สถาบันเทคโนโลยีพระจอมเกล้าเจ้าคุณทหารลาดกระบัง ปีการศึกษา 2546

เอกสารนี้เป็นเอกสารที่สงวนไว้สำหรับการใช้งานเพื่อการศึกษาเท่านั้น ไม่อนุญาตให้นำไปใช้ประโยชน์ด้านการค้า  
ไม่ว่ากรณีใดๆ ทั้งสิ้น อีกทั้งห้ามมิให้ดัดแปลงเนื้อหา และต้องอ้างอิงถึงเจ้าของเอกสารทุกครั้งที่มีการนำไปใช้